

E.T.S. de Ingeniería Industrial,  
Informática y de Telecomunicación

# Solución óptima de modelos dinámicos detallados de robots industriales basados en la norma L1



Máster Universitario en  
Ingeniería de Materiales y Fabricación

Trabajo Fin de Máster

Autor: José David Fuentes Lárez

Directores: Javier Ros y Javier Faulin.

Pamplona, 11 de Septiembre de 2018



## **Resumen:**

El uso de la dinámica de sistemas multicuerpo, permite la simulación de sistemas mecánicos, en ella se logran describir las fuerzas y desplazamientos aplicados, el modelo, queda expresado en términos de los parámetros del sistema (tales como masas, inercias, geometrías, etc...).

El resolver estos sistemas de manera exacta, puede conllevar una carga computacional alta, haciendo que trabajar en tiempo real, para aplicaciones de control, o de filtrado sea complicado. La posibilidad de resolver estos sistemas de manera acelerada, resulta un tema de interés dentro del mundo de la dinámica de sistemas multicuerpo, en general se requiere simplificar o reducir el modelo. Sin embargo, estas técnicas disminuyen la precisión de los modelos.

Una manera de reducir estos modelos, es ir quitando aquellos parámetros cuya contribución al modelo sea pequeña (que el error cometido al quitar el parámetro sea el más pequeño), sin embargo los parámetros no son independientes entre sí y por tanto el problema se vuelve un problema combinatorio.

En este trabajo, se proponen dos metodologías de reducción denominadas Norma L1 y Norma L1 iterativo, siendo comparadas con otras actualmente desarrolladas. El algoritmo no-lineal usado para la solución de problemas convexos bajo la norma L1 es el desarrollado en [1].

Este trabajo es una contribución a la investigación hecha en [2] sobre “simplification of multibody models by parameter reduction”

**Palabras claves:** Norma L1, Dinámica de Sistema Multicuerpos, Reducción de modelos, selección de modelos, parámetros base, estimación de parámetros, optimización convexa.

## **Abstract:**

The use of the Multibody Dynamics Systems (MDS), it is possible the simulation of dynamics systems, in it, you can describe the forces and displacements applied, the model is express by the system parameters (such as mass, inertia, geometry, etc...)

Solving the dynamics systems precisely, has a high computational burden, making that work in real time for filters or control applications complex. Being able to speed up, the way to solve these systems becomes interesting to the MDS, but, by doing so the model decrease their precision.

One way of reducing these dynamic systems, is taking out those parameters which are meaningless to the model, nevertheless these parameters are not independent so it becomes a combinatorial problem.

In this work, it is propose two methodologies to reduce these models called: L1 norm, iterative L1 norm, being compared with other methodologies actually develop. The non-linear algorithm to solve convex problem by L1 norm is the one used in [1]. This job is a contribution to [2] about "simplification of multibody models by parameter reduction"

**Keywords:** L1 norm, Multibody Dynamics, Model Reduction, Model Selection, Base parameters, Parameters estimation, convex optimization.

## Índice General

Índice de tablas: .....	3
Índice de Figuras .....	3
1. Introducción .....	4
2. Justificación y objetivos:.....	6
2.1 Objetivos:.....	6
2.1.1 Objetivo principal:.....	6
2.1.2 Objetivos específicos: .....	6
3. Estado del arte .....	7
3.1 Sistemas multicuerpos:.....	7
3.2 Modelado de sistemas mecánicos: .....	7
3.3 Métodos de selección de modelos reducidos: .....	8
3.4 La selección QR .....	13
3.5 La eliminación regresiva o backward elimination (BE).....	14
3.6 La selección progresiva o forward selection (FS) .....	15
3.7 Selección progresiva con 2 iteraciones o Forward Selection with two iterations: .....	15
3.8 Reduccion por parametros esenciales o Reduction by SVD Analysis (Singular Values Decomposition).....	17
3.9 Reducción mediante LASSO. ....	19
3.10 La norma de un vector .....	21
3.10.1 Norma L1 .....	22
3.11 Método del punto interior (Interior point methods): .....	24
3.11.1 Algoritmo primal-dual para programación lineal. ....	24
3.12 Método de los gradientes conjugados .....	28
3.13 Aplicación de la norma L1 en la reducción de parámetros .....	29
3.14 Selección bajo la norma L1 Iterativo. ....	33
4. Ejemplos y simulaciones:.....	35
4.1 Ejemplo de sistema multicuerpo con alta movilidad: .....	35
4.1.1 Trayectorias de estimación: .....	37
4.1.2 Desempeño de los modelos de reducción de parámetros: .....	39
4.2 Ejemplo de sistema multicuerpo con baja movilidad .....	45
4.2.1 Desempeño de los modelos de reducción de parámetros:.....	50
5. Análisis de resultados y conclusiones .....	57

Apéndices.....	69
Reducción de Parámetros del PUMA 560 basada en [2].....	69
Reducción de Parámetros del PUMA 560 basada en L1.....	82
Reducción de Parámetros del PUMA 560 basada en L1 iterativo.....	85
Reducción de Parámetros del PUMA 560 basada en FS iterativo.....	88
Reducción de Parámetros del PUMA 560 basada en PE.....	92
Validación de metodos para el PUMA560.....	95
Reducción de Parámetros del Hexaglidle basada en [2].....	98
Reducción de Parámetros del Hexaglidle basada en L1.....	106
Reducción de Parámetros del Hexaglidle basada en L1 iterativo.....	109
Reducción de Parámetros del Hexaglidle basada en FS iterativo.....	112
Reducción de Parámetros del Hexaglidle basada en PE.....	116
Validación de metodos para el Hexaglidle.....	119

## Índice de tablas:

Tabla 1 Parámetros modificados de Denavit-Hartenberg para el PUMA560 ...	37
Tabla 2 Parámetros dinámicos para el PUMA560.....	37
Tabla 3 EAM: definición de trayectorias de excitación. ....	38
Tabla 4 PUMA560: Reordenación de parámetros por cada método. ....	44
Tabla 5 Parámetros cinemáticos del Hexaglide .....	47
Tabla 6 Parámetros dinámicos del Hexaglide .....	47
Tabla 7 Parámetros dinámicos del Hexaglide .....	49
Tabla 8 Hexaglide: Reordenación de parámetros por cada método. ....	55
Tabla 9 Puma: Conteo de repetición de parámetros por cada método. ....	60
Tabla 10 Hexaglide: Conteo de repetición de parámetros por cada método....	63

## Índice de Figuras

Figura 1 Ejemplo de alta movilidad: Izq.) Sistema Actual, Der.) Modelo CAD..	36
Figura 2 Ejemplo de la trayectoria característica $\mathcal{V}$ . El tiempo en (s) es mostrado en el eje X .....	38
Figura 3 PUMA560: QR selection Error, vs nº de parámetros.....	39
Figura 4 PUMA560: Backward Elimination, Error vs nº de parámetros .....	40
Figura 6 PUMA560: Parámetros Esenciales, Error vs nº de parámetros .....	41
Figura 7 PUMA560: Selección Norma L1, Error vs nº de parámetros.....	41
Figura 8 PUMA560: Foward Selection Iterativo, Error vs nº de parámetros.....	42
Figura 9 PUMA560: Selección Norma L1 Iterativo, Error vs nº de parámetros	42
Figura 10 PUMA560: Comparativa de métodos, Error vs nº de parámetros ....	43
Figura 11 PUMA560: Modelo seleccionado (FS $n\varphi R = 18$ ) $\tau\iota\varphi R\eta\sigma\tau\iota(- -)$ y $\tau\iota\varphi\eta\sigma\tau\iota(- -)$ vs $T(S)$ .....	43
Figura 13 Ejemplo de la trayectoria característica $\mathcal{V}$ . El tiempo en (s) es mostrado en el eje X .....	49
Figura 14 Hexaglide: QR selection Error, vs nº de parámetros .....	50
Figura 15 Hexaglide: Backward Elimination, Error, vs nº de parámetros .....	51
Figura 16 Hexaglide: Foward Selection, Error, vs nº de parámetros .....	51
Figura 17 Hexaglide: Parámetros Esenciales, Error, vs nº de parámetros.....	52
Figura 18 Hexaglide: Norma L1, Error, vs nº de parámetros.....	52
Figura 19 Hexaglide: FS iterativo , Error, vs nº de parámetros. ....	53
Figura 20 Hexaglide: Norma L1 iterativo, Error, vs nº de parámetros. ....	53
Figura 21 Hexaglide: Comparativa de metodos , Error vs nº de parámetros....	54
Figura 22 Hexaglide: Modelo seleccionado (FS $n\varphi R = 16$ ) $\tau\iota\varphi R\eta\sigma\tau\iota(- -)$ y $\tau\iota\varphi\eta\sigma\tau\iota(- -)$ vs $T(S)$ .....	54

## **1. Introducción**

La mecánica es la parte de la física que estudia el movimiento y el equilibrio de los cuerpos, así como las fuerzas que los producen. Un sistema mecánico se puede definir como un sistema constituido fundamentalmente por componentes, dispositivos o elementos que tienen como función específica transformar, o transmitir el movimiento desde las fuentes que lo generan, estos se caracterizan por presentar elementos, o piezas sólidas, con el objeto de realizar movimientos por acción o efecto de una fuerza.

Un sistema multicuerpo es la modelización de estos sistemas mecánicos, el estudio de la dinámica (rama de la física que describe la evolución en el tiempo de un sistema físico en relación con los motivos o causas que provocan los cambios de estado físico o estado de movimiento), de estos sistemas es a lo que se le denomina Dinámica de sistema Multicuerpos. Las técnicas de la Dinámica de sistemas multicuerpo (DSM) permiten la simulación de cualquier sistema o subsistema mecánico, y con ello su análisis, diseño y mejora.

En la actualidad, la simulación numérica de sistemas dinámicos es un tema de interés especial para el mundo científico puesto que es usada en la industria, específicamente en el desarrollo de robots industriales, (manipulador programable en tres o más ejes multipropósito, controlado automáticamente y reprogramable) para predecir los efectos de los esfuerzos y cargas.

El requerimiento de simulaciones que aceleren el diseño o que permitan ser utilizadas en aplicaciones en tiempo real ha sido una de las principales preocupaciones de los investigadores desde los años 90, en el área de la dinámica de sistemas multicuerpos. Por tanto, la reducción de modelos se ha vuelto un tema fundamental en la literatura de la dinámica de sistemas multicuerpos (DSM). En este contexto, la simplificación de modelos frecuentemente significa la reducción de orden, que se suele expresar como, una disminución en el número de grados de libertad del modelo intentando no comprometer su precisión.

El desempeño en tiempo real es un requerimiento en muchas aplicaciones de sistemas multicuerpos, como en la de alimentar el sistema de control predictivo o Feed-forward (Sistema pre-alimentado: son sistemas que reaccionan de acuerdo a variables que vienen de su entorno), [3], el control basado en modelos híbridos (modelos de control analíticos y basados en datos) [4], modelos basados en el filtrado no-lineal [5] [6], modelos basados en la monitorización de su condición (condition monitoring) [7], etc. Frecuentemente, los modelos no requieren que la flexibilidad a nivel de cuerpos, sea tomada en cuenta y por lo tanto la reducción de orden del modelo deja de ser lo más apropiado. Sin embargo, debido a las demandas de desempeño en tiempo real, los investigadores mantienen los esfuerzos para minimizar la demanda



computacional requerida por los modelos. En este contexto, formulaciones que integran las ecuaciones dinámicas exactas usando un número mínimo de operaciones de tipo  $O(n^3)$  y formulaciones de complejidad tipo  $O(n)$  desempeñan un rol predominante [8].

El trabajo presentado a continuación parte de [2] en donde se proponen diferentes técnicas de selección de modelos para obtener modelos de sistemas multicuerpos de parámetros reducidos. El problema de regresión es alimentado con datos obtenidos de simulaciones basadas en el modelo exacto y las técnicas de selección de modelos son usadas para elegir el conjunto de parámetros más pequeños que se ajusten a esos datos para una tolerancia de error dada.

En este trabajo además de incorporar las propuestas de reducción de modelos establecidas en [2] [9], con fines meramente comparativos, también explora otros métodos alternativos tales como la eliminación de parámetros bajo la Norma L1 partiendo de la solución de problemas convexos expuestos en [1], la aplicación de la Norma L1 iterativa, LASSO y FS iterativo. Aunque en este último la idea es presentada en [2], sin embargo su desarrollo e implementación es descrita en esta memoria.

## **2. Justificación y objetivos:**

### **2.1 Objetivos:**

#### **2.1.1 Objetivo principal:**

El objeto de este proyecto es, mediante diferentes técnicas, hallar un método eficiente, en el cual se pueda reducir el tamaño de los modelos dinámicos mediante la eliminación parámetros, buscando obtener el menor error posible.

#### **2.1.2 Objetivos específicos:**

1. Buscar en la literatura la aplicación de técnicas para reducir la complejidad numérica de distintas aplicaciones.
2. La aplicación de estas técnicas de reducción a modelos dinámicos representativos.
3. Hallar el error que se tiene al aplicar cada una de las técnicas seleccionadas.
4. Comparación y análisis de cada una de las técnicas de reducción

Los aspectos más importantes en el desarrollo del proyecto son:

1. Análisis de distintas metodologías.
2. Selección de métodos.
3. Implementación de los distintos métodos en MATLAB.
4. Conclusiones.

En este proyecto se ha realizado en su gran mayoría mediante la creación de algoritmos para su uso en MATLAB, aunque a día de hoy existen diferentes programas, MATLAB contiene un conjunto de paquetes de optimización y de funciones desarrolladas para casi todo tipo de aplicaciones en este caso el algoritmo usado para resolver los problemas de optimización convexa expuesto en [1] ha sido desarrollado en MATLAB, también los paquetes de funciones provenientes del Lib3D\_MEC\_GiNaC para los cálculos relacionados con la DSM, por tanto en este trabajo se ha optado por el uso de este programa para su desarrollo. MATLAB se establece como el programa de uso estándar de facto en la ingeniería.

MATLAB contiene un entorno de escritorio ajustado para flujos de trabajos científicos y de ingeniería, también posee documentación escrita, soporte y foros para ingenieros. Las funcionalidades desarrolladas en MATLAB son probadas rigurosamente y totalmente documentadas, MATLAB en el ámbito científico posee un alto grado de confiabilidad, es usado en diferentes ámbitos como en la industria aeroespacial, o medica. MATLAB tiene un equipo de ingenieros que constantemente verifica la calidad del software ejecutando millones de pruebas sobre el código base todos los días.

### 3. Estado del arte

#### 3.1 Sistemas multicuerpos:

Las técnicas de la Dinámica de sistemas multicuerpo (DSM) permiten la simulación de cualquier sistema o subsistema mecánico, y con ello su análisis, diseño y mejora. Resulta claro en este ámbito el interés industrial, económico y científico de la DSM.

Estos modelos son obtenidos en función de los parámetros (tales como masas, inercias, geometrías, etc...), de los cuales se logran describir los movimientos y las fuerzas aplicadas en un determinado tiempo o instante. Por tanto, los modelos dinámicos exactos en el mundo de la robótica son requeridos para el control, o para simular las cargas presentes en los componentes.

#### 3.2 Modelado de sistemas mecánicos:

El modelado de sistemas mecánicos es un campo que lleva años en la industria y que hoy en día se encuentra bastante consolidado. Al día de hoy existe un amplio número de libros en los que se describe tanto el modelado cinemático, como el modelado dinámico de sistemas mecánicos. [10], [11].

Cabe mencionar que para el modelo dinámico de un sistema robótico partimos del propuesto por [12], el cual viene dado por la siguiente ecuación:

$$K_{z\varphi}(z, \dot{z}, \ddot{z})\varphi = \tau_z \quad 1$$

Donde  $K_{z\varphi}$  representa la matriz de observación del sistema que contiene la información de la posición, velocidad y aceleración  $(z, \dot{z}, \ddot{z})$ , que corresponden con las coordenadas generales o acota el mecanismo y  $\tau_z$  representa el vector de fuerzas y momentos externos que actúan sobre el sistema. El vector  $\varphi$ , incluye los parámetros dinámicos del sistema.

La matriz que se crea a partir de las ecuaciones dinámicas del movimiento en cada estado, viene denotada por  $W(\mathcal{E})\varphi$  y se le conoce como matriz de observación para un conjunto de datos  $\mathcal{E}$ .

$$W(\mathcal{E})\varphi = \begin{bmatrix} K_{z\varphi}(z^i, \dot{z}^i, \ddot{z}^i) \\ \dots \\ K_{z\varphi}(z^n, \dot{z}^n, \ddot{z}^n) \end{bmatrix} \varphi = \begin{Bmatrix} \tau_z^i \\ \dots \\ \tau_z^n \end{Bmatrix} = X(\mathcal{E}) \quad 2$$

### 3.3 Métodos de selección de modelos reducidos:

Los métodos de selección de modelos reducidos, son un conjunto de técnicas usadas en diferentes contextos científicos para representar un conjunto de datos en términos de un número reducido de parámetros, sacrificando en el proceso la precisión con la cual el conjunto de datos es representado.

Aparentemente, en el área de la dinámica de sistemas multicuerpos, estos métodos no han sido enteramente explorados.

Por otra parte los modelos multicuerpo pueden ser considerados paramétricos en términos de sus parámetros dinámicos por lo que es posible aplicar diferentes técnicas para reducir este número de parámetros.

Estos modelos de parámetros reducidos logran tener una complejidad computacional inferior al original. Sin embargo, pueden llegar a mantener un nivel de precisión deseado.

Los métodos de reducción de parámetros [12], [2] planteados en la dinámica de sistemas multicuerpos parten de un cierto número de observaciones hechas a un sistema mecánico, las cuales son expresadas de la siguiente manera:

$$d_z(z, \dot{z}, \ddot{z}, \varphi) = \tau_z \quad 3$$

Donde,  $d_z$  es el llamado modelo dinámico inverso, con él, es posible obtener el vector de fuerzas que son aplicadas externamente ( $\tau_z$ ) a partir, de los estados del sistema  $(z, \dot{z}, \ddot{z})$  y el vector de parámetros dinámicos  $\varphi$ . Un sistema dinámico puede ser expresado de la siguiente manera:

$$d_z(z, \dot{z}, \ddot{z}, \varphi) = M_{zz}(z, \varphi)\ddot{z} + \delta_z(z, \dot{z}, \varphi) = \tau_z \quad 4$$

Donde  $M_{zz}$  representa la función de matriz de masa y  $\delta_z$  representa las fuerzas centrífugas, constitutivas y de Coriolis.

Teniendo en cuenta la linealidad de  $d_z$  con respecto de los parámetros dinámicos esta ecuación se puede expresar:

$$d_z(z, \dot{z}, \ddot{z}, \varphi) = K_{z\varphi}(z, \dot{z}, \ddot{z})\varphi = \tau_z \quad 5$$

Esta es la manera estándar expresada para la estimación de parámetros dinámicos, donde  $K_{z\varphi}$  es la matriz de observación. El objetivo de la simplificación por reducción de parámetros es definido en este contexto como la manera de eliminar algunos parámetros de  $\varphi$  y las correspondientes columnas de  $K_{z\varphi}$  para que el vector  $\tau_z$  pueda ser aproximado como una combinación lineal de las columnas.

$$K_{z\varphi_R}(z, \dot{z}, \ddot{z})\varphi_R \approx K_{z\varphi}(z, \dot{z}, \ddot{z})\varphi = \tau_z \quad 6$$

Por lo que  $\varphi_R$  se establece como el conjunto de parámetros reducidos y  $K_{z\varphi_R}$  es la matriz de observación reducida. Para propósitos de implementación es conveniente eliminar los parámetros directamente de la expresión  $d_z$  lo que hace que:

$$d_z(z, \dot{z}, \ddot{z}, \varphi) = d_z(z, \dot{z}, \ddot{z}, \varphi_R) \quad 7$$

En el contexto de la identificación de sistemas robóticos, el modelo es frecuentemente re-parametrizado en términos de un número más pequeño de parámetros dinámicos.

Por lo tanto la estimación de parámetros es ajustada asegurando que las ecuaciones dinámicas se satisfacen para un conjunto de observaciones o de estimaciones,  $\mathcal{E} = \{(z^i, \dot{z}^i, \ddot{z}^i, \tau_z^i) | i = 1, \dots, n_{\mathcal{E}}\}$ :

$$W(\mathcal{E})\varphi = \begin{bmatrix} K_{z\varphi}(z^i, \dot{z}^i, \ddot{z}^i) \\ \dots \\ K_{z\varphi}(z^n, \dot{z}^n, \ddot{z}^n) \end{bmatrix} \varphi = \begin{Bmatrix} \tau_z^i \\ \dots \\ \tau_z^n \end{Bmatrix} = X(\mathcal{E}) \quad 8$$

Donde  $W(\mathcal{E})$  (como se ha establecido anteriormente) es la llamada matriz de observación para un conjunto de mediciones  $\mathcal{E}$ . En general, existen dependencias lineales entre las columnas  $W(\mathcal{E})$ , por lo tanto, el conjunto de parámetros  $\varphi$  no es independiente de  $W(\mathcal{E})$  por lo que  $W(\mathcal{E})$  es reordenado de la siguiente manera:

$$[W_{\varphi_R} \quad W_{\varphi_E}] \quad 9$$

Donde, la matriz  $W_{\varphi_R}$  está hecha de un conjunto de parámetros independientes y  $W_{\varphi_E}$  está formada por los parámetros dependientes. Por lo que, la matriz de parámetros es expresada como:

$$\varphi = \begin{bmatrix} \varphi_R \\ \varphi_E \end{bmatrix} \quad 10$$

Donde,  $\varphi_R$  es el conjunto de parámetros independientes asociados con  $W_{\varphi_R}$  y  $\varphi_E$  es el conjunto de parámetros dependientes o “excluidos” asociados a  $W_{\varphi_E}$ . Las columnas  $W_{\varphi_E}$  pueden ser expresadas como una combinación lineal de la matriz  $W_{\varphi_R}$  con la siguiente relación:

$$W_{\varphi_E} = W_{\varphi_R} \beta_{\varphi_R} \quad 11$$

En estas expresiones las columnas de la matriz  $\beta_{\varphi_R}$  contienen los coeficientes de dichas combinaciones lineales, por lo que el problema es reescrito de la siguiente forma:

$$[W_{\varphi_R} \quad W_{\varphi_E}] \begin{Bmatrix} \varphi_R \\ \varphi_E \end{Bmatrix} = [W_{\varphi_R} \quad W_{\varphi_R} \beta_{\varphi_R}] \begin{Bmatrix} \varphi_R \\ \varphi_E \end{Bmatrix} = W_{\varphi_R} (\varphi_R + \beta_{\varphi_R} \varphi_E) = W_{\varphi_R} \varphi'_R \quad 12$$

Lo que nos lleva al problema inicial para la identificación de parámetros:

$$W_{\varphi_R}(\varepsilon) \varphi'_R = X(\varepsilon) \quad 13$$

Donde:

$$\varphi'_R(\varepsilon) = \varphi_R + \beta_{\varphi_R}(\varepsilon) \varphi_E \quad 14$$

Es el llamado conjunto de parámetros base o parámetros mínimos.

Por lo tanto el problema según [2] pasa a ser expresado como:

“Para un modelo dinámico dado, con un conjunto de parámetros conocidos, se busca determinar el mínimo conjunto de parámetros del modelo que logre aproximar los datos del modelo, con una deseada precisión”.

Para la resolución de este problema se establecen dos preguntas por definir las cuales son:

1. ¿Cuáles son los conjuntos de parámetros característicos (de los que se define enteramente mi sistema y donde se considera exacto)?

2. ¿Cómo se establece la medida del error?

Por lo que debido a esto se establecieron las siguientes bases:

1. La estimación característica de un conjunto de datos es sistemática, dependiente de cada aplicación, y debería caracterizar el rango dinámico del sistema entero en la aplicación considerada. Este ajuste,  $\varepsilon = \{(z^i, \dot{z}^i, \ddot{z}^i) | i = 1, \dots, n_\varepsilon\}$  puede ser obtenido mediante los datos de muestra del modelo entero.

Por ejemplo, en el caso de sistemas multicuerpos con todos sus grados de libertad actuados, las trayectorias son parametrizadas para un conjunto de coordenadas independientes, y un criterio de optimización es usado para determinar los valores de los parámetros. Una comparación de algunos de los criterios clásicos para la optimización de trayectorias puede ser encontrada en [13]. La parametrización de trayectorias basadas en series armónicas [14] [15] [16] y en polinómicas [17] [18] han sido propuestas en la literatura. Para sistemas sub-actuados, las simulaciones dinámicas tienen que ser ejecutadas para un conjunto de simulaciones representativas de trabajo. La validación del conjunto de datos  $v = \{(z^i, \dot{z}^i, \ddot{z}^i, \tau_z^i) | i = 1, \dots, n_v\}$  puede ser obtenida usando el mismo procedimiento.

2. Para un conjunto dado de parámetros reducidos del modelo, el siguiente error de criterio o medición de predicción de error para la identificación de parámetros dinámicos es propuesto:

$$\epsilon_{\tau_z}(\varphi_R, \varepsilon) = \frac{\|\Sigma^{-1/2}(X(\varepsilon) - W_{\varphi_R}(\varepsilon)\varphi'_R(\varepsilon))\|}{\|\Sigma^{-1/2}X(\varepsilon)\|} \quad 15$$

En esta expresión  $W_{\varphi_R}(\varepsilon)$  representa la matriz de observación del modelo de parámetros reducidos  $\varphi_R$ , usando el conjunto de datos  $\varepsilon$ . Los parámetros  $\varphi'_R(\varepsilon)$  son los valores numéricos para los parámetros base generalizados, definidos en la ec.14 para los parámetros  $\varphi_R$  del modelo usando los datos  $\varepsilon$ . La matriz de ponderación  $\Sigma^{-1/2}$  es definida como:

$$\Sigma^{-1/2} = \text{diag}(\text{diag}(\text{nom}(\tau_z)), \dots, \text{diag}(\text{nom}(\tau_z))) \quad 16$$

Donde  $nom(\tau_z)$  representa el vector de valores característicos para los elementos del vector  $\tau_z$ . En general, los valores característicos basados en la estimación de datos puede ser usada, sin embargo ellos pueden ser establecidos por otras medias.

Es importante notar que para la función  $\epsilon_{\tau_z}(\varphi_R, \mathcal{E})$ , el argumento  $\varphi_R$  se refiere al conjunto de parámetros reducidos y no a sus valores numéricos. Obviamente, la computación de esta función requiere la determinación de los valores numéricos de  $\varphi'_R(\mathcal{E})$ .

Los índices para caracterizar la relevancia de la contribución de las diferentes fuerzas dinámicas (Coriolis, centrípetas, etc.) para la IDM han sido propuestos por [19] pero estos no se ajustan al problema de reducción de parámetros en el cual este trabajo se enfoca.

La medida del error  $\epsilon_{\tau_z}(\varphi_R, \mathcal{E})$ , es usada como el criterio de ajustes para la elección de los modelos de parámetros reducidos y para su validación. Por ejemplo, si el número de parámetros de  $n_{\varphi_R}$  del modelo deseado  $\varphi_R$  es fijo, el mejor modelo puede ser determinado como:

$$\varphi_R = \arg \min_{\varphi_R | n_{\varphi_R} = card(\varphi_R)} \epsilon_{\tau_z}(\varphi_R, \mathcal{E}) \quad 17$$

Donde  $card(\varphi_R)$  es la cardinalidad del conjunto de parámetros  $\varphi_R$ . Como antes, es necesario notar que el argumento  $\varphi_R$  se refiere al conjunto de parámetros elegidos y no a los de sus valores numéricos. Para un deseado nivel de error,  $\epsilon_{\tau_z}(\varphi_R, \mathcal{E})$ , el modelo reducido es considerado aceptable si la validación y la estimación de los datos dan un nivel similar de error  $\epsilon_{\tau_z}(\varphi_R, \mathcal{V}) \approx \epsilon_{\tau_z}(\varphi_R, \mathcal{E})$ .

El problema con este enfoque es el número de posibles conjuntos de parámetros a ser probados para encontrar el mejor modelo de parámetros reducido con  $card(\varphi_R) = n_{\varphi_R}$  es alta

$$\binom{n_{\varphi}}{n_{\varphi_R}} = \frac{n_{\varphi}!}{n_{\varphi_R}! (n_{\varphi} - n_{\varphi_R})!} \quad 18$$

Si todos los conjuntos de parámetros con un número arbitrario de parámetros  $n_{\varphi_R} = 1, \dots, n_{\varphi}$  son probados, una mayor cantidad de candidatos es obtenida  $2^{n_{\varphi}}$ . En general, esto excluye al enfoque de ensayo y error para el problema de reducción de parámetros. Por lo tanto, algoritmos que tengan un compromiso entre el costo computacional de búsqueda y la calidad del modelo reducido es requerida.



En [2] se establecen distintos métodos para resolver este problema entre ellos están:

1. QR Selection
2. Backward Elimination
3. Forward Selection
4. Forward Selection with two iterations (con dos iteraciones).

### 3.4 La selección QR

La descomposición QR de la matriz de observación  $W(\mathcal{E})$  toma la siguiente forma:

$$WE = QR \quad 19$$

Donde la matriz  $WE$  es una columna de permutación de  $W(\mathcal{E})$ ,  $Q$  es una matriz ortonormal, y  $R$  es una, matriz triangular superior con los elementos de la diagonal en magnitud decreciente.

$$[W_{\varphi_R} \quad W_{\varphi_E}] = [Q_R \quad Q_E] \begin{bmatrix} R_{rr} & R_{re} \\ 0 & R_{ee} \end{bmatrix} \quad 20$$

Donde  $W_{\varphi_R}$  contiene las primeras columnas de  $WE$ , y  $R_{rr}$  es una matrix regular de  $r \times r$ . El modelo reducido es definido por el conjunto de parámetros asociados con las columnas de  $W_{\varphi_R}$ . De la ecuación previa se tiene que:

$$W_{\varphi_R} = Q_R R_{rr}, \text{ y } W_{\varphi_E} = Q_R R_{re} + Q_E R_{ee} \quad 21$$

La matriz  $W_{\varphi_E}$  puede ser aproximada como:

$$W_{\varphi_E} \approx W_{\varphi_R} W_{\varphi_R}^+ W_{\varphi_E} = Q_R R_{re} + Q_E R_{ee} \quad 22$$

Donde:

$$\beta_{\varphi_R} = W_{\varphi_R}^+ W_{\varphi_E} = R_{rr}^{-1} R_{re} \quad 23$$

La ecuación 23 es una muy buena aproximación de  $W_{\varphi_E}$  para un conjunto de  $r$  parámetros. Notar que  $R_{ee}$  es escogido por el algoritmo QR para tener los elementos de la diagonal más pequeños y, por lo tanto, el error en la aproximación de  $W_{\varphi_E}$ ,  $Q_E R_{ee}$ , es casi tan pequeña como es posible. Las ideas presentadas aquí son parcialmente inspiradas el algoritmo descrito en [20], aunque las ideas presentadas allí se enfocan en el caso de  $r = n_{\varphi_R} = \text{rank}(W(\mathcal{E}))$ . Un subconjunto de algoritmos de selección con algún parecido al presentado aquí es referido como Orthogonal least Squares, descrita en [21].

El error de predicción normalizado  $\epsilon_{\tau_z}(\varphi_R, \mathcal{E})$  correspondiente para los parámetros asociados con la primeras  $r$  columnas de  $WE$  en la ec 15. Dada una tolerancia aceptable de error, y comenzando con  $n_{\varphi_R} = \text{rank}(W(\mathcal{E}))$ , disminuimos  $n_{\varphi_R}$  mientras  $\epsilon_{\tau_z}(\varphi_R, \mathcal{E}) < Tol$ . Entonces la parametrización más simple basada en el QR es la correspondiente a los parámetros asociados con la primeras filas de  $n_{\varphi_R}$  de  $WE$ .

### 3.5 La eliminación regresiva o backward elimination (BE)

El algoritmo de eliminación (BE) es iterativo y comienza usando el conjunto entero de parámetros para los modelos actuales de parámetros reducidos  $\varphi_R = \varphi$ . En cada iteración, el parámetro con la menor contribución significativa al error normalizado es eliminado del conjunto de parámetros del modelo actual,  $\varphi_R = \varphi \setminus \varphi_e$ , hasta que el criterio de error sea mayor que la tolerancia seleccionada  $\epsilon_{\tau_z}(\varphi_R, \mathcal{E}) > Tol$ . Esta situación es mostrada en el pseudocódigo del Algoritmo 1 usando un estilo algorítmico más formal.

$$\varphi_e = \arg \min_{\varphi_i | \varphi_i \in \varphi_R} \epsilon_{\tau_z}(\varphi_R \setminus \varphi_i, \mathcal{E}), \quad 24$$

Básicamente los parámetros que hacen una contribución más pequeña al error del modelo son quitados uno a uno. El algoritmo sería óptimo si las contribuciones al error de los diferentes parámetros  $\varphi$  fueran independientes. El problema es que habitualmente no lo son, y por lo tanto, eliminar un parámetro dado tiene un efecto en el error de los parámetros que quedan para el modelo reducido resultante. De esta forma, el algoritmo resultante, podría ser conveniente y es probable que funcione bien sin embargo, podemos saber de antemano que este no es óptimo.

De acuerdo con [2] una característica importante de este algoritmo es que agregado a  $W(\mathcal{E})$ , el vector  $X(\mathcal{E})$  tiene un efecto en el orden en el cual los parámetros son reducidos. Esta información no es considerada por el algoritmo QR por lo que es una ventaja competitiva de este procedimiento.

---

#### Algoritmo 1 Backward Elimination (BE)

---

$\varphi_R = \varphi$   
**Repeat**  
 $\varphi_e = \arg \min_{\varphi_i | \varphi_i \in \varphi_R} \epsilon_{\tau_z}(\varphi_R \setminus \varphi_i, \mathcal{E}),$   
 $\varphi_R = \varphi_R \setminus \varphi_e$   
**Until**  $\epsilon_{\tau_z}(\varphi_R, \mathcal{E}) > tol$

---

### 3.6 La selección progresiva o forward selection (FS)

El algoritmo iterativo de Forward Selection (FS) es, de alguna manera, el procedimiento inverso del anterior. Este parte de un conjunto de parámetros reducidos vacío para el modelo actual  $\varphi_R = \emptyset$ . En cada iteración, el parámetro con la contribución más significativa al error normalizado es agregado al conjunto de parámetros  $\varphi_R = \varphi_R \cup \varphi_s$ , hasta llegar a la tolerancia objetivo requerida  $\epsilon_{\tau_z}(\varphi_R, \mathcal{E}) < tol$ . Esta situación es presentada de forma similar al procedimiento anterior con el Algoritmo 2:

---

#### Algoritmo 2 Foward Selection (FS)

---

$\varphi_R = \emptyset$   
**Repeat**  
 $\varphi_e = \arg \min_{\varphi_i | \varphi_i \notin \varphi_R} \epsilon_{\tau_z}(\varphi_R \cup \varphi_i, \mathcal{E})$ ,  
 $\varphi_R = \varphi_R \cup \varphi_s$   
**Until**  $\epsilon_{\tau_z}(\varphi_R, \mathcal{E}) < tol$

---

En esencia, los parámetros que dan una mayor contribución al error del modelo son introducidos uno a uno, Igualmente que en el caso anterior las contribuciones no son generalmente independientes, por lo que el agregar un parámetro tiene un efecto en el error del modelo reducido resultante, Por lo tanto, es posible que el algoritmo se comporte bien sin embargo este no es óptimo.

Más adelante se comprobará que el FS trabaja ligeramente mejor que el BE. En un principio el modelo puede ser expresado exactamente en términos del conjunto de parámetros base. Como este conjunto no es único, existen muchas posibilidades de quitar los parámetros que no tengan efectos en el error. Por lo tanto, no existe un criterio para diferenciar entre las posibles eliminaciones de los parámetros pero aun, la elección tiene un efecto en el desempeño del modelo de parámetros reducidos resultante.

### 3.7 Selección progresiva con 2 iteraciones o Forward Selection with two iterations:

Los algoritmos presentados en las secciones anteriores aplicados son típicos en el contexto de selección de modelos. [22] [21]. La literatura sugiere la posibilidad de usar iteraciones en los algoritmos. Típicamente, una o más iteraciones de búsquedas son introducidas además de la inicial.

Como ejemplo, en este caso podemos pensar en tomar el algoritmo de FS y adaptarle una iteración adicional que podría ser leída como: dejar  $\varphi_R$  ser el conjunto de parámetros el inicio de una iteración dada, y establecer  $\varphi_l$  como el conjunto de parámetros a agregar a este conjunto en la iteración previa. El

algoritmo comienza con un vector de parámetros vacío para el modelo de parámetros reducidos  $\varphi_R = \emptyset$ , de igual forma, un vector extra vacío de parámetros es agregado  $\varphi_l = \emptyset$ , como el hecho en la iteración previa. En cada iteración, como antes se escogerá el parámetro con la contribución más significativa al error normalizado.  $\varphi_s = \arg \min_{\varphi_i | \varphi_i \notin \varphi_R} \epsilon_{\tau_z}(\varphi_R \cup \varphi_i, \mathcal{E})$ . Después el parámetro agregado en la iteración previa  $\varphi_l$  es suprimido,  $\varphi_R = \varphi_R \setminus \varphi_l$ . El parámetro con la contribución al error más significativa al error es buscado nuevamente y es agregado al conjunto  $\varphi_R = \varphi_R \cup \varphi_s$ , Este último es comparado con el error del conjunto de parámetros anterior. Seleccionando el conjunto de parámetros que menor error introduce al modelo. Esto se repite, hasta llegar a una tolerancia  $\epsilon_{\tau_z}(\varphi_R, \mathcal{E}) < tol$ .

Teniendo:

$$\varphi_s = \arg \min_{\varphi_i | \varphi_i \notin \varphi_R} \epsilon_{\tau_z}(\varphi_R \cup \varphi_i, \mathcal{E}), \quad 25$$

Esto es presentado más formalmente en el siguiente pseudocódigo correspondiente al Algoritmo 3:

---

**Algoritmo 3** Foward Selection with two iterations (FS)

---

```

 $\varphi_R = \emptyset$ 
 $\varphi_l = \emptyset$ 
Repeat
 $\varphi_s = \arg \min_{\varphi_i | \varphi_i \notin \varphi_R} \epsilon_{\tau_z}(\varphi_R \cup \varphi_i, \mathcal{E})$ ,
 $\varphi_R = \varphi_R \cup \varphi_s$ 
 $\varphi_l = \varphi_s$ 
 $\varphi_{R'} = \varphi_R \setminus \varphi_l$ 
 $\varphi_{s'} = \arg \min_{\varphi_i | \varphi_i \notin \varphi_{R'}} \epsilon_{\tau_z}(\varphi_{R'} \cup \varphi_i, \mathcal{E})$ ,
 $\varphi_{R'} = \varphi_{R'} \cup \varphi_{s'}$ 
if  $\epsilon_{\tau_z}(\varphi_{R'}) < \epsilon_{\tau_z}(\varphi_R) \rightarrow \varphi_l = \varphi_{s'}, \varphi_R = \varphi_{R'}$ 
Until  $\epsilon_{\tau_z}(\varphi_R, \mathcal{E}) < tol$ 

```

---

Durante la implementación, el método tal cual estuvo planteado en [2]. Era incompleto, de hecho en este trabajo el método FS con dos iteraciones es modificado y completado. Los resultados y análisis serán presentados más adelante. Este método, establece soluciones que no necesariamente contiene los parámetros de la solución anterior, sin embargo es posible hallar el error para un determinado número de parámetros.

Todos estos métodos anteriormente descritos fueron presentados en [2]. El presente trabajo de fin de estudios es una continuación de la investigación en la reducción de modelos dinámicos. Para este trabajo, se formularon distintas hipótesis para la mejora de estos algoritmos, sin embargo, las más relevantes y de las que se tuvieron resultados interesantes fueron las siguientes:

1. Reducción por parámetros esenciales.
2. Reducción por LASSO
3. Selección bajo la norma L1
4. Selección bajo la norma L1 con dos iteraciones.

### 3.8 Reduccion por parametros esenciales o Reduction by SVD Analysis (Singular Value Decomposition)

El método de reducción es mencionado con detalles en [9], este consiste en líneas generales, determinar los parámetros esenciales a partir de los parámetros base eliminando los que se consideran insignificantes mediante un análisis de SVD (Singular Value Decomposition) del cual se halla el modelo ortogonal equivalente, llevando a 0 los valores singulares.

Según [9] partimos de la suposición de que la matriz de observación  $W$  de  $(r \times nb)$  es de rango completo como resultado de los parámetros base y la trayectorias de excitación. Por tanto, esta puede ser descompuesta de la siguiente forma usando la descomposición en valores singulares (SVD Analysis).

En [23] se establece como SVD como una factorización de una matriz real o compleja. Es la generalización de la descomposición de valores propios de una matriz normal definida positiva para cualquier matriz  $m \times n$  a través de una extensión de la descomposición polar.

Formalmente, la descomposición en valores singulares de una matriz  $M$  real o compleja de  $m \times n$  es una factorización de la forma  $U\Sigma V^*$ , donde  $U$  es una matriz  $m \times m$  unitaria real o compleja,  $\Sigma$  es una matriz  $m \times n$  diagonal rectangular con números reales no-negativos en la diagonal y  $V$  es una matriz unitaria de  $n \times n$  real o compleja. Los valores de la diagonal de  $\Sigma$  son conocidos como los valores singulares de  $M$ . Las columnas de  $U$  y las columnas de  $V$  son denominadas como vectores singulares de izquierdos y vectores singulares derechos de  $M$

$$W = USV^T \tag{26}$$

$$W = [U_1 \quad U_2] \begin{bmatrix} \Sigma \\ 0_{(r-nb) \times nb} \end{bmatrix} V^T = U_1 \Sigma V^T \tag{27}$$

Donde:

$U = [U_1 \quad U_2]$ , y  $V$  son las matrices ortogonales  $(r \times r)$  y  $(nb \times nb)$  respectivas.

$$\Sigma = \text{diag}(\sigma_1, \dots, \sigma_{nb}) \text{ Con } \sigma_1 \geq \dots \geq \sigma_{nb}$$

Usando 27 el sistema compatible equivalente se convierte en:

$$\tau_z = U_1 \Sigma V^T X \quad 28$$

Lo que nos permite definir el sistema equivalente como:

$$G = U_1^T Y \quad 29$$

$$Z = V^T X \quad 30$$

Por lo que el sistema ortogonal equivalente queda redefinido como:

$$G = \Sigma Z \quad 31$$

La reducción por descomposición de valores singulares parte en forzar algunos valores de  $\Sigma$  a 0 el interés de esta transformación es que la matriz  $\Sigma$  es una matriz diagonal, por lo que los efectos de la reducción del modelo en el error y en la condición numérica son dados explícitamente.

Por lo que definimos la Matriz  $P^T$  la cual llamaremos matriz de permutación y su función en líneas generales es la de organizar los componentes de la matriz  $G$  en orden decreciente  $G' = P^T G$ . Por lo que  $|G'_i| \geq |G'_{i+1}|$ . El sistema ortogonal equivalente ec.31 después de la permutación y la separación en dos grupos  $G'_1$  y  $G'_2$  pasa a ser:

$$G' = \Sigma' Z' \quad 32$$

$$\text{Con } G' = \begin{bmatrix} G'_1 \\ G'_2 \end{bmatrix}, \Sigma' = P^T \Sigma P = \begin{bmatrix} \Sigma'_1 & 0 \\ 0 & \Sigma'_2 \end{bmatrix}, Z' = P^T Z = \begin{bmatrix} Z'_1 \\ Z'_2 \end{bmatrix}$$

Para este caso valor de  $G'_2$  será despreciado y su cálculo se explicara más adelante.

Por lo que la reducción del modelo equivalente ec.32 consiste en considerar:

$$\hat{G}' = \Sigma'_r \hat{Z}' \quad 33$$

Donde:

$$\Sigma'_r = \begin{bmatrix} \Sigma'_1 & 0 \\ 0 & 0 \end{bmatrix} \quad 34$$

La solución de  $G' = \Sigma'_r z' + b$  la cual es  $\hat{Z}' = \arg \min_{z'} \|G' - \Sigma'_r z'\|$ , es dada por:

$$\hat{Z}' = \begin{bmatrix} \Sigma'_1{}^{-1} G'_1 \\ \hat{Z}'_2 \end{bmatrix} \quad 35$$

Donde  $\hat{Z}'_2$  puede ser escogido arbitrariamente (esto es explicado con mayor detalle en [9]) por lo que el modelo simplificado quedaría expresado como:

$$\hat{G}' = \begin{bmatrix} G'_1 \\ 0 \end{bmatrix} \quad 36$$

Una vez simplificado tenemos que regresar el cambio del modelo ortogonal equivalente al modelo inicial haciendo:

$$\hat{Y} = W_s \hat{X} \quad 37$$

Con  $W_s = P \Sigma'_r P^T V^T$  y  $\hat{X} = V P \hat{Z}'$

La norma mínima del error del modelo queda definida como:

$$\|Y - \hat{Y}\| = \|G'_2\| \quad 38$$

Ya que  $\|G'_2\|$  representa el error del modelo, Esta debe ser escogida como la más pequeña posible.

En este método es importante resaltar entre otras cosas que no existe relación analítica entre la matriz de observación  $W_s$  y  $W$ . **A efectos, la obtencion de los parametros, es detallada en [20], sin embargo las soluciones obtenidas número de parametros n, igual que en el caso del FS iterativo no estarán contenidas en N+1. Por tanto, los parametros escogidos para cada iteración no se tomaran en cuenta para este trabajo.**

### 3.9 Reducción mediante LASSO.

Según [24] [25] LASSO (least absolute shrinkage and selection operator, por sus siglas en inglés), es un método de análisis de regresión que realiza selección de variables y regularización para mejorar la exactitud e interpretación del modelo estadístico producido por este. Lasso fue formulado originalmente para el método de mínimos cuadrados y este caso simple revela una cantidad substancial acerca del comportamiento del estimador, incluyendo su relación con Ridge regression y selección de subconjuntos (de variables) y la conexión entre los coeficientes estimados con LASSO y el llamado 'soft thresholding'. También

revela que (al igual que la Regresión Lineal estándar) los coeficientes estimados no necesariamente son únicos si las variables independientes son colineales.

Ridge regression o Regularización de Tikhonov [26] [27] es el método más comúnmente utilizado para la regularización de problemas. Según [28] En estadística la regularización se define como el proceso por el cual se introduce información adicional resolver problemas condicionados, no bien definidos, o para prevenir sobreajuste.

Si suponemos que para una matriz conocida A y un vector b nos interesa encontrar un vector x tal que:

$$Ax = b$$

El enfoque usual es la solución de mínimos cuadrados. Sin embargo, si x no satisface la ecuación o más de un vector x lo hace, se considera que la solución no es única por lo que se considera que el problema no está bien definido o está condicionado. En tales casos la solución de mínimos cuadrados lleva a una solución sobreajustada o sub-ajustada. La solución de mínima norma se basa en minimizar la suma de los cuadrados de los residuos que puede ser expresado como:

$$\|A_x - b\|_2^2$$

Por tanto, para dar preferencia a una solución en particular con unas propiedades deseadas, es agregado un término de regularización que puede ser expresado como:

$$\|A_x - b\|_2^2 + \|\Gamma x\|_2^2$$

Convenientemente el término  $\Gamma$  es definido como la matriz de Tikhonov. En muchos casos esta es escogida como un múltiplo de la matriz de la identidad ( $\Gamma = \alpha I$ ), dando preferencia a soluciones con la norma más pequeña, esto es conocido como la Regularización bajo la norma L2 o Ridge regresión.

En el caso de LASSO, usando la notación de [29], para un valor dado de  $\lambda$  no-negativo, LASSO resuelve el problema:

$$\min_{x_0 x} \left( \frac{1}{2N} \sum_{i=1}^N (b - x_0 - x A_i^T)^2 + \lambda \sum_{j=1}^P |x_j| \right) \quad 39$$

Donde:

- N es el número de observaciones.
- $b_i$  es la respuesta a la observación i.



- $A_i$  son los datos, un vector de longitud  $P$  en la observación  $i$ .
- $\lambda$  es un parámetro no-negativo de regularización correspondiente a un valor de  $\lambda$ .
- Los parámetros  $x_0$  y  $x$  son un escalar y un vector de longitud  $P$  respectivamente. A medida de que  $\lambda$  incrementa, el número de componentes no-ceros de  $x$  disminuye. El problema de LASSO involucra a la Norma  $L^1$  de  $x$ .

La aplicación de LASSO en este contexto resulto complicada de establecer, si bien es cierto que es capaz de encontrar diferentes combinaciones de parámetros que lleguen a encontrar el error mínimo, el problema principal residía en que el número de parámetros que LASSO escogerá para satisfacer ese error, no eran mínimos, de hecho terminaba siendo una cantidad aleatoria de parámetros, que satisfacen ese error y de los cuales no se podía dar relación con respecto a otros métodos, por lo que a pesar de que tiene sentido su uso en este contexto, esta solo será mencionada. Su implementación y resultados quedaran fuera de los objetivos de este trabajo.

### 3.10 La norma de un vector

Según [30] Un vector es un elemento de un espacio vectorial del que, en ocasiones, especialmente en física y geometría, interesa conocer su longitud. Para ello, se hace necesario definir un operador norma que determine la longitud o magnitud del vector bajo consideración ya que este acto, pese a lo que pudiéramos creer, no es un problema trivial; especialmente desde la aparición de las geometrías no euclídeas para las que surge.

La definición general de norma se basa en generalizar a espacios vectoriales abstractos la noción de módulo de un vector de un espacio euclídeo. Recuérdese que en un espacio no euclídeo el concepto de camino más corto entre dos puntos ya no es identificable necesariamente con el de la línea recta; por ello, se utilizan las propiedades operacionales de la norma euclídea definida más abajo para extraer las condiciones que debe cumplir la "longitud de un vector", o norma vectorial, en un espacio vectorial cualquiera. Estas condiciones básicas son:

- Siempre es no negativa e independiente del sentido (orientación) de la medición.
- La longitud debe ser directamente proporcional al tamaño (es decir, doble -o triple- de tamaño significa doble -o triple- de longitud).
- La longitud entre dos puntos será siempre menor o igual que la suma de longitudes desde esos mismos dos puntos a un tercero diferente de ellos (desigualdad triangular: la suma de dos lados de un triángulo nunca

es menor que el tercer lado, también generalizada en la desigualdad de Cauchy-Schwartz). Se presentan dos maneras de forma, una casi directa y apunta a lo dicho: longitud de vector. La otra usa la noción de operador y mayor simbolismo de la matemática formal (tipo Bourbaki)

### 3.10.1 Norma L1

Uno de los principios centrales del procesamiento de señales es la teoría de muestreo de Shannon/Nyquist [31] [32] en la cual se establece que el número de muestras necesarias para capturar una señal está dictada por su ancho de banda. Muy recientemente, ha emergido una teoría alternativa de “muestreo comprimido”. Usando algoritmos no lineales de recuperación (basado en la optimización convexa), de señales e imágenes pueden ser reconstruidas de lo que aparentan ser datos bastante incompletos. El muestreo comprimido nos muestra como la compresión de los datos puede ser implícitamente incorporada en el proceso de adquisición de datos, dándonos un nuevo punto de partida para un diverso cúmulo de aplicaciones, incluyendo imágenes tomográficas, conversiones analógico-digitales y fotografía digital.

En líneas generales se establece que un vector disperso  $x_0 \in \mathbb{R}^N$  puede ser recuperado de un pequeño número de medidas lineales  $A$  usando  $b = Ax_0 \in \mathbb{R}^K, K \ll N$  (o  $b = Ax_0 + e$  cuando hay ruido remanente) resolviéndolo como un problema convexo.

Según [1] nuestro problema de interés se establece como:

- Min-L1 con restricciones de igualdad (equality constraints):

$$\min \|x\|_1 \quad \text{sujeto a} \quad Ax = b, \quad 40$$

También conocido como “basis pursuit” o búsqueda fundamental, el cual busca el vector con la norma L1 más pequeña que exprese las observaciones en  $b$ . La norma L1 se expresa simplemente como la suma de los valores absolutos de las columnas:

$$\|x\|_1 := \sum_i |x_i| \quad 41$$

Según [33] [34] se establece que, si una solución suficientemente dispersa (sparse) de  $x_0$  tal que  $Ax_0 = b$  existe. Entonces el problema planteado en la ec.40 será capaz de encontrarla.

La norma L1 es un método de optimización en el cual se plantea resolver sistemas de ecuaciones distintos a los métodos usados convencionalmente, usando algoritmos convexos, logran resolver sistemas de una manera distinta. Un ejemplo claro de esto es expresado en el siguiente problema:

-Hallar dos números cuyo promedio es 3:

El problema puede ser planteado como un sistema de ecuaciones de la siguiente manera:

$$A = \begin{bmatrix} 1 & 1 \\ 2 & 2 \end{bmatrix}, b = 3$$

Por tanto:

$$Ax = b$$

Donde  $x$  será el vector que satisface la ecuación. Donde, si hallamos la solución de norma mínima tenemos:

$$x = \begin{bmatrix} x_1 \\ x_2 \end{bmatrix} = \begin{bmatrix} 3 \\ 3 \end{bmatrix}$$

Sin embargo los valores de  $x$  pueden tomar otras soluciones que satisfacen el problema en este caso:

$$x = \begin{bmatrix} x_1 \\ x_2 \end{bmatrix} = \begin{bmatrix} 6 \\ 0 \end{bmatrix}$$

Ambas soluciones son válidas sin embargo en una de ellas una de sus componentes es 0.

El uso de esta técnica proviene de la restauración de imágenes, en donde se obtiene una señal con millones de valores de píxeles, el trabajo es re-generar esa señal a la original, donde tendríamos que comprimir la muestra  $b$  y resolver  $Ax=b$ . Hay un gran número de soluciones posibles, las bases para escoger la correcta involucra a la norma L1 expresada en la ec.41.

La clave para el comprimir estas señales viene de los elementos dispersos de la norma L1. Si la expansión de la imagen original o señal como una combinación de las funciones bases tiene muchos coeficientes 0, entonces es posible reconstruir la señal exacta. En principio, computar esta reconstrucción debería involucrar un gran conjunto de valores lo que lo hace un problema de combinatoria de números cuya complejidad computacional es impráctica. (Es NP-hard). Afortunadamente, mediante la norma L1 se puede resolver este problema ya que su implementación puede ser puesta como un problema de programación lineal y resuelto con el método del punto interior.

Para resolver estos tipos de problema existen a día de hoy diferentes métodos sin embargo de los que se van a hablar en este trabajo estarán basados en el método del punto interior para optimización convexa expuestos en [1].

### 3.11 Método del punto interior (Interior point methods):

Avances en los métodos del punto interior para optimización convexa en los últimos años, dirigidos por el trabajo expuesto en [35] han logrado crear integradores para estos tipos de problemas de manera factible.

#### 3.11.1 Algoritmo primal-dual para programación lineal.

En el capítulo 11 de [36], se establece un algoritmo primal-dual relativamente simple para programación lineal el cual, se ha seguido muy de cerca en [1] para su implementación.

La forma estándar de programación lineal es:

$$\min_z \langle c_0, z \rangle \quad \text{suje}to \quad a \quad \begin{cases} A_0 z = b \\ f_i(z) \leq 0 \end{cases} \quad 42$$

Donde el vector de búsqueda  $z \in \mathbb{R}^N$ ,  $b \in \mathbb{R}^K$ ,  $A_0$  es una matriz de  $K \times N$  y cada una de las  $f_i, i = 1, \dots, m$  es un funcional lineal:

$$f_i(z) = \langle c_i, z \rangle + d_i \quad 43$$

Para algunos  $c_i \in \mathbb{R}^N, d_i \in \mathbb{R}$ . En el punto óptimo  $z^*$ , Existiran vectores duales  $v^* \in \mathbb{R}^K, \lambda^* \in \mathbb{R}^m, \lambda^* \geq 0$  tal que las condiciones de Karush-Kuhn-Tucker [37] sean satisfechas:

$$(KKT) \quad c_0 + A_0^T v^* + \sum_i \lambda_i^* c_i = 0, \quad 44$$

$$\lambda_i^* f_i(z^*) = 0, i = 1, \dots, m, \quad 45$$

$$A_0 z^* = b, \quad 46$$

$$f_i(z^*) \leq 0, i = 1, \dots, m, \quad 47$$

En resumen, el algoritmo primal-dual encuentra el óptimo de  $z^*$  (junto con los vectores óptimos duales  $v^*$  y  $\lambda^*$ ) al resolver este sistema de ecuaciones no lineales. El procedimiento de solución es el método clásico de Newton: el

método del punto interior  $(z^k, v^k, \lambda^k)$  (para el cual se establece  $f_i(z^k) < 0, \lambda^k > 0$ ), el sistema es linealizado y resuelto. Sin embargo el paso para un nuevo punto  $(z^{k+1}, v^{k+1}, \lambda^{k+1})$  debe ser modificado para que se mantenga en el interior de la solución.

En la práctica, se suele relajar las condiciones de holgura complementaria  $\lambda_i f_i = 0$  a:

$$\lambda_i^k f_i(z^k) = -1/\tau^k, \quad 48$$

En donde juiciosamente se incrementa el parámetro  $\tau^k$  a medida que se va avanzando a través de las iteraciones de Newton. Esto condiciona la solución de ecuaciones linealizadas hacia el interior permitiendo un suave y bien definido “camino central” desde un punto interior para la solución en el contorno.

Los residuos de las condiciones primarias duales y centrales cuantifican que tan cerca está un punto  $(z, v, \lambda)$  de satisfacer las condiciones de Karun-Kush-Tucker. Con la ec.48 en el lugar de la condiciones de holgura:

$$r_{dual} = c_0 + A_0^T v + \sum_i \lambda_i c_i \quad 49$$

$$r_{cent} = -\Lambda f - (1/\tau)1 \quad 50$$

$$r_{pri} = A_0 z - b \quad 51$$

Donde  $\Lambda$  es una matriz diagonal con  $(\Lambda)_{ii} = \lambda_i$ , y  $f = (f_1(z) \dots f_m(z))^T$ .

Desde un punto  $(z, v, \lambda)$ , se busca encontrar un paso  $(\Delta z, \Delta v, \Delta \lambda)$  tal que:

$$r_\tau(z + \Delta z, v + \Delta v, \lambda + \Delta \lambda) = 0 \quad 52$$

Usando la expansión de Taylor alrededor de  $(z, v, \lambda)$ , tenemos:

$$r_\tau(z + \Delta z, v + \Delta v, \lambda + \Delta \lambda) \approx r_\tau(z, v, \lambda) + J_{r_\tau}(z, v, \lambda) \begin{pmatrix} \Delta z \\ \Delta v \\ \Delta \lambda \end{pmatrix} \quad 53$$

Donde  $J_{r_\tau}(z, v, \lambda)$  es el jacobiano de  $r_\tau$  por lo que tenemos el siguiente sistema:

$$\begin{pmatrix} 0 & A_0^T & C^T \\ -\Lambda C & 0 & -F \\ A_0 & 0 & 0 \end{pmatrix} \begin{pmatrix} \Delta z \\ \Delta v \\ \Delta \lambda \end{pmatrix} = - \begin{pmatrix} c_0 + A_0^T v + \sum_i \lambda_i c_i \\ -\Lambda f - (1/\tau)1 \\ A_0 z - b \end{pmatrix} \quad 54$$

Donde la matriz  $C$  de longitud  $m \times N$  tiene el vector  $c_i^T$  como columnas, y  $F$  es diagonal siendo  $(F)_{ii} = f_i(z)$ . Es posible obtener  $\Delta\lambda$  usando:

$$\Delta\lambda = -\Lambda F^{-1} C \Delta z - \lambda - (1/\tau) f^{-1} \quad 55$$

Por lo que el sistema nos queda como:

$$\begin{pmatrix} -C^T F^{-1} \Lambda C & A_0^T \\ A_0 & 0 \end{pmatrix} \begin{pmatrix} \Delta z \\ \Delta v \end{pmatrix} = \begin{pmatrix} -c_0 + (1/\tau) C^T f^{-1} - A_0^T v \\ b - A_0 z \end{pmatrix} \quad 56$$

Con  $(\Delta z, \Delta v, \Delta\lambda)$  tenemos la dirección del paso de solución. Sin embargo para escoger la longitud del paso  $0 < s \leq 1$  hay que preguntarse si se satisfacen dos criterios:

1. Si  $z + s\Delta z$  y  $\lambda + s\Delta\lambda$  están en el interior, por ejemplo  $f_i(z + s\Delta z) < 0, \lambda_i > 0$  para todo  $i$ .
2. Si la norma de los residuales han disminuido suficientemente cuando:

$$\|r_t(z + s\Delta z, v + s\Delta v, \lambda + s\Delta\lambda)\|_2 \leq \|(1 - \alpha s) \cdot r_t(z, v, \lambda)\|_2 \quad 57$$

Donde  $\alpha$  es un valor especificado por el usuario y se suele establecer como 0.01.

Por lo que se suele escoger el paso máximo que nos mantiene en el interior estableciendo:

$$I_f^+ = \{i: \langle c_i, \Delta z \rangle > 0\}, \quad I_\lambda^- = \{i: \Delta\lambda < 0\} \quad 58$$

Ajustando:

$$s_{max} = 0.99 \cdot \min \left\{ 1, \left\{ -f_i(z) / \langle c_i, \Delta z \rangle, i \in I_f^+ \right\}, \left\{ -\lambda_i / \Delta\lambda_i, i \in I_\lambda^- \right\} \right\} \quad 59$$

Por tanto comenzando con  $s = s_{max}$ , se revisa que los criterios anteriormente comentado se satisfagan; si este no es el caso, se ajusta  $s' = \beta \cdot s$  y se intenta nuevamente. Se tiene pre establecido el valor de  $\beta = 1/2$ .

Cuando el  $r_{dual}$  y  $r_{pri}$  son pequeños la brecha de la dualidad  $\eta = -f^T \lambda$  es una aproximación de que tan cerca de cierto punto  $(z, v, \lambda)$ , está de ser óptimo. El algoritmo primal-dual repite las iteraciones descritas anteriormente hasta que el valor de la brecha  $\eta$  haya disminuido hasta una tolerancia dada.

Cuando  $N$  y  $K$  son muy grandes, formar la matriz y luego resolver el sistema lineal de ecuaciones de la ec. 56. No es factible. Sin embargo, es posible usar integradores como el método de gradientes conjugados [38] [39]. El método de gradientes conjugados es iterativo requiriendo unos cientos aplicaciones de las matrices de restricciones (en términos generales) para obtener una solución

precisa. El integrador de gradientes conjugados usado en este trabajo viene de [1] basado en [38] [39].

En líneas generales, lo explicado anteriormente sirve como una breve introducción al cálculo de optimización convexa, sin embargo, el algoritmo aplicado para la resolución de la ec 40. Está basado en la explicación dada en el Anexo A de [1] donde se establece lo siguiente:

Partimos de:

$$\min \|x\|_1 \quad \text{sujeto a} \quad Ax = b,$$

Cuando  $x$ ,  $A$  y  $b$  son reales el problema puede ser replanteado como un problema de programación lineal de la siguiente manera:

$$\min_{x,u} \sum_i u_i \quad \text{sujeto a} \quad \begin{array}{l} x_i - u_i \leq 0 \\ -x_i - u_i \leq 0 \\ Ax = b \end{array} \quad 60$$

El cual puede ser resuelto usando el algoritmo estándar primal-dual explicado anteriormente por lo que denominamos:

$$f_{u1;i} := x_i - u_i \quad 61$$

$$f_{u2;i} := -x_i - u_i \quad 62$$

Con  $\lambda_{u1;i}, \lambda_{u2;i}$  las correspondientes variables duales y dejando que  $f_{u1}$  sea el vector  $(f_{u1;1} \dots f_{u1;N})^T$  y de misma manera para los vectores  $f_{u2}, \lambda_{u1}, \lambda_{u2}$ . Notar que:

$$\nabla f_{u1;i} = \begin{pmatrix} \delta_i \\ -\delta_i \end{pmatrix}, \nabla f_{u2;i} = \begin{pmatrix} -\delta_i \\ -\delta_i \end{pmatrix}, \nabla^2 f_{u1;i} = 0, \nabla^2 f_{u2;i} = 0 \quad 63$$

Donde  $\delta_i$  es el vector de base estándar para el componente  $i$ , por lo tanto en un punto  $(x, u; v, \lambda_{u1}, \lambda_{u2})$ . De este modo, los residuos centrales y duales son:

$$r_{cent} = \begin{pmatrix} -\Lambda_{u1} f_{u1} \\ -\Lambda_{u2} f_{u2} \end{pmatrix} - (1/\tau)1 \quad 64$$

$$r_{dual} = \begin{pmatrix} \lambda_{u1} - \lambda_{u2} + A^T v \\ 1 - \lambda_{u1} - \lambda_{u2} \end{pmatrix} \quad 65$$

Por tanto el sistema de ecuaciones queda de la siguiente manera:

$$\begin{pmatrix} \Sigma_1 & \Sigma_2 & A^T \\ \Sigma_2 & \Sigma_1 & 0 \\ A & 0 & 0 \end{pmatrix} \begin{pmatrix} \Delta x \\ \Delta u \\ \Delta v \end{pmatrix} = \begin{pmatrix} w_1 \\ w_2 \\ w_3 \end{pmatrix} := \begin{pmatrix} (-1/\tau) \cdot (-f_{u1}^{-1} + f_{u2}^{-1}) - A^T v \\ -1 - (1/\tau) \cdot (f_{u1}^{-1} + f_{u2}^{-1}) \\ b - Ax \end{pmatrix} \quad 66$$

Con:

$$\Sigma_1 = \Lambda_{u1} F_{u1}^{-1} - \Lambda_{u2} F_{u2}^{-1}, \quad \Sigma_2 = \Lambda_{u1} F_{u1}^{-1} + \Lambda_{u2} F_{u2}^{-1} \quad 67$$

F son matrices diagonales con  $(F_{\bullet})_{ii} = f_{\bullet,i}$ , y  $f_{\bullet,i}^{-1} = 1/f_{\bullet,i}$ . Estableciendo:

$$\Sigma_x = \Sigma_1 - \Sigma_2^2 \Sigma_1^{-1} \quad 68$$

Despejando:

$$\Delta x = \Sigma_x^{-1} (w_1 - \Sigma_2 \Sigma_1^{-1} w_2 - A^T \Delta v) \quad 69$$

$$\Delta u = \Sigma_1^{-1} (w_2 - \Sigma_2 \Delta x) \quad 70$$

Resolviendo:

$$-A \Sigma_x^{-1} A^T \Delta v = w_3 - A (\Sigma_x^{-1} w_1 - \Sigma_x^{-1} \Sigma_2 \Sigma_1^{-1} w_2) \quad 71$$

La ec. 71 es un sistema definido positivo de ecuaciones, el cual es resuelto por el método de los gradientes conjugados:

Para un dado  $(\Delta x, \Delta u, \Delta v)$  Por lo que el cambio en las variables duales es computado como:

$$\Delta \lambda_{u1} = \Lambda_{u1} F_{u1}^{-1} (-\Delta x + \Delta u) - \lambda_{u1} - (1/\tau) f_{u1}^{-1} \quad 72$$

$$\Delta \lambda_{u2} = \Lambda_{u2} F_{u2}^{-1} (\Delta x + \Delta u) - \lambda_{u2} - (1/\tau) f_{u2}^{-1} \quad 73$$

### 3.12 Método de los gradientes conjugados

El método del gradiente conjugado es un algoritmo que sirve para resolver numéricamente los sistemas de ecuaciones cuyas matrices son simétricas y definidas positivas. Es un método iterativo así que se puede aplicar a los sistemas dispersos que son demasiado grandes para ser tratados por métodos directos. Este método también es usado para minimizar funciones cuadráticas convexas, por lo que este método se hace adecuado para resolver nuestro problema.



En [38] y [39] se tiene una explicación más profunda y bastante detallada del método, sin embargo este puede ser resumido de la siguiente manera:

Dado los valores de entrada  $A$ ,  $b$ , un valor inicial de  $x$ , el máximo número de iteraciones  $i_{max}$ , una tolerancia del error cualquiera  $\varepsilon < 1$ :

---

**Algoritmo 5** : Gradientes conjugados

---

```

 $i \leftarrow 0$ 
 $r \leftarrow b - Ax$ 
 $d \leftarrow r$ 
 $\delta_{new} \leftarrow r^T r$ 
 $\delta_0 \leftarrow \delta_{new}$ 
While  $i < i_{max}$  and  $\delta_{new} > \varepsilon^2 \delta_0$  do
   $q \leftarrow Ad$ 
   $\alpha \leftarrow \frac{\delta_{new}}{d^T q}$ 
   $x \leftarrow x + \alpha d$ 
  If  $i$  es divisible por 50
     $r \leftarrow b - Ax$ 
  Else
     $r \leftarrow r - \alpha q$ 
     $\delta_{old} \leftarrow \delta_{new}$ 
     $\delta_{new} \leftarrow r^T r$ 
     $\beta \leftarrow \frac{\delta_{new}}{\delta_{old}}$ 
     $d \leftarrow r + \beta d$ 
   $i \leftarrow i + 1$ 

```

---

El algoritmo termina cuando el número máximo de iteraciones  $i_{max}$  han sido excedidas, o cuando  $\|r_{(i)}\| < \varepsilon \|r_{(0)}\|$ .

La fórmula recursiva rápida para el residuo es usualmente usada pero solo cada 50 iteraciones. El residuo exacto es recalculado para quitar errores de coma flotantes acumulados. Por supuesto, el numero 50 es arbitrario; para grandes iteraciones  $n, \sqrt{n}$ , puede ser más apropiado. Si la tolerancia es grande, el residuo no necesita ser corregido. Si la tolerancia está cercana a los límites de la precisión de los comas flotantes de la máquina, un ensayo debería, ser agregado después de que  $\delta$  es evaluado para revisar si  $\delta \leq \varepsilon^2 \delta_0$  y si este ensayo se mantiene como cierto, el residuo exacto debería ser recalculado y  $\delta$  reevaluado. Esto previene que el proceso termine antes debido a un error de coma flotante.

### 3.13 Aplicación de la norma L1 en la reducción de parámetros

Como hemos visto en apartados anteriores la norma L1 es usada en el contexto de transmisión y compresión de imágenes o señales, para así disminuir la información o datos a transmitir, perdiendo la menor calidad de la información posible en el proceso.

Esta misma teoría aplicada en el contexto de sistemas dinámicos es la que se presenta en este trabajo para reducir los parámetros de los modelos dinámicos, en el pasado se tendría que tener un conocimiento profundo del sistema o cuanto menos aplicar los algoritmos presentados en [2] para poder eliminar parámetros de manera eficiente. El problema presentado en este caso es el mismo:

“Para un modelo dinámico dado, con un conjunto de parámetros conocidos, se busca determinar el mínimo conjunto de parámetros del modelo que logre aproximar los datos del modelo, con una deseada precisión”.

Por lo que al igual que en [2] podremos partir de la ec 13:

$$W_{\varphi_R}(\mathcal{E})\varphi'_R = X(\mathcal{E}) \quad 74$$

Donde  $W(\mathcal{E})$  (como se ha establecido anteriormente) es la llamada matriz de observación para un conjunto de mediciones  $\mathcal{E}$ .  $\varphi'_R$  parámetros dinámicos del sistema a reducir.  $X(\mathcal{E})$  Representa el vector de fuerzas externas aplicadas.

Este sistema de ecuaciones puede ser visto de manera similar como el sistema de ecuaciones base a resolver para la norma L1:

$$W_{\varphi_R}(\mathcal{E})\varphi'_R = X(\mathcal{E}) \rightarrow Ax = b \quad 75$$

Donde A expresaría la matriz de observación  $W_{\varphi_R}$ , x expresaría el vector de parámetros a reducir  $\varphi'_R$  y b expresaría el vector de fuerzas exteriores  $X(\mathcal{E})$  para un estado  $\mathcal{E}$ . Por tanto la idea general es llevar el mismo principio visto anteriormente con la norma L1 y resolver el sistema de ecuaciones presentado mediante la norma L1, el cual plantea resolver un problema de optimización convexa que es expresado como:

$$\min\|x\|_1 \quad \text{sujeto a} \quad Ax = b, \quad 76$$

La intención con este método es hallar una solución dispersa en la cual muchos de los valores dentro de la matriz sean 0 o muy cercanos a 0, el algoritmo se resolverá con el método explicado en el apartado anterior, por tanto visto

desde otro punto de vista el método implícitamente valorará que parámetros son más importantes o menos importantes para el modelo y por tanto la solución obtenida en el modelo dará magnitudes muy altas para aquellos parámetros que son más importantes y magnitudes muy bajas para los menos importante por tanto en una primera impresión tendremos que el parámetro de mayor magnitud representará el parámetro con mayor importancia dentro del modelo, de igual forma los parámetros que sean más pequeños son los parámetros que se podrían quitar del modelo.

Por tanto, el orden en el cual tendremos que quitar los parámetros del sistema, será el orden de menor a mayor de los parámetros obtenidos como solución. El método de reducción de parámetros se puede resumir de la siguiente manera:

Partimos de:

$$W_{\varphi_R}(\varepsilon)\varphi'_R = X(\varepsilon); \quad 77$$

Resolvemos

$$\min \|\varphi'_{op}\|_1 \quad \text{sujeto a} \quad W_{\varphi_{op}}(\varepsilon)\varphi'_{op} - X(\varepsilon) = 0 \quad 78$$

Utilizamos la nomenclatura de  $\varphi'_{op}$  ya que la solución obtenida de este sistema no se corresponde a los parámetros reales, el punto de esto es sin más diferenciar el vector de parámetros del vector optimizado. Lo que procede ahora es ir quitando los parámetros  $\varphi'_R$  del modelo calculando el error en el orden obtenido por el vector de parámetros del vector optimizado  $\varphi'_{op}$  de la siguiente manera:

$$\varphi'_s = \min \|\varphi'_{op}\| \quad 79$$

$\varphi'_s$  Es un valor que expresa el parámetro a quitar del sistema dinámico por tanto tenemos que:

$$\varphi'_R = \varphi'_R \setminus \varphi'_s \quad 80$$

Al quitar el parámetro hay que quitar la fila del vector de observaciones que está asociada al parámetro que se ha retirado en este caso por tanto la fila asociada a ese parámetro la denominaremos  $W_{\varphi_s}(\varepsilon)$  Por lo que:

$$W_{\varphi_N}(\varepsilon) = W_{\varphi_R}(\varepsilon) \setminus W_{\varphi_s}(\varepsilon) \quad 81$$

Por tanto, se tiene que volver a recalcular el error y para esto tenemos que volver a hallar el valor nuevo valor de  $\varphi'_R$  que haga que  $W_{\varphi_R}(\varepsilon)\varphi'_R = X(\varepsilon)$ ; para esto resolvemos:

$$\min \|\varphi'_N\|_2 \quad \text{sujeto a} \quad W_{\varphi_N}(\varepsilon)\varphi'_N - X(\varepsilon) = 0 \quad 82$$

Resolver este problema nos dará un nuevo vector de parámetros reducidos.

$$X(\varepsilon)_N = W_{\varphi_N}(\varepsilon)\varphi'_N \quad 83$$

Por tanto el error cometido al retirar un parámetro del modelo es calculado de la siguiente manera:

$$\varepsilon = \frac{\|X(\varepsilon) - X(\varepsilon)_N\|}{\|X(\varepsilon)\|} \quad 84$$

A simple vista es posible ver que el método ofrece una manera bastante optima de retirar los parámetros del modelo dinámico, sin embargo, existen diversos factores que hacen que no lo sea, tales como la solución al problema presentado en la ec.78 como hemos visto en el apartado 3.11 la solución del problema convexo en si viene con un error implícito ya que, si nos fijamos en la tercera restricción de la ec.60 tenemos:

$$Ax = b$$

Si pensamos fríamente, hallar una solución exacta bajo la norma L1 podría ser una solución directa a nuestro problema, sin embargo esto no es más que una utopía ya que, hay 3 premisas a tomar en cuenta. La primera es que para dar con una solución exacta en un problema de optimización en ciertos casos terminan siendo difícil de hallar en un tiempo razonable por lo que es necesario recurrir a soluciones aproximadas, que a fin de cuentas es mejor que esperar hasta dar con una solución que puede ser casi igual de buena a la aproximada, para resolver nuestro problema estamos sujetos a las condiciones de Karush-Kuhn-Tucker, en las cuales se establece que un punto es óptimo si se satisfacen las siguientes condiciones:

$$(KKT) \quad c_0 + A_0^T v^* + \sum_i \lambda_i^* c_i = 0, \quad 85$$

$$\lambda_i^* f_i(z^*) = 0, i = 1, \dots, m, \quad 86$$

$$A_0 z^* = b, \quad 87$$

$$f_i(z^*) \leq 0, i = 1, \dots, m, \quad 88$$

Por lo que entre más cercano nos encontremos de esas condiciones más cercanos estaremos de una solución óptima o en otras palabras la solución a encontrar es cuasi-optima. La otra premisa importante a tomar en cuenta es el error que se comete debido a que se hacen simplificaciones o aproximaciones de valores que no son exactos antes de aplicar el método de optimización, tales como en la Ec. 53:

$$r_\tau(z + \Delta z, v + \Delta v, \lambda + \Delta \lambda) \approx r_\tau(z, v, \lambda) + J_{r_\tau}(z, v, \lambda) \begin{pmatrix} \Delta z \\ \Delta v \\ \Delta \lambda \end{pmatrix}$$

Donde usamos la expansión de Taylor para hallar una aproximación al paso que se tiene que hacer en la dirección de la solución. O en su defecto la solución por gradientes conjugados de la expresión  $Ax = b$ . Por lo que en el método general primal-dual existen 2 residuos a tomar en cuenta, ya que establecen que tan buena es la solución obtenida tales como el residuo del algoritmo primal dual (ec 49) y el residuo obtenido de la solución por gradientes conjugados (ec 51). Por último y no menos importante es posible que existan valores de parámetros fundamentales, que sin más su magnitud es pequeña pero es fundamental al modelo, que al retirar parámetros no distinguimos estos de los más importantes, simplemente se hace una distinción en magnitud dada por la norma L1.

Más adelante se presenta la implementación de la norma L1, para la reducción de parámetros en el contexto de la dinámica de sistemas multicuerpos.

### 3.14 Selección bajo la norma L1 Iterativo.

Como hemos podido lograr ver en el apartado anterior, el principio de la norma L1 para resolver problemas convexos, puede en la teoría, ser muy útil. Sin embargo y como veremos más adelante no es un método óptimo, comparado a los ya aplicados, llevando al desarrollo de otro método. Este método consiste en la aplicación de esta norma de manera recursiva mientras se van reduciendo los parámetros. Para ilustrarlo de una mejor manera partimos de:

$$W_{\varphi_R}(\varepsilon)\varphi'_R = X(\varepsilon); \quad 77$$

Resolvemos

$$\min \|\varphi'_{op}\|_1 \quad \text{sujeto a} \quad W_{\varphi_{op}}(\varepsilon)\varphi'_{op} - X(\varepsilon) = 0 \quad 78$$

A partir de este punto en donde seleccionamos el parámetro a retirar es donde el método cambia, en el apartado anterior tomábamos la solución de  $\varphi'_{op}$  se listaban y se iban retirando los parámetros del modelo según el orden obtenido al listar de menor a mayor el vector  $\varphi'_{op}$ , este orden iba retirando de  $\varphi'_R$  parámetro a parámetro hasta haberlos quitados todos, en este caso lo que se dispondrá a hacer es:

a) Resolver el problema inicial :

$$\min \|\varphi'_{op}\|_1 \quad \text{sujeto a} \quad W_{\varphi_{op}}(\varepsilon)\varphi'_{op} - X(\varepsilon) = 0 \quad 78$$

- b) Del vector obtenido  $\varphi'_{op}$  retirar el parámetro con el valor más pequeño en magnitud.

$$\varphi'_s = \min \|\varphi'_{op}\| \quad 79$$

- c) Volver a generar el sistema de ecuaciones retirando las filas asociadas a ese parámetro tal que:

$$\varphi'_R = \varphi'_R \setminus \varphi'_s \quad 80$$

$$W_{\varphi_N}(\varepsilon) = W_{\varphi_R}(\varepsilon) \setminus W_{\varphi_s}(\varepsilon) \quad 81$$

- d) Recalcular el vector de parámetros  $\varphi'_N$

$$\min \|\varphi'_N\|_2 \quad \text{sujeto a} \quad W_{\varphi_N}(\varepsilon)\varphi'_N - X(\varepsilon) = 0 \quad 82$$

- e) Recalcular el vector de fuerzas exteriores  $X(\varepsilon)_N$

$$X(\varepsilon)_N = W_{\varphi_N}(\varepsilon)\varphi'_N \quad 83$$

- f) Calculamos el error:

$$\varepsilon = \frac{\|X(\varepsilon) - X(\varepsilon)_N\|}{\|X(\varepsilon)\|} \quad 84$$

- g) En este punto se plantea un nuevo sistema de ecuaciones, esta vez con el sistema reducido que puede ser expresado como:

$$W_{\varphi_N}(\varepsilon)\varphi'_N = X(\varepsilon)_N; \quad 89$$

- h) Este sistema de ecuaciones es resuelto nuevamente bajo la norma L1 teniendo:

$$\min \|\varphi'_N\|_1 \quad \text{sujeto a} \quad W_{\varphi_N}(\varepsilon)\varphi'_N - X(\varepsilon)_N = 0 \quad 90$$

- i) En este punto se retira el parámetro con el valor más pequeño en magnitud del vector

$$\varphi'_s = \min \|\varphi'_N\| \quad 91$$

Y se vuelven a aplicar las operaciones de la c a la i hasta retirar todos los parámetros.

En este método se tienen de alguna manera casi las mismas desventajas que en el apartado anterior. Sin embargo, estas han sido disminuidas debido a que el orden en el que se retiran los parámetros es alterado. De manera que antes de quitar alguno, revisamos que tan importante es este para el modelo mediante la aplicación continua de la norma L1. Por tanto, de una manera más óptima se van retirando los parámetros del modelo dinámico. El aplicar este método de reducción de parámetros ha ofrecido mejores resultados que en algunos casos (dependiendo del error a considerar) llegan a ser mejores que los métodos que se han llevado hasta ahora.

#### **4. Ejemplos y simulaciones:**

La alta o baja movilidad de un cuerpo en un sistema multicuerpo es definido como la posibilidad del cuerpo de exhibir grandes o pequeñas excursiones en su espacio de movimiento relativo respecto de otros cuerpos y con respecto del marco de inercial. Esto juega un rol importante en la relevancia de diferentes parámetros dinámicos. Por ejemplo en [40] se muestra que para cada grado de libertad perdido entre dos cuerpos arbitrarios, o entre un cuerpo arbitrario y su marco de inercia, el número de parámetros base del sistema puede ser reducido, por tanto, si algún movimiento relativo entre dos cuerpos o entre un cuerpo y el suelo tiene una amplitud pequeña, la relevancia de algunos parámetros en la dinámica puede ser pequeña. Por lo tanto, en estos casos, se espera obtener un modelo de parámetros reducidos preciso con un número de parámetros relativamente pequeños.

De allí la motivación en proponer ensayos para diferentes estrategias de reducción de parámetros en dos diferentes sistemas multicuerpo con diferentes tipos de movilidades características (alta o baja).

##### **4.1 Ejemplo de sistema multicuerpo con alta movilidad:**

Los 6 grados de libertad del manipulador PUMA560 en serie mostrado en la Figura 1, .PUMA Por sus siglas en ingles es definido como Programmable Universal Machine for Assembly (maquina programable universal para ensamblajes). Es un brazo robótico industrial desarrollado por Víctor Scheiman. Todos los diseños consisten en dos componentes principales: el brazo mecánico y el sistema de control. Estos son típicamente interconectados por uno o dos cables multiconductores. Cuando dos de los cables son usados uno lleva la potencia a los servomotores y frenos mientras que el segundo lleva la posición y el retorno para cada junta al sistema de control.

Estos robots son usados en la industria para diferentes actividades entre ellas el ensamblaje de partes, movimiento de material y soldadura. El modelo de Sistema multicuerpo desarrollado para este robot puede ser usado no solo para su diseño, en el cual se puede conocer las cargas que sufrirán cada uno de los componentes, sino también puede ser utilizado para su control. En este caso las

estrategias de control basado en modelo requieren de este, por ejemplo, las fuerzas que habrán de ejercer los actuadores para seguir una trayectoria deseada. Este cálculo debe ser realizado miles de veces por segundo. De ahí la necesidad de modelos precisos pero suficientemente sencillos para que puedan ejecutarse a la frecuencia deseada.

Como veremos más adelante el Sistema Multicuerpo está constituido con alrededor 60 parámetros. El cálculo de las trayectorias y fuerzas resultantes de los modelos de simulación toman tiempo. Estos son hechos en base a los sensores de retornos recibidos por la máquina y las órdenes de trabajo. Por tanto, el tiempo de respuesta para su diseño y control tiene que ser muy bajo.

Es muy claro el interés de aumentar este tiempo de respuesta, por tanto tener modelos equivalentes que lleven a un aumento en este tiempo de respuesta se expresará como un posible aumento en la producción. Hay que tener en cuenta que estos modelos “equivalentes”, que son más rápidos, son menos precisos. Por tanto hay que tener un compromiso entre el modelo reducido, el aumento en la velocidad de cálculo y la precisión.

Un claro ejemplo de un sistema multicuerpo de alta movilidad es el PUMA. Los parámetros cinemáticos modificados de Denavit-Hartenberg [41], las coordenadas, y el conjunto de parámetros de inercia usados para definir el modelo, son tomados como referencia de [42], estos son mostrados en las tablas 1 y 2 respectivamente tal como en [2].



Figura 1 Ejemplo de alta movilidad: Izq.) Sistema Actual, Der.) Modelo CAD

El Principio de las Potencias Virtuales ha sido utilizado para obtener las ecuaciones dinámicas. Como coordenadas juntas/relativas son usadas para el modelado, no se requieren ecuaciones de restricción ni multiplicadores de Lagrange. La librería simbólica en [43] ha sido usada para obtener las funciones



de IDM (Inverse Dynamic Model) y DDM (Direct Dynamic Model),  $\mathbf{d}_z(\mathbf{z}, \dot{\mathbf{z}}, \ddot{\mathbf{z}}, \boldsymbol{\varphi}_R)$  y  $[\mathbf{M}_{ZZ}|\boldsymbol{\delta}_z](\mathbf{z}, \dot{\mathbf{z}}, \boldsymbol{\varphi}_R)$ , respectivamente. Esta librería minimiza fuertemente el número de operaciones algebraicas usadas en algoritmos compatibles con formulaciones recursivas de tipo  $O(n^3)$ , con un desempeño que está a la par con formulaciones de vanguardia. De esta manera, las simplificaciones reportadas son realizadas sobre modelos cuasi-óptimos. Esto asegura un reporte justo de la complejidad computacional de los modelos reducidos, los cuales son dados en términos de números de operaciones.

Los valores de Torques nominales para los actuadores  $nom(\tau_z) = [350,300,125,8,3,1] Nm$ , son usados para definir la predicción del error normalizada para IDM,

Tabla 1 Parámetros modificados de Denavit-Hartenberg para el PUMA560

Body	$a_i$	$\alpha_i$	$d_i$	$\theta_i$
Units	m	rad	m	rad
1	0	0	0	$z_1$
2	0	$-\pi/2$	0	$z_2$
3	0.4318	0	-0.1491	$z_3$
4	-0.0203	$\pi/2$	-0.4318	$z_4$
5	0	$-\pi/2$	0	$z_5$
6	0	$\pi/2$	0	$z_6$

Tabla 2 Parámetros dinámicos para el PUMA560

Body	m	dx	dy	dz	lxx	lxy	lxz	lyy	lyz	lzz
Unit	kg	kg m	kg m	kg m	kg m <sup>2</sup>	kg m <sup>2</sup>	kg m <sup>2</sup>	kg m <sup>2</sup>	kg m <sup>2</sup>	kg m <sup>2</sup>
1	10.52	0.0	-0.568	0.0	1.643	0.0	0.0	0.509	0.0	1.643
2	15.78	2.206	0.2	2.353	0.841	0.2	-0.329	8.738	0.4	8.576
3	8.767	-0.003	-1.727	0.0	3.717	-0.001	0.002	0.301	0.002	3.717
4	1.052	0.03	0.06	-0.060	0.184	0.000	0.0	0.184	0.000	0.127
5	1.052	0.004	-0.007	0.005	0.074	0.000	0.000	0.074	0.000	0.127
6	0.351	0.01	0.02	0.013	0.008	0.000	0.002	0.008	0.000	0.014

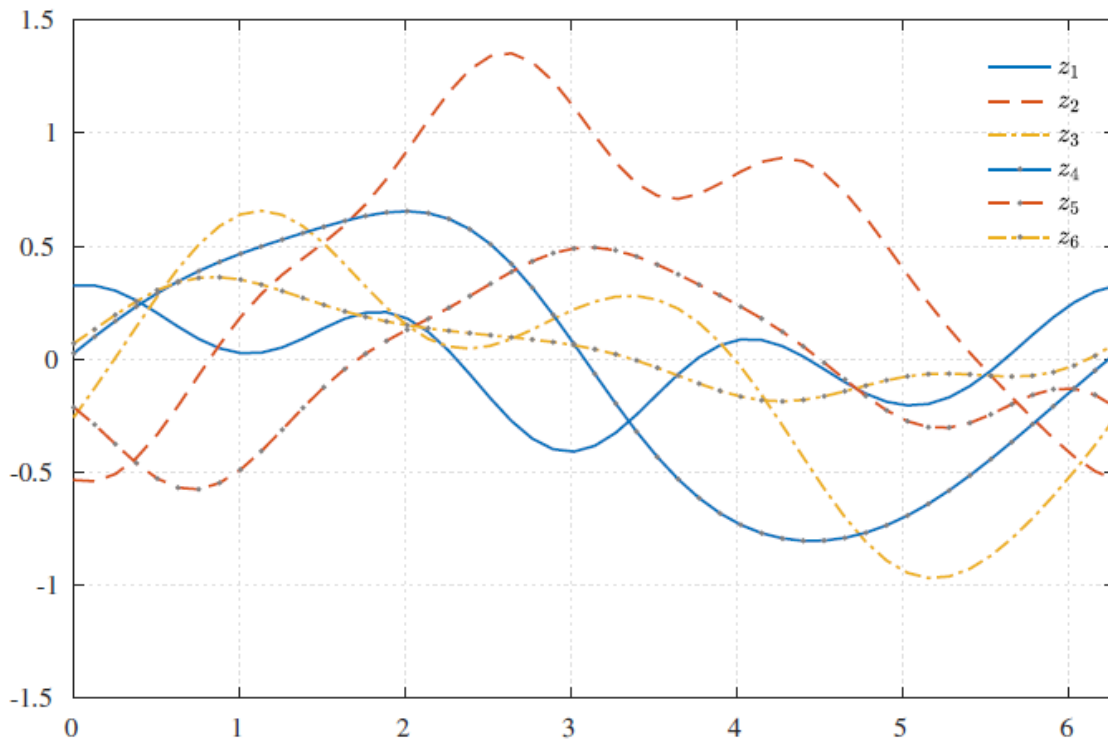
#### 4.1.1 Trayectorias de estimación:

El número condicionado de una matriz es una propiedad que representa la relación que hay entre el valor singular más grande de la matriz con respecto al valor singular más pequeño [44]. El número condicionado de la matriz de observación  $k(W(\mathcal{E}))^2$  ha sido utilizado como función objetivo para la optimización de las trayectorias. Las coordenadas independientes del robot,  $z_1, \dots, z_6$ , han sido parametrizadas usando una serie finita de Fourier, como se propone en [45]. Un total de 100 puntos de muestras iguales cubriendo un periodo completo son extraídos de cada trayectoria optimizada. Para obtener un conjunto de muestras características que exciten suficientemente el sistema, sobre unas condiciones de optimización definida, los datos muestreados de 10

diferentes trayectorias de optimización son usados para la optimización. La función *fmincon* de MATLAB Optimization Toolbox ha sido empleada para realizar la optimización actual. Los ángulos de rotación y los rangos de velocidad angular de los actuadores han sido limitados usando restricciones lineales de desigualdades. Por referencia, los detalles de las trayectorias de optimización son resumidas en la tabla 3. Para dar una idea gráfica, una de las trayectorias optimizadas es mostrada en la figura 2.

**Tabla 3 EAM: definición de trayectorias de excitación.**

Criterio de optimización	Numero de cond.
# Juntas actuadoras	6
# Armónicos	4
# Parámetros de trayectoria	54
# Puntos de muestra por trayectoria.	100
# Restricciones de desigualdades lineales	2400
# Restricciones de desigualdades no-lineales	0
Periodo de trayectoria principal	$2\pi$ s
$Z_{min}$	$-\pi/2$ rad
$Z_{max}$	$\pi/2$ rad
$\dot{Z}_{min}$	-1.45 rad/s
$\dot{Z}_{max}$	1.45 rad/s
# Trayectorias estimada	10
# Trayectorias validadas	1



**Figura 2** Ejemplo de la trayectoria característica ( $\mathcal{V}$ ). El tiempo en (s) es mostrado en el eje X

#### 4.1.2 Desempeño de los modelos de reducción de parámetros:

Para medir el desempeño obtenido con los algoritmos propuestos en este trabajo, empezaremos con graficar el tanto el desempeño de los algoritmos propuestos en [2] como los algoritmos desarrollados en este trabajo, usando en cada uno en el mismo contexto en este caso en el PUMA560. (Sistema Multicuerpo de alta movilidad).

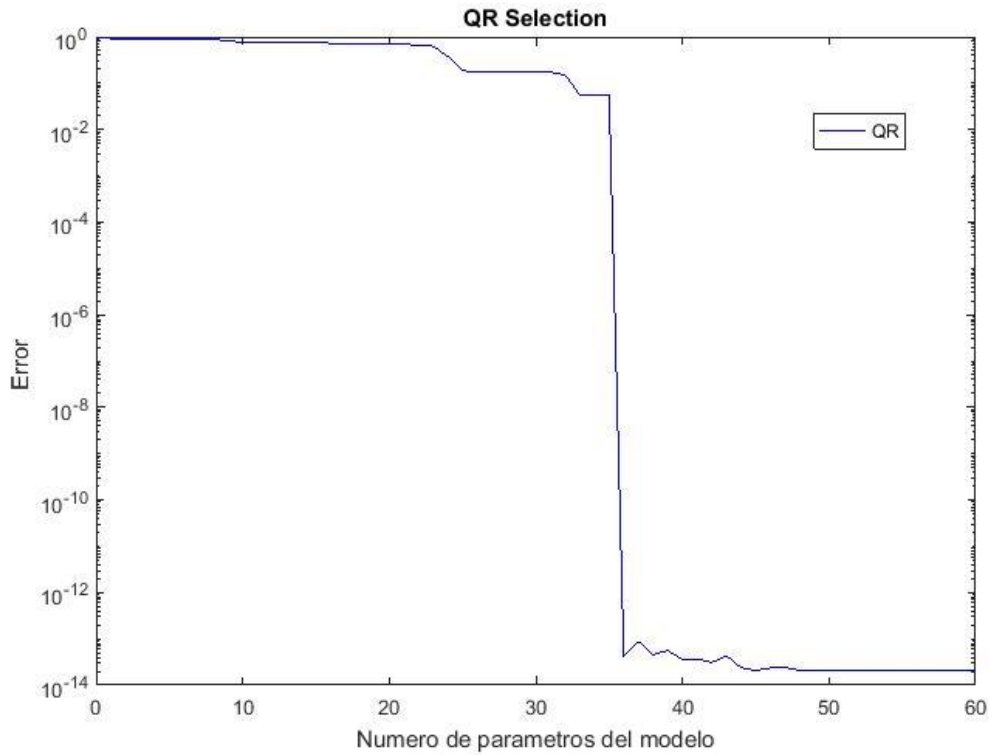


Figura 3 PUMA560: QR selection Error, vs nº de parámetros

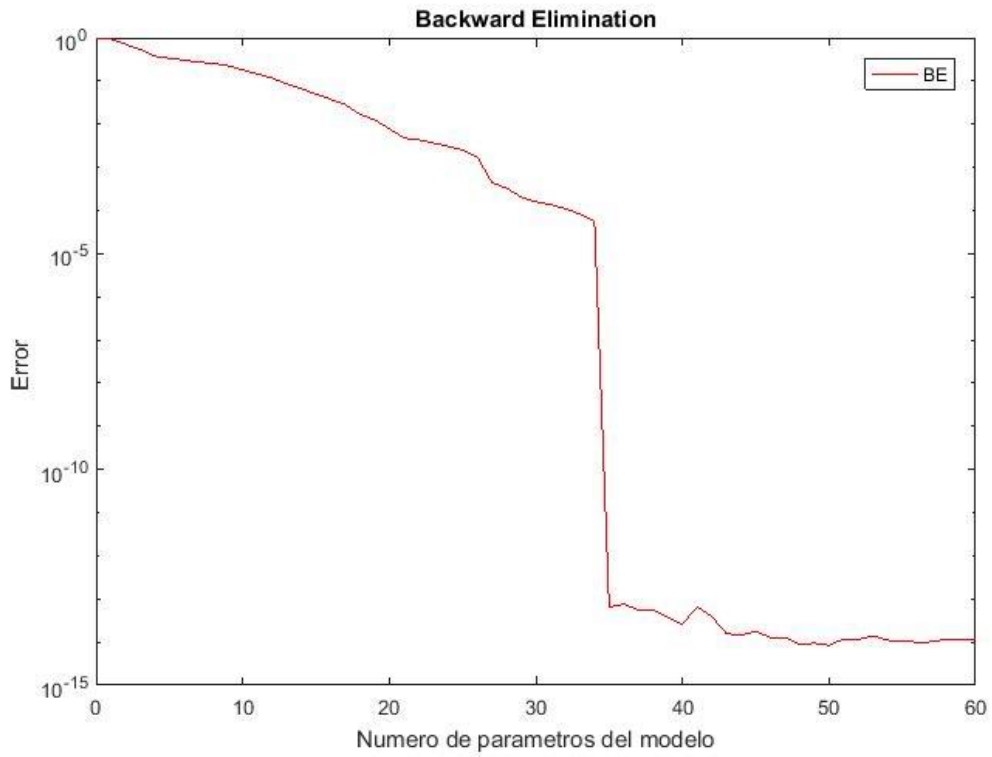


Figura 4 PUMA560: Backward Elimination, Error vs nº de parámetros

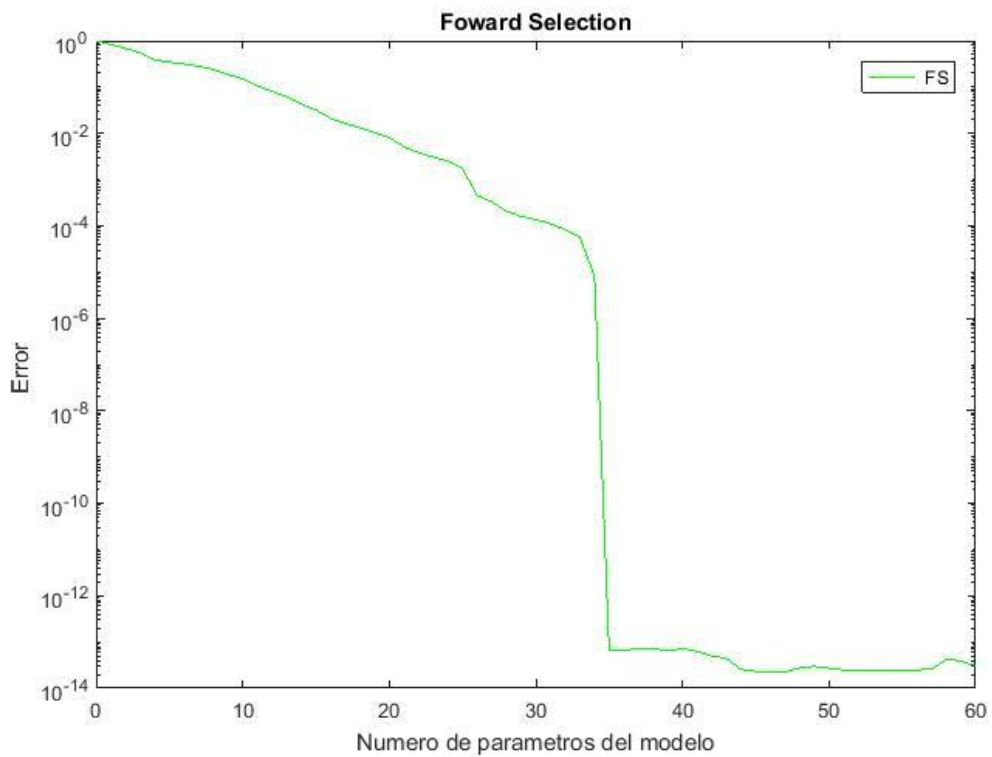


Figura 5 PUMA560: Foward Selection, Error vs nº de parámetros

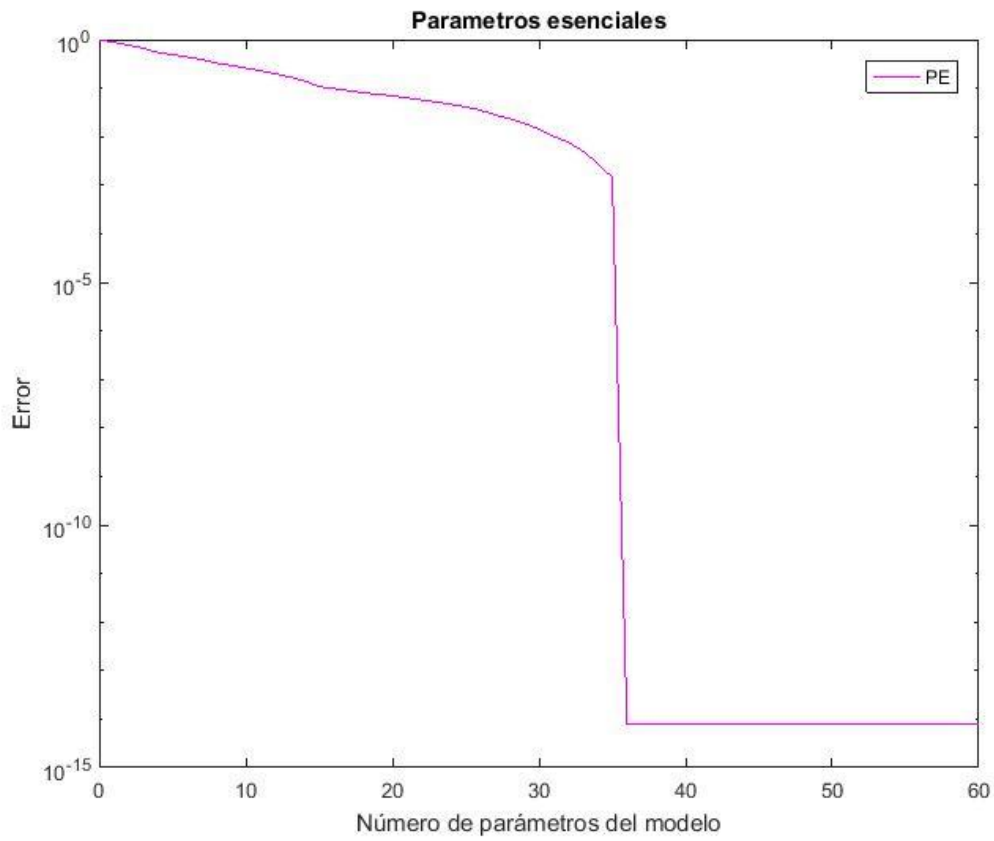


Figura 6 PUMA560: Parámetros Esenciales, Error vs nº de parámetros

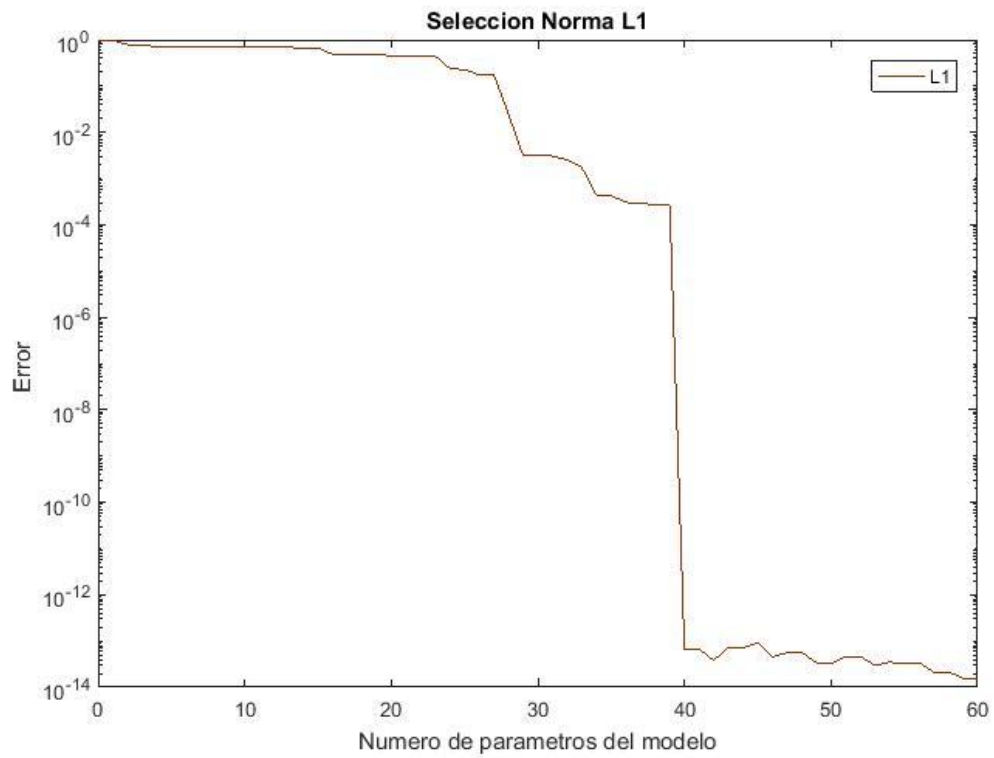


Figura 7 PUMA560: Selección Norma L1, Error vs nº de parámetros

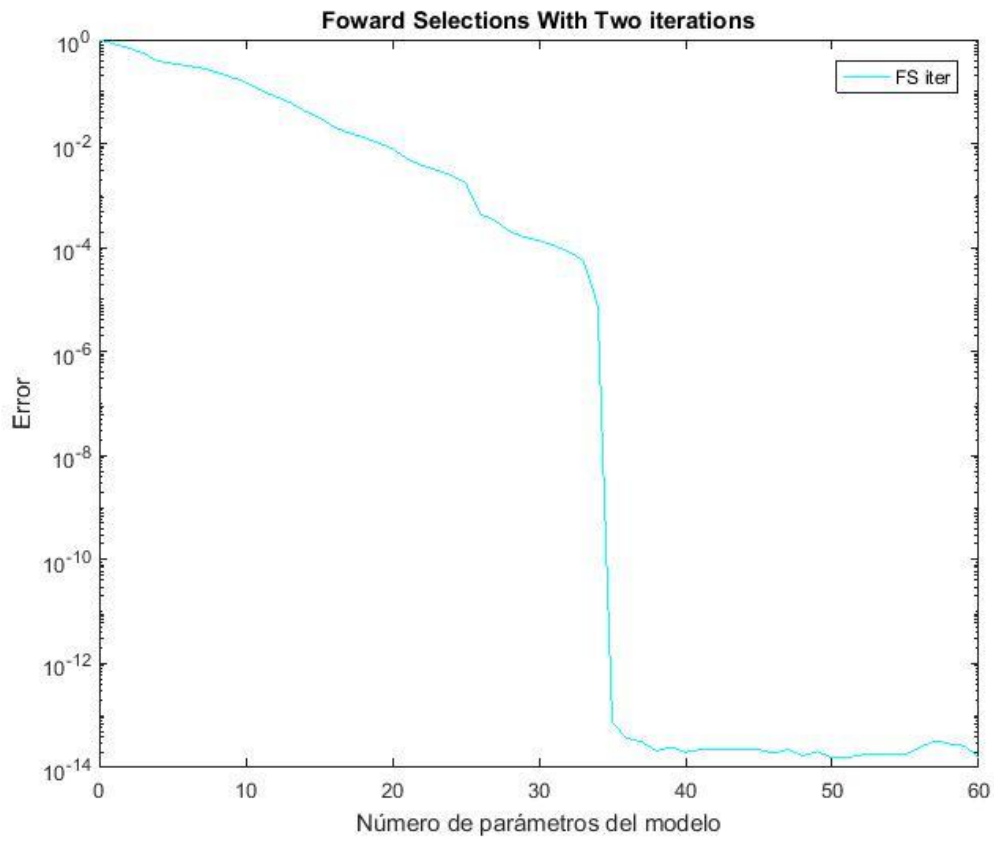


Figura 8 PUMA560: Foward Selection Iterativo, Error vs nº de parámetros

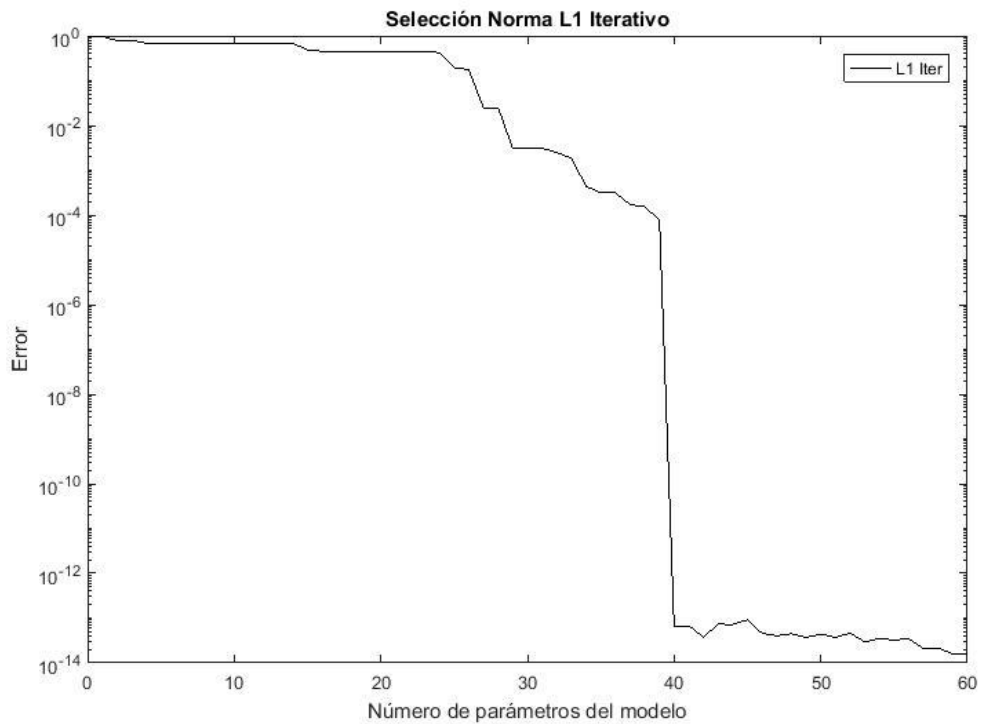


Figura 9 PUMA560: Selección Norma L1 Iterativo, Error vs nº de parámetros

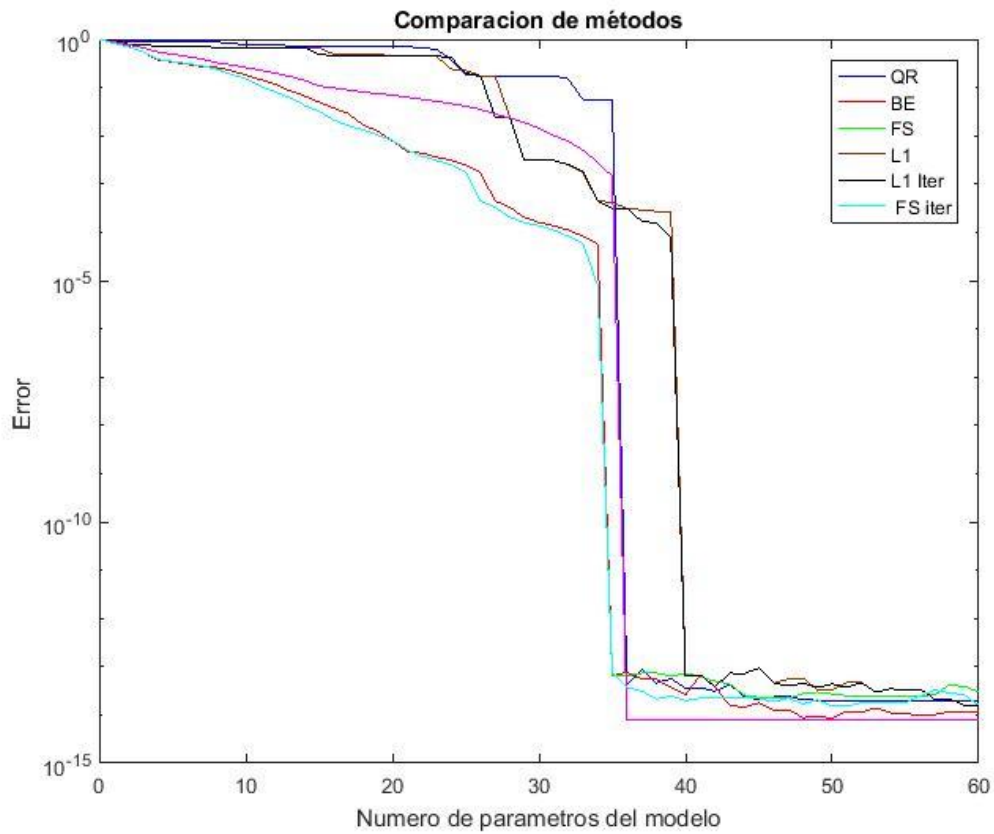


Figura 10 PUMA560: Comparativa de métodos, Error vs nº de parámetros

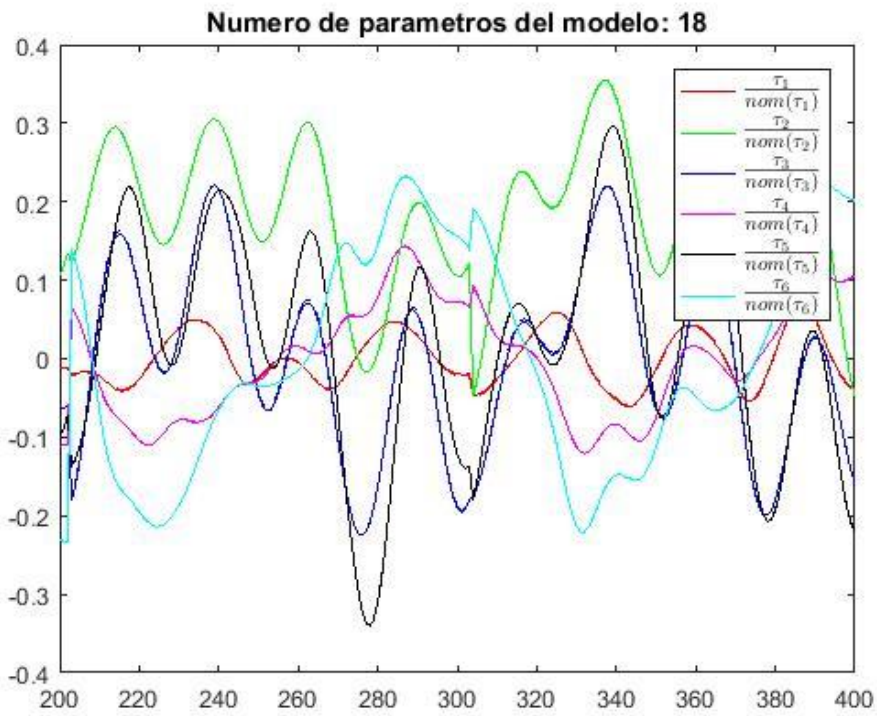


Figura 11 PUMA560: Modelo seleccionado (FS  $n_{\varphi_R} = 18$ )  $\frac{\tau_i(\varphi_R)}{nom(\tau_i)}$  (-) y  $\frac{\tau_i(\varphi)}{nom(\tau_i)}$  (- -) vs  $T(S)$

Tabla 4 PUMA560: Reordenación de parámetros por cada método.

Orden de importancia al modelo	Norma L1 iterativa	Norma L1	FS	BE	QR
1	lyy2	lzz2	m3	my3	my6
2	lzz2	lyy2	lzz5	m5	mx6
3	mx2	mx2	lzz3	lzz5	lxy6
4	lxx4	lzz1	my6	my6	lyz6
5	lyy4	lzz3	mx6	mx6	lxz6
6	lxx3	lxx3	mz6	mz5	lzz6
7	lzz3	lyy4	mx2	mz6	my5
8	lzz1	lxx4	my4	lyy5	mx5
9	my3	my3	lzz4	lxx5	lyy6
10	lyz2	lyz2	my3	lzz2	lxx6
11	lxz2	lxz2	lzz6	lzz6	lyz5
12	lxy2	my2	lxx3	lyy2	lxz5
13	my2	lxy2	lxz2	mz4	my4
14	lxx6	lyy5	mx4	mx4	lxy5
15	lyy5	lxx5	lyy4	mx3	mx4
16	lyy6	lxx6	mx5	lxx4	lxx5
17	my4	lyy6	mz3	mx5	lyz4
18	lxx5	lzz5	my2	lxx2	lxz4
19	lzz5	mx3	m4	lxz2	lyy5
20	lzz4	lzz4	lxx5	my2	lxy4
21	mx3	mz5	lyz2	lyz2	lyy4
22	mx4	my4	lxx2	lxy3	my3
23	mz5	mx4	lxy2	lxy2	mx3
24	lxy3	lxy3	lyz6	lzz3	mx2
25	mz6	my6	lxy6	lyz6	lzz4
26	my6	lzz6	lxz6	lxy6	my2
27	lzz6	my5	lxz5	lxz6	lxz3
28	mx6	mz6	lyz5	lxz5	lyz3
29	my5	mx6	lxy5	lyz5	lxy3
30	mx5	mx5	lyz4	lxy5	lxz2
31	lxz3	lyz3	lxz4	lyz4	lyz2
32	lyz3	lxz3	lxz3	lxz4	lzz1
33	lxy6	lyz6	lyz3	lxz3	lzz2
34	lxz6	lxy6	lxy4	lyz3	lxy2
35	lyz6	lxz6	mx3	lxy4	lzz3
36	lxz5	lxy5	m1	m2	lxx2
37	lxy4	lyz5	mx1	lyz1	lzz5
38	lxz4	lyz4	my1	lyy1	mz6
39	lxy5	lxy4	lyy6	lxz1	lyy3
40	lyz4	lxz4	lxy3	lxy1	mz5



Orden de importancia al modelo	Norma L1 iterativa	Norma L1	FS	BE	QR
41	lyz5	lxz5	lxx4	lxx1	mz4
42	m3	m3	lyy3	mz1	lxx4
43	m6	m6	lzz2	my1	m5
44	m5	m5	lyy2	mx1	m3
45	m4	m4	m5	lyy6	lyy2
46	mz4	mz4	mz4	lxx3	mz3
47	mz3	mz3	mz1	m1	lxx3
48	lxx2	m2	lxx6	mz2	m4
49	lyy3	m1	lyy5	my5	m6
50	mz2	mz2	lzz1	lzz1	lxz1
51	m2	lxx1	lxx1	mz3	m2
52	lyz1	lxx2	lxy1	m6	mx1
53	lyy1	lyy3	lxz1	mx2	m1
54	lxz1	my1	lyy1	lxx6	mz2
55	lxy1	lyy1	lyz1	m3	lyy1
56	lxx1	lyz1	m2	my4	my1
57	mz1	lxz1	mz2	lyy3	lxx1
58	my1	lxy1	mz5	lyy4	lyz1
59	mx1	mz1	my5	lzz4	mz1
60	m1	mx1	m6	m4	lxy1

Como es de notar en la tabla 4, los parámetros escogidos por el método de los parámetros esenciales y el método de FS iterativo no han sido obtenidos, debido a que no pueden ser usados para simplificar el modelo dinámico real de la misma manera que en los otros métodos. En este caso se tienen diferentes soluciones para un determinado número de parámetros, que pueden contener parámetros de otras soluciones. En el caso de los parámetros esenciales sus cálculos han sido sólo hechos para dar una idea de que tanto puede reducirse un modelo y establecer una línea de cota, sin embargo ha sido notable el hecho de que para este caso, muchos de los métodos aquí presentados, son mejores que este método que es, considerado estándar de facto en la reducción de modelos de la robótica industrial.

## 4.2 Ejemplo de sistema multicuerpo con baja movilidad

Las dificultades particulares del mecanismo de identificación paralela son muy conocidas. Por ejemplo en [46] los problemas asociados con la suspensión de un automóvil son analizados. Estos son frecuentemente relacionados con la presencia de lazos cerrados que limitan la movilidad de algunos cuerpos a una extensión significativa. En este estudio, el 6-PUS Hexaglide, mostrado en la

figura 11 es el seleccionado como el ejemplo de un sistema multicuerpo de baja movilidad (SMBM).

El Hexaglide, es definido como un robot paralelo, que se compone de dos plataformas interconectadas, en donde se provee movimiento relativo de una plataforma movable con respecto, a una plataforma base. Su uso en la industria, se encuentra más que todo en el fresado de alta velocidad de elementos, y piezas mecánicas. Debido a la alta velocidad requerida en estas maquinarias el control, y el diseño de los elementos que transmiten el movimiento, requieren modelos o simulaciones que puedan ser lo suficientemente rápidas.

Para los modelos de sistemas multicuerpos, que simulan estos componentes, ha de ser importante, el acelerar los cálculos de fuerzas y trayectorias, ya que esto se transmite en un aumento de la productividad en la industria. En este caso en particular el robot se compone de 70 parámetros. El reducir estos modelos mediante estos métodos, lleva igualmente que en el caso del PUMA, un compromiso entre, el número de parámetros y la precisión.

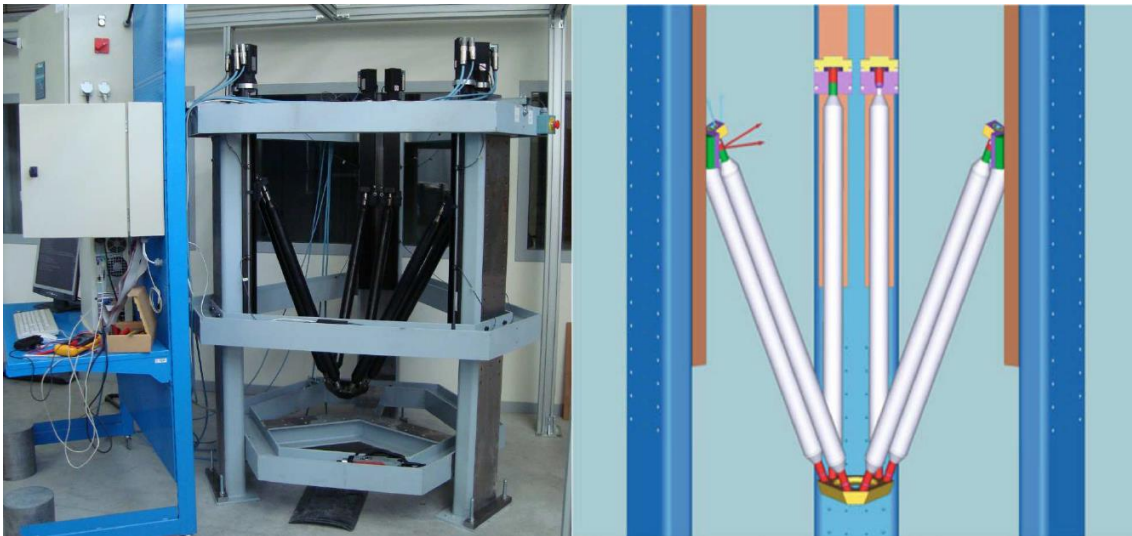


Figura 12 Hexaglide: Izq.) Prototipo, Der.) Modelo CAD

Un total de 24 coordenadas generalizadas,  $\mathbf{q}$ , son usadas para modelar el sistema: las alturas de las 6 guías,  $\mathbf{z} = [z_1, \dots, z_6]$ , son las coordenadas independientes, 2 rotaciones relativas de las juntas universales para cada uno de los 6 brazos, y 6 coordenadas absolutas para la cabeza (las coordenadas cartesianas del centro de la cabeza, y sus ángulos de Euler). Para propósitos de referencia, los parámetros cinemáticos del prototipo son mostrados en la tabla 5.

**Tabla 5 Parámetros cinemáticos del Hexaglide**

Longitud de barra	L	1.0000 m
Separación de guía lineal	e	0.1365 m
Separación de junta de cabezal	e	0.1365 m
Eje de simetría de la estructura a la junta U	R	0.4840 m
Eje de simetría de la cabeza a la junta S	r	0.0730 m
Simetría equilateral	$\alpha$	$2\pi/3$ rad

La naturaleza del sistema de lazo cerrado requiere forzar 18 restricciones (3 para cada junta en el cabezal), llevando a un total de 6 grados de libertad. Igual que en el caso anterior, el principio de las potencias virtuales ha sido usado para obtener las ecuaciones dinámicas. Los parámetros de inercia de las barras, referenciadas a las juntas U con los carros, y los de la cabeza, referenciada al centro de las juntas S, son dadas en la tabla 6.

**Tabla 6 Parámetros dinámicos del Hexaglide**

Body	m	dx	dy	dz	lxx	lxy	lyy	lxz	lzz	lyz
Unit	kg	kg m	kg m	kg m	kg m <sup>2</sup>	kg m <sup>2</sup>	kg m <sup>2</sup>	kg m <sup>2</sup>	kg m <sup>2</sup>	kg m <sup>2</sup>
Head	6.697	0.07	0.07	-0.238	0.0283	0.001	0.028	0.000	0.038	0.000
Bar	5.804	0.03	0.03	-1.469	1.044	0.000	1.044	0.014	0.002	0.014

Las restricciones requeridas son realizadas usando multiplicadores de Lagrange  $\lambda$ , llevando al siguiente conjunto de ecuaciones dinámicas:

$$d_q = M_{qq}\ddot{q} - \delta_q + \phi_q^T \lambda = \tau_q \quad 92$$

Donde  $\phi_q = \frac{\partial \phi}{\partial q}$  es el jacobiano de las ecuaciones de restricción geométricas. Esta ecuación puede ser reordenada como:

$$d_q = K_{q\phi}\phi + \phi_q^T \lambda = \tau_q \quad 93$$

El vector de coordenadas generalizadas es ordenado como  $q = [d^T, z^T]^T$ , Donde  $z$  es el conjunto de coordenadas independientes (coordenadas de los actuadores lineales). En consecuencia, las columnas jacobianas son ordenadas como  $\phi_q = [\phi_d, \phi_z]$ .

Ahora notar que:

$$R = \begin{bmatrix} -\phi_d^{-1}\phi_z \\ 1 \end{bmatrix} \quad 94$$

Es un complemento ortogonal de  $\phi_q$ ,  $\phi_q R = 0$ , multiplicando, ec. 89 y ec.88 Por  $R^T$  y sustituyendo tenemos:

$$\ddot{q} = R\ddot{z} + \begin{bmatrix} \phi_d^{-1}\gamma \\ 0 \end{bmatrix} \quad 95$$

Donde  $\gamma = \phi_q \ddot{q} - \ddot{\phi}$ , en la ec 88, estas ecuaciones toman la forma de las ecs. 3 y 5. Llevando a la formulación en coordenadas independientes de las funciones dinámicas escogidas para describir los algoritmos.

$$d_z = R^T d_q \quad 96$$

$$M_{zz} = R^T M_{qq} R \quad 97$$

$$\delta_z = R^T \left( \delta_q - \begin{bmatrix} \phi_d^{-1}\gamma \\ 0 \end{bmatrix} \right) \quad 98$$

$$K_{z\varphi} = R^T K_{q\varphi} \quad 99$$

$$\tau_z = R^T \tau_q \quad 100$$

El estado,  $(q, \dot{q})$  es determinado como una función de coordenadas independientes y velocidades  $(z, \dot{z})$ , haciendo uso de las ecuaciones de restricción al nivel de posición y velocidad. Como en los ejemplos previos la librería simbólica en [43] ha sido usada para obtener las ecuaciones.

Como el procedimiento de reducción de parámetros no afecta el modelo cinemático y por lo tanto el cálculo de  $\mathbf{R}$ , en [2] propone mostrar la complejidad computacional de los modelos de parámetros reducidos de este ejemplo, en términos del número de operaciones requeridas para computar  $d_q(q, \dot{q}, \ddot{q}, \varphi_R)$  y  $[M_{qq} | \delta_q](q, \dot{q}, \ddot{q}, \varphi_R)$ . Estas son matrices directamente exportadas por la librería simbólica.

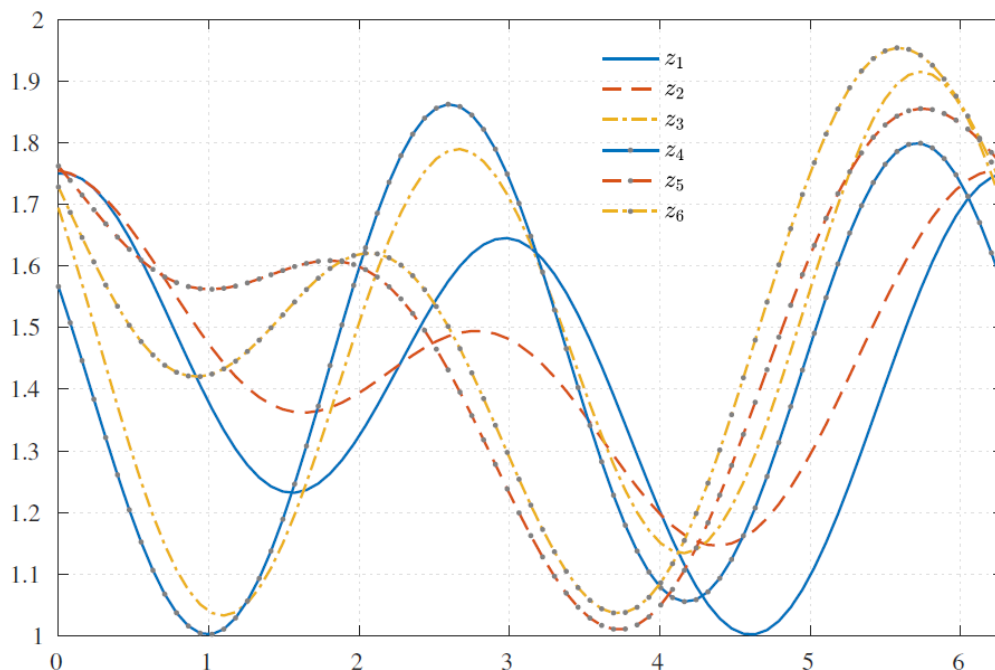
Las fuerzas nominales de los actuadores  $nom(\tau_z) = 1.7 \frac{2\pi}{10^{-2}} [1,1,1,1,1,1] N$  son usadas para definir el error de predicción normalizado  $\epsilon_\tau$ ,

Las trayectorias son obtenidas utilizando el mismo procedimiento que en el ejemplo anterior. Las 6 coordenadas independientes  $z_1, \dots, z_6$  han sido parametrizadas usando series finitas de Fourier. En este caso el conjunto de muestras características usa datos de 25 diferentes trayectorias optimizadas. Para cada trayectoria 400 puntos de muestras son extraídos. Para propósitos de referencia, los detalles de la disposición de optimización de trayectoria fueron resumidos en la siguiente tabla:

**Tabla 7 Parámetros dinámicos del Hexaglide**

<b>Criterio de optimización</b>	<b>Numero de cond.</b>
# Juntas actuantes	6
# Armónicos	2
# Parámetros de trayectoria	30
# Puntos de muestra por trayectoria	400
# Restricciones de desigualdades lineales	2400
# Restricciones de desigualdades no-lineales	700
Periodo de trayectoria principal	$2\pi$ s
$Z_{min}$	1 m
$Z_{max}$	2 m
$\dot{Z}_{min}$	-1.00 m/s
$\dot{Z}_{max}$	1.00 m/s
# Trayectorias estimadas	25
# Trayectorias Validadas	1

Para dar una idea gráfica, una de las trayectorias optimizadas es mostrada en la siguiente figura:



**Figura 13 Ejemplo de la trayectoria característica ( $\mathcal{V}$ ). El tiempo en (s) es mostrado en el eje X**

#### 4.2.1 Desempeño de los modelos de reducción de parámetros:

Tal y como se hizo en su apartado homólogo (PUMA560) en este apartado se grafica el desempeño de, tanto los algoritmos propuestos en [2], como los algoritmos desarrollados en este trabajo, cada uno siendo aplicado en el mismo contexto en este caso en el Hexaglide. (Sistema Multicuerpo de Baja movilidad).

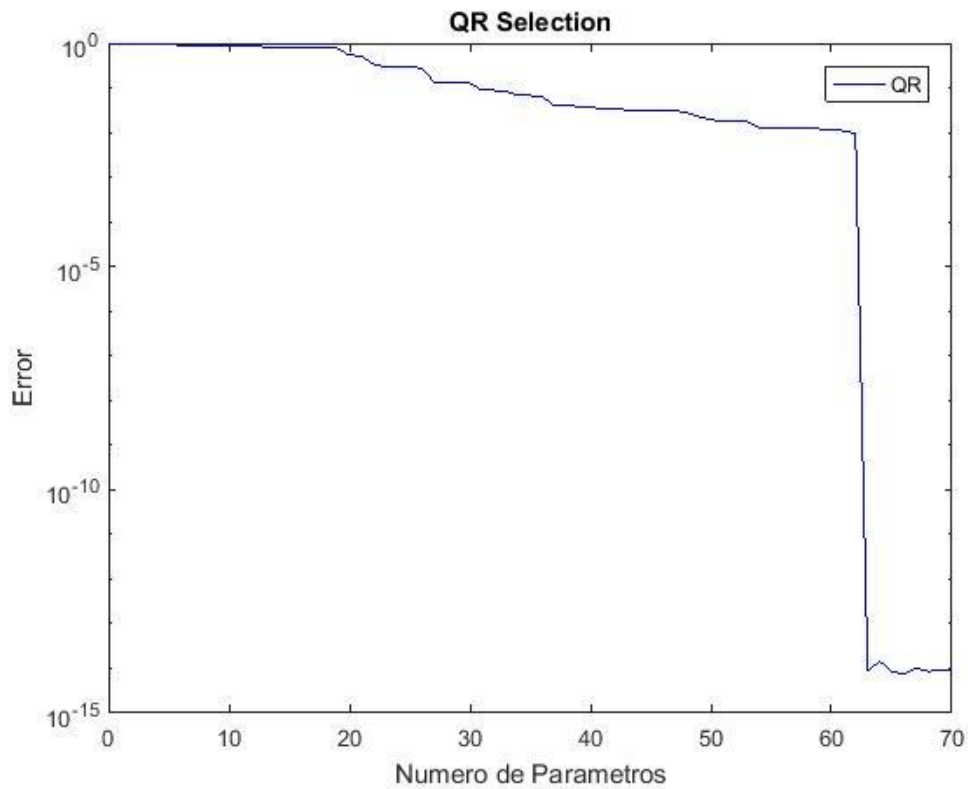


Figura 14 Hexaglide: QR selection Error, vs nº de parámetros

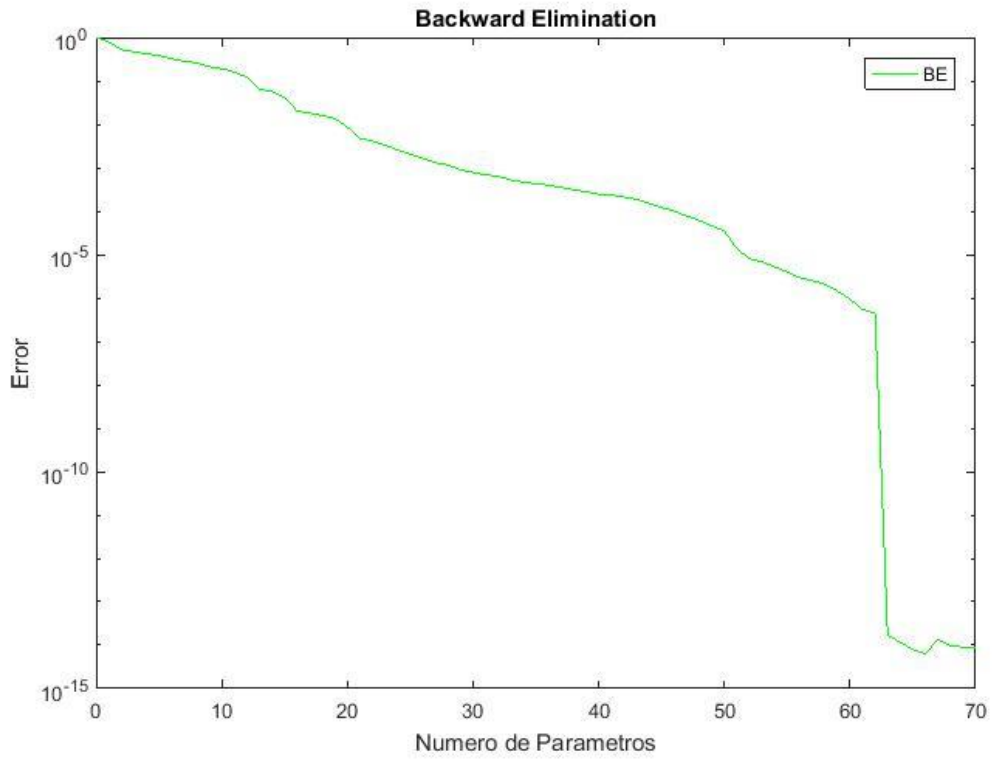


Figura 15 Hexaglide: Backward Elimination, Error, vs nº de parámetros

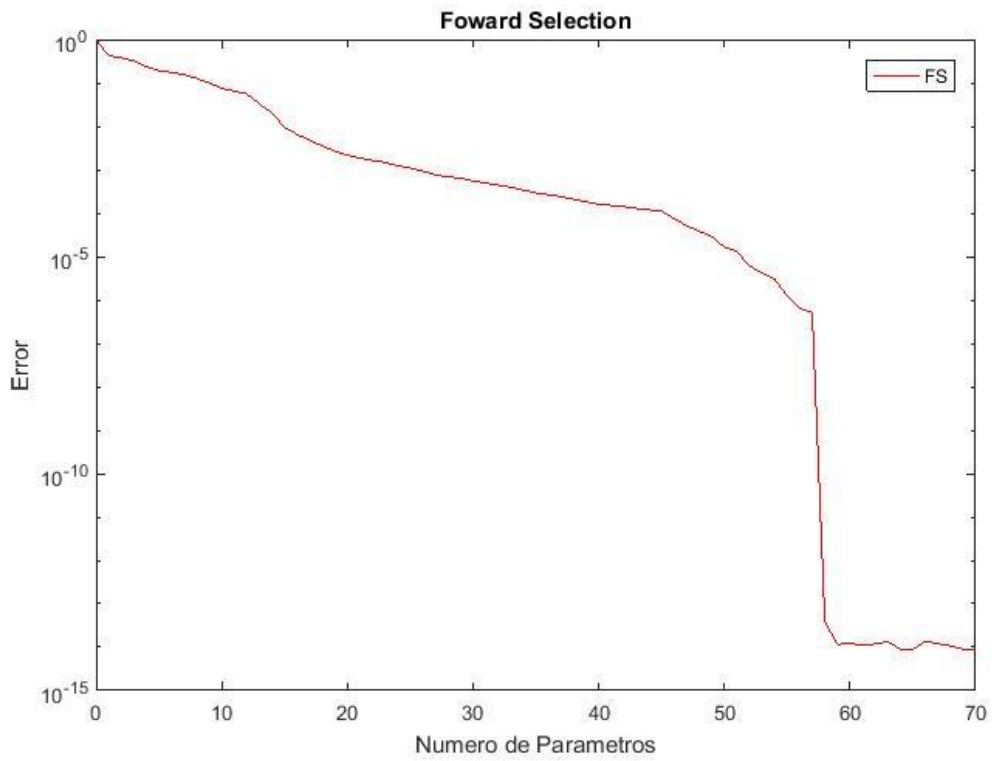


Figura 16 Hexaglide: Foward Selection, Error, vs nº de parámetros

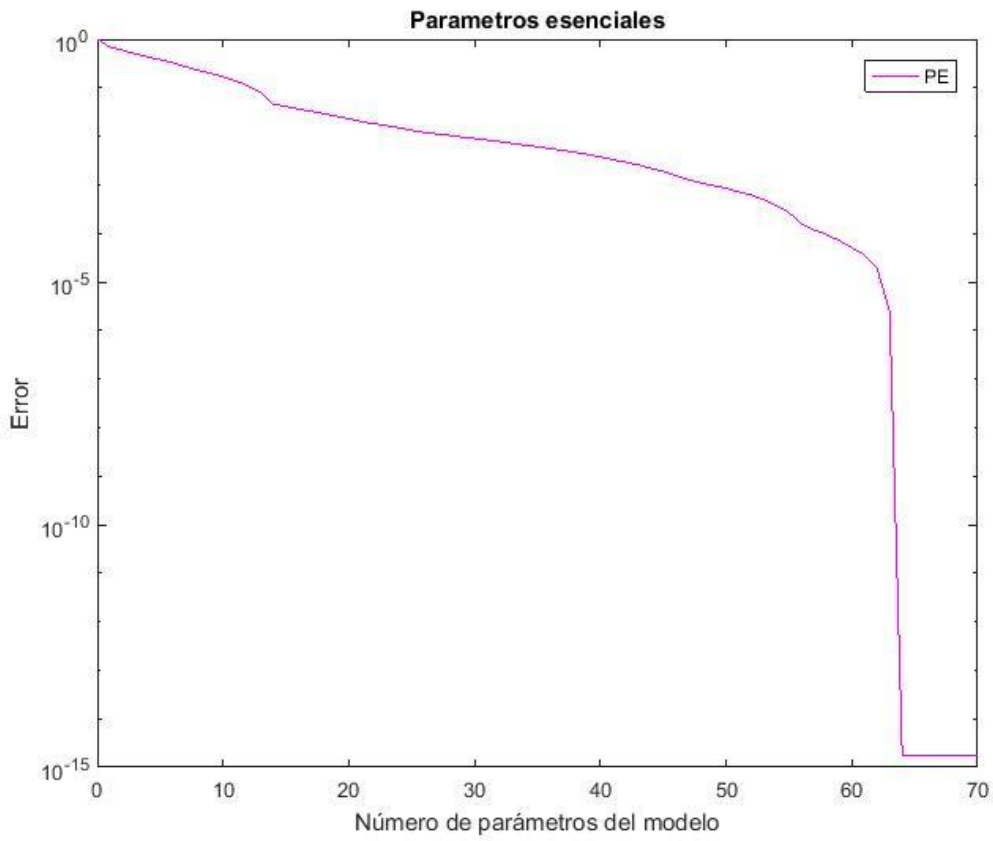


Figura 17 Hexaglide: Parámetros Esenciales, Error, vs nº de parámetros.

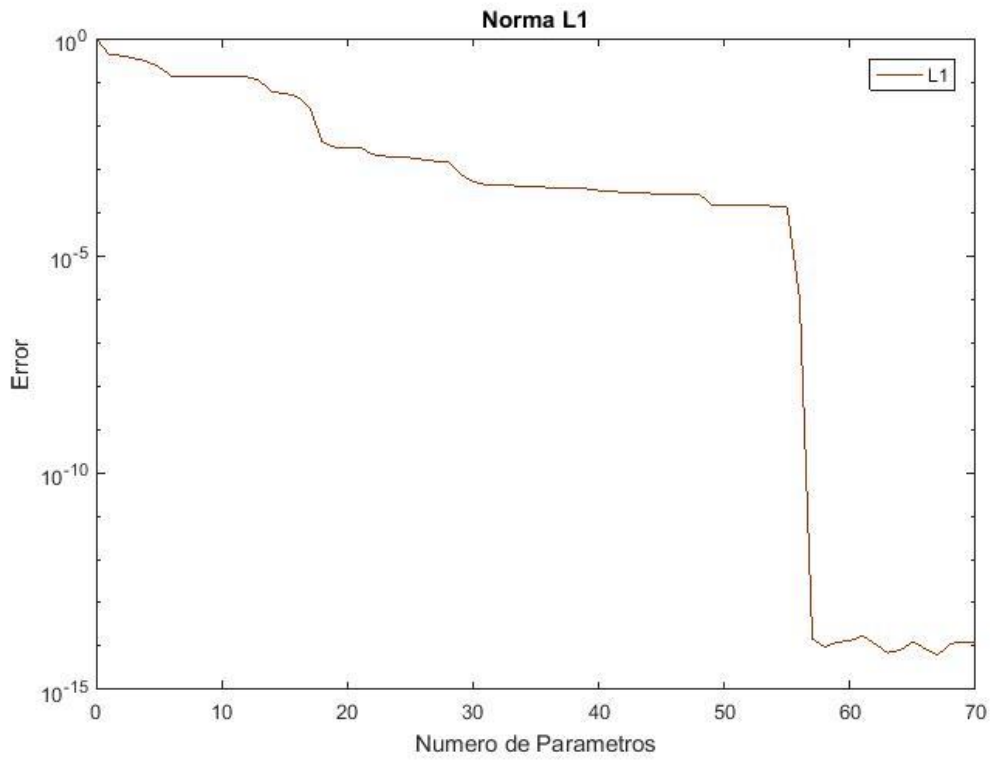


Figura 18 Hexaglide: Norma L1, Error, vs nº de parámetros.



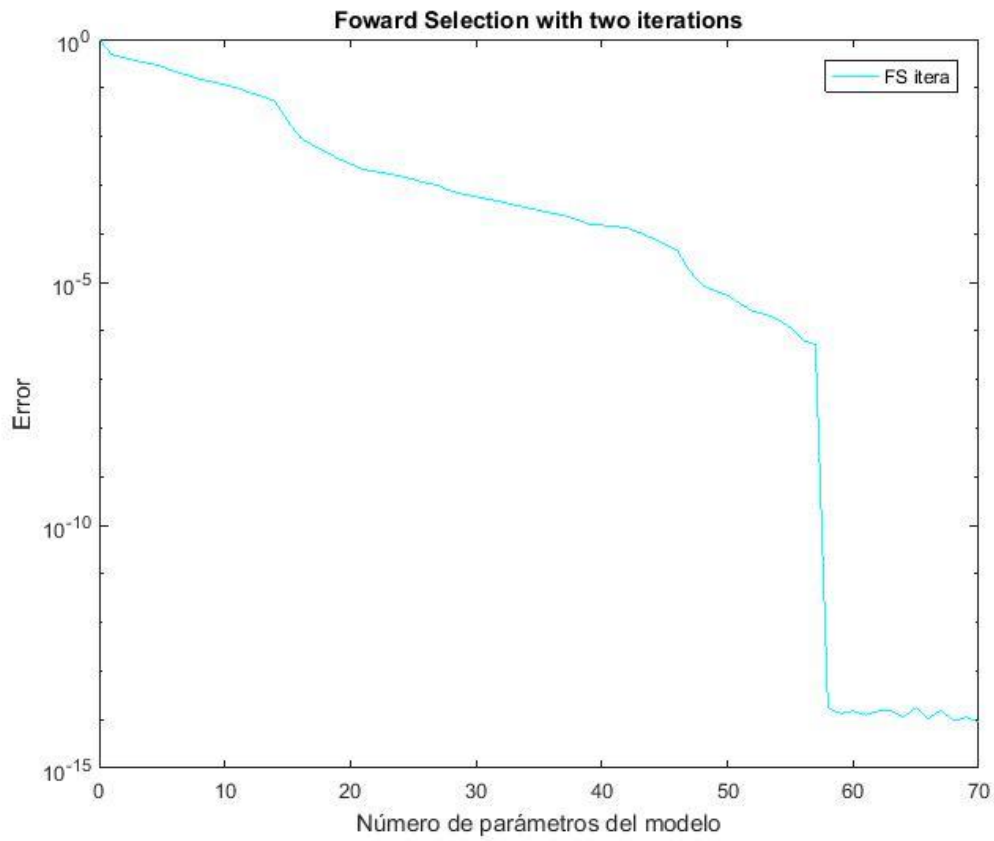


Figura 19 Hexaglide: FS iterativo , Error, vs nº de parámetros.

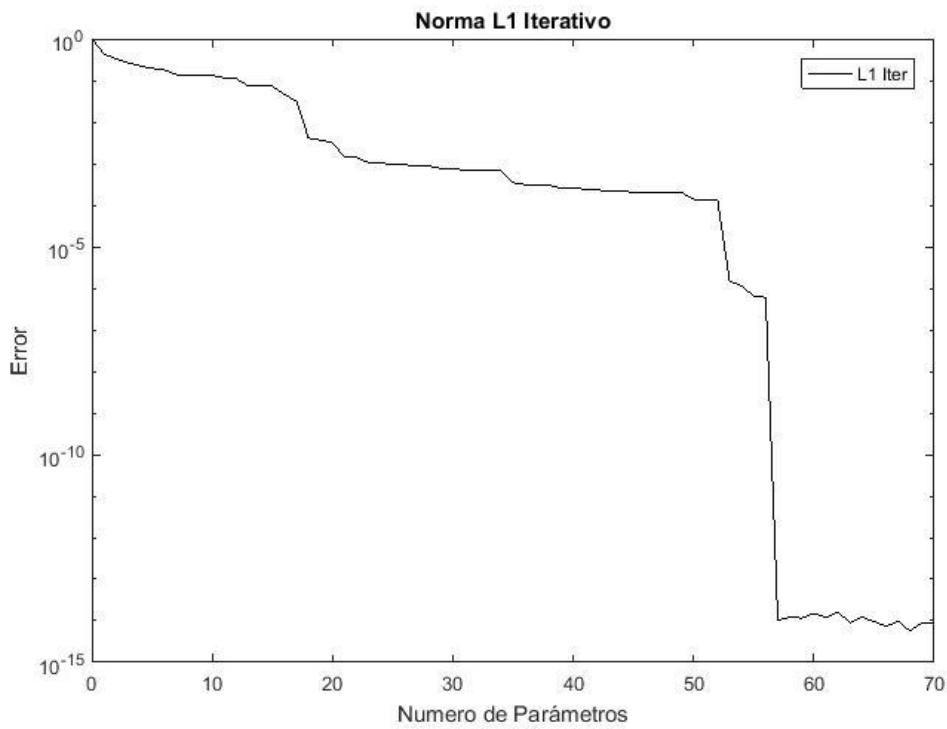


Figura 20 Hexaglide: Norma L1 iterativo, Error, vs nº de parámetros.

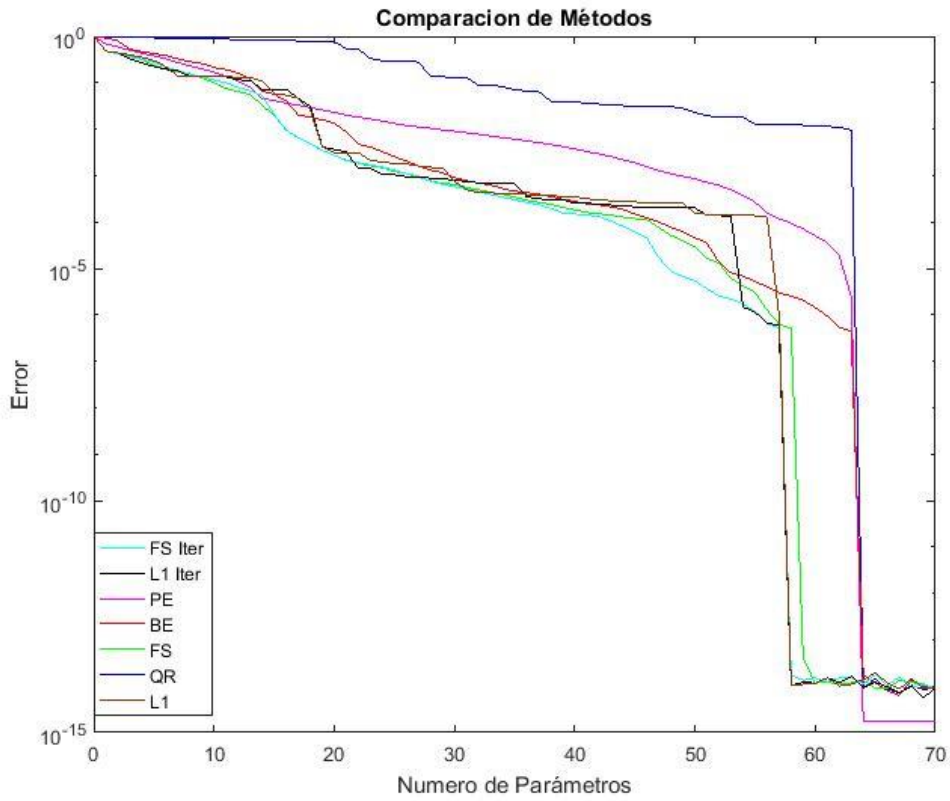


Figura 21 Hexaglide: Comparativa de metodos , Error vs nº de parámetros

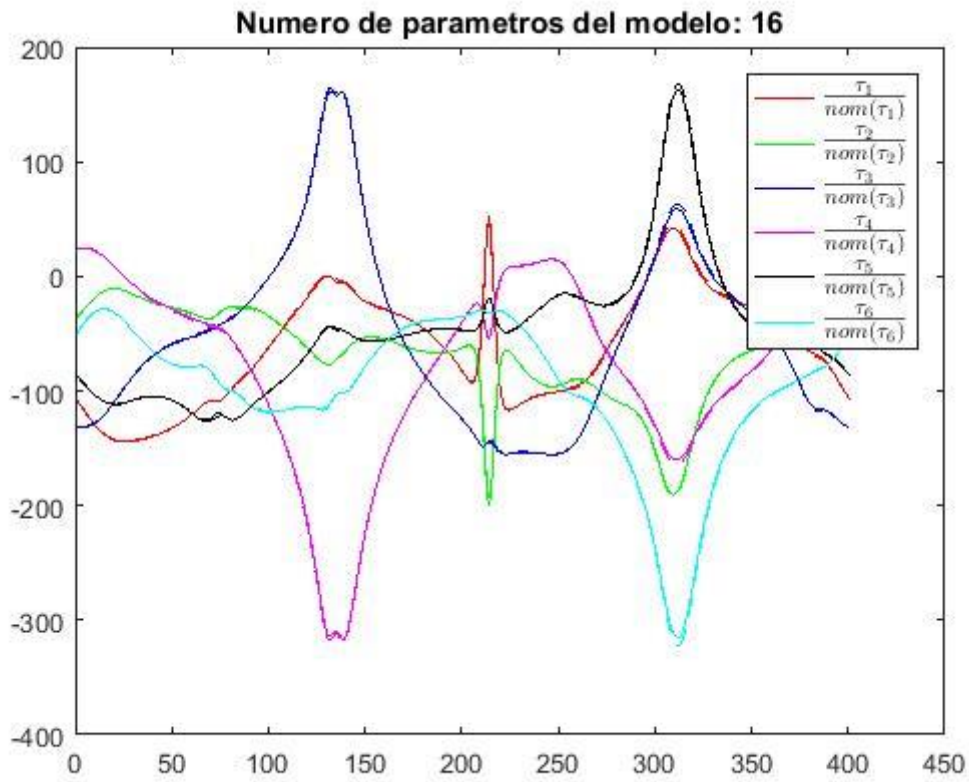


Figura 22 Hexaglide: Modelo seleccionado (FS  $n_{\varphi R} = 16$ )  $\frac{\tau_i(\varphi_R)}{nom(\tau_i)}$  (- -) y  $\frac{\tau_i(\varphi)}{nom(\tau_i)}$  (--) vs  $T(S)$

**Tabla 8 Hexaglide: Reordenación de parámetros por cada método.**

<b>Orden de importancia al modelo</b>	<b>Norma L1 iterativa</b>	<b>Norma L1</b>	<b>FS</b>	<b>BE</b>	<b>QR</b>
1	mP	mP	mP	m5	lxzP
2	m4	m4	lzzP	mz5	lxyP
3	mz1	m1	mz2	myP	lxxP
4	m5	m2	m5	m6	lyzP
5	m6	m5	m4	lyy5	mxP
6	m2	m6	mz1	mz1	mzP
7	mz4	m3	mzP	m4	myP
8	mz3	mz4	m6	lxx1	lzzP
9	m3	mz1	mz3	mzP	lyyP
10	m1	mz2	m1	lxx5	my3
11	mz5	mz5	my1	m2	my1
12	myP	mz6	mz6	mz3	my5
13	mxP	mz3	m2	mz6	my4
14	mzP	mzP	lxxP	lyy1	my2
15	mz6	lzzP	lyyP	lxyP	mx3
16	mz2	mxP	m3	lxxP	mx1
17	lzzP	myP	myP	lyyP	mz1
18	lyyP	lxxP	mxP	lyy3	mz5
19	lxxP	lyyP	mx6	lxx3	mx4
20	my5	mx6	lxy4	lxx6	mz3
21	my3	mx5	my2	lyy6	m2
22	my1	my2	mz5	mP	my6
23	lxz3	mx4	mz4	my1	m4
24	mx4	my5	lyy6	my3	mx6
25	lzz2	mx3	my5	my5	lxz4
26	mx5	my6	mx4	lxx4	mx5
27	lyz3	my1	my3	lyy4	mx2
28	my6	mx1	mx5	mx4	m6
29	lxy2	mx2	lxy3	lxx2	lxz1
30	my2	my4	mx2	lyy2	lyz4
31	lxz2	my3	my4	mx2	lxz2
32	mx1	lxz4	mx1	my4	mz4
33	mx2	lyz1	my6	mx5	lyz1
34	lxy5	lxz6	lxz4	my2	lxz5
35	mx3	lyz2	lxx6	mx1	mz6
36	my4	lxz3	lzz6	lxz4	lxy1
37	mx6	lyz3	lxzP	mx6	lxy3
38	lyz2	lyz5	lxz2	my6	mz2
39	lzz3	lyz4	mx3	mx3	lzz4
40	lzz4	lxz1	lyzP	lxz5	lxy5
41	lzz6	lxz5	lyz3	lyz5	lxz3

Orden de importancia al modelo	Norma L1 iterativa	Norma L1	FS	BE	QR
42	lyz1	lxz2	lxz5	lxz1	lxy4
43	lzz1	lyz6	lyz5	lyz4	lxz6
44	lyz4	lzz5	lxy1	lyz1	lxy2
45	lyz6	lzz1	lxz3	lxzP	lyy1
46	lxz5	lzz2	lzz1	lyzP	lxy6
47	lyz5	lzz4	lyz1	lyz3	lyz2
48	lzz5	lzz3	lyz4	lxz2	lyz5
49	lxz4	lzz6	lyz2	lxz3	lxx2
50	lxz6	lxyP	lxz1	lyz2	lxx5
51	lxyP	lxy4	lyz6	lxz6	lyy6
52	lxz1	lxy5	lzz4	lyz6	lyy3
53	lyzP	lxy6	lxz6	lzz4	lyz3
54	lxzP	lxy3	lzz2	lzz5	lzz1
55	lxy4	lxy2	lzz3	lzz1	m1
56	lxy1	lyzP	lzz5	lzz3	lxx4
57	lxy6	lxzP	lxy6	lzz2	lyz6
58	lxy3	lxy1	lxy2	lxy5	lzz3
59	lyy6	lxx6	lxy5	lxy2	lzz5
60	lxx6	lyy6	lxyP	lzz6	lyy5
61	lyy5	lyy5	lxx1	lxy4	lzz2
62	lxx5	lyy3	lxx3	lxy1	lxx3
63	lyy2	lxx5	lxx5	lxy3	lzz6
64	lxx2	lxx3	lyy4	lxy6	mP
65	lxx4	lyy2	lyy3	mz2	lyy2
66	lyy4	lxx2	lyy1	mxP	lyy4
67	lxx1	lxx4	lyy2	m3	lxx6
68	lyy1	lxx1	lxx2	mz4	lxx1
69	lyy3	lyy1	lxx4	lzzP	m3
70	lxx3	lyy4	lyy5	m1	m5

De manera similar que en el apartado anterior. Los métodos de los parámetros esenciales y FS iterativo, no tienen el orden de importancia de los parámetros a reducir o quitar del modelo. Debido a que en estos casos la solución obtenida para un número de parámetros N, puede no estar contenida en la solución para un número de parámetros N+1.

## **5. Análisis de resultados y conclusiones**

El objetivo principal de este trabajo se basaba en la búsqueda y aplicación de diferentes metodologías para la reducción parámetros en modelos dinámicos, como continuación de la investigación previamente hecha en [2]. La aplicación de estos métodos fue hecha en dos tipos de sistemas multicuerpos, uno de alta movilidad y otro de baja movilidad para establecer patrones de comportamiento y su aplicabilidad en diferentes sistemas. Los diferentes métodos aplicados en este trabajo son:

1. QR Selection.
2. Backward Elimination.
3. Forward Selection.
4. Forward Selection Iterativo.
5. Parametros Esenciales.
6. Norma L1.
7. Norma L1 Iterativo.
8. LASSO.

Los primeros tres métodos fueron establecidos ya en [2] el cuarto método fue presentado como una propuesta. Sin embargo como contribución, en este trabajo este metodo fue implementado y completado. Arrojando resultados interesantes, ya que se ha caído en cuenta de que el método presentado estaba incompleto y que para funcionar necesitaba de ciertas condiciones que fueron agregadas en este trabajo. Por otra parte, el método de parámetros esenciales, fue planteado en [9]. Los métodos presentados como innovadores en el área y de los cuales se hizo foco en este trabajo han sido el 6, 7,8.

En el método 6, (la norma L1) como se ha explicado anteriormente, su uso solo se limitaba al contexto de señales. Básicamente estaba orientado en la compresión de señales, en la cual, al ser aplicada se obtenían soluciones dispersas. Por lo que muchos de los coeficientes usados para representar esta señal se hacían 0 reduciendo el número de elementos que se tenían para reproducir una señal. La contribución principal de este trabajo fue llevar este mismo concepto a la DSM, para la reducción de modelos, en donde el criterio, la programación y el desarrollo han sido expuestos en este trabajo. En líneas generales, se ha propuesto una nueva metodología en la cual es posible resolver este tipo de problemas. Estas, se han comparado con las técnicas de reducción de modelos actualmente utilizadas, dando una perspectiva de las ventajas, e inconvenientes, que pueden ser presentados a la hora de aplicar este método para la reducción de modelos.

El método 7, es una extensión de la aplicación de la norma L1, su inspiración proviene del método 2 (Eliminación regresiva). En donde la idea principal pasa por aplicar la norma L1 e ir retirando el parámetro con el menor valor de manera progresiva. La intención es ir quitando en cada iteración el parámetro con la menor contribución al modelo. Aprovechando la propiedad de la norma L1, de hacer pequeños los valores que sean menos importantes al modelo. Su uso, arrojó resultados interesantes, en los cuales se llega a ver, hasta una mejora con respecto a la norma L1 solamente. Igualmente que en el caso anterior, se ha propuesto una nueva metodología en la cual, se puede resolver el problema de reducción de parámetros. Esta también ha sido comparada, con otras técnicas de reducción de modelos con la idea de ver las bondades que puede aportar al campo.

El método 8, proviene de la búsqueda de bibliografía disponible, en ella encontramos el método LASSO. El cual es un método de análisis de regresión capaz de realizar una selección de variable partiendo de los modelos estadísticos que este produce. En Matlab Optimization toolbox se tiene una función para resolver este tipo de problemas denominada *lasso*. Su implementación en el contexto de la dinámica de sistemas multicuerpo fue presentada en este trabajo. Sin embargo sus resultados quedan fuera de contexto debido a que los parámetros obtenidos, para el nivel de error deseado eran aleatorios, por tanto no podía ser comparado, con los otros métodos.

En los resultados obtenidos de la aplicación de estos métodos en el robot PUMA. Es notable ver, que el método más eficiente a la hora de reducir los parámetros es el Forward Selection iterativo. Durante la investigación hecha en este trabajo, se ha determinado que este método es cuanto menos, uno de los que presenta mayor eficiencia a la hora de ir retirando diferentes parámetros. En el caso del PUMA, ha sido solo ligeramente mejor en un punto (cuando tenemos 8 parámetros) que su homónimo FS. Este método, en líneas generales, el problema que presenta, es que, a diferencia del FS se tienen soluciones en un número de parámetros  $N$ , que pueden no estar contenidas en  $N+1$ .

En el método FS con 8 parámetros el error obtenido es de 0.2414 y en el FS iterativo el error obtenido es 0.237, la diferencia entre estos dos en este punto es mínima, y solo se da para este punto, de resto el comportamiento del FS con el FS iterativo es el mismo. Por lo que para este caso no hay una mejora apreciable.

El siguiente método con mayor eficiencia para reducir los parámetros del PUMA es el FS (Forward Selection). Como hemos dicho anteriormente, el solo hacer una iteración ha mejorado los resultados. La diferencia con su versión iterativa en este caso, solo se da a partir del parámetro 8. Por tanto, es casi imperceptible la diferencia que hay en la gráfica de estos dos métodos. Este método, es solo ligeramente peor que en su versión iterativa. Por otra parte el

BE demuestra que es bastante bueno en el PUMA, sin embargo, no lo es más, que el FS y el FS iterativo. El método de parámetros esenciales en este caso ha quedado de cuarto lugar, sin embargo, el problema presentado con este método es que no es posible saber el orden en el que se reducen los parámetros. Su uso en este caso fue para establecer una línea de referencia ya que se establece como el estándar de facto en la reducción de modelos de la robotica industrial. Sin embargo, y como caso curioso, es interesante ver que reducir mediante los parámetros esenciales no es lo más eficiente que se puede hacer en los sistemas dinámicos. En quinto y sexto se tienen la norma L1 iterativo y la L1, respectivamente. En este caso la norma L1 a pesar de ser bastante rápida demostró no ser totalmente efectiva, y en su versión iterativa solo logró mejorar un poco, más no lo suficiente para ser considerada como óptima. En este caso el método QR ha quedado como el que peor desempeño ofrece para la reducción de parámetros.

El método de LASSO, como ha sido explicado anteriormente, ha sido probado he implementado en el contexto de reducción de parámetros, en modelos sistemas multicuerpos. El problema presentado, como se ha explicado anteriormente, es que LASSO busca el conjunto de parámetros necesarios para reproducir el modelo para un error dado (usualmente se establece este error como el mínimo, por tanto el número de parámetros también los serán). Sin embargo este número de parámetros es aleatorio por lo que aún, aumentando el tamaño del error, quizás aunque la solución que encuentra en ese punto sea bastante buena. Debido a las limitaciones de las herramientas disponibles calcular el error para retirar un determinado número de parámetros uno a uno, no ha sido posible al menos, en este trabajo.

Volviendo un poco a los otros métodos es importante señalar el Ridge. El Ridge en este caso, se define como: el mínimo número de parámetros en el cual, el modelo reducido puede reproducir al modelo original sin pérdida de información. En este caso es identificado en las gráficas como el punto donde el error hace un salto importante. Es muy claro ver que hay varios métodos como el L1 y el L1 iterativo, el Ridge se establece en 40. Otros, como el QR, PE que se establece en 36 (que es bastante bueno), en otros métodos como el BE, FS y FS iterativo logran tener un Ridge de 35, en otras palabras es posible solo necesitar 35 parámetros para reproducir el sistema dinámico del PUMA, sin pérdida de información. Es importante resaltar que BE, FS y FSI fueron los métodos capaces de dar con el menor número de parámetros.

De cara al cómputo de los sistemas dinámicos para el movimiento de los robots saber que se pueden usar 35 parámetros para reproducir casi exactamente lo que hacen 60 es muy revelador. Otra cosa que llama muchísimo la atención en todos estos temas es que no hay uniformidad en los métodos en cuanto a cuál es el parámetro o cuales son los parámetros más importantes para

el sistema, haciendo un ejercicio, tomamos los primeros 10 parámetros de cada uno de los métodos y los comparamos. Teniendo el siguiente mapa:

**Tabla 9 Puma: Conteo de repetición de parámetros por cada método.**

Orden de import.	Norma L1 iterativa	Norma L1	FS	BE	QR	Nº de veces que se repiten				
						2	3	1	4	3
1	lyy2	lzz2	m3	my3	my6	2	3	1	4	3
2	lzz2	lyy2	lzz5	m5	mx6	3	2	2	1	3
3	mx2	mx2	lzz3	lzz5	lxy6	3	3	3	2	1
4	lxx4	lzz1	my6	my6	lyz6	2	2	3	3	1
5	lyy4	lzz3	mx6	mx6	lxz6	2	3	3	3	1
6	lxx3	lxx3	mz6	mz5	lzz6	2	2	2	1	1
7	lzz3	lyy4	mx2	mz6	my5	3	2	3	2	1
8	lzz1	lxx4	my4	lyy5	mx5	2	2	1	1	1
9	my3	my3	lzz4	lxx5	lyy6	4	4	1	1	1
10	lyz2	lyz2	my3	lzz2	lxx6	2	2	4	3	1

Es muy claro ver que todos los métodos difieren en cuanto a cuales deben ser los 10 parámetros predominantes o más importantes para reproducir el modelo. En este punto solo hay un parámetro que es usado por casi todos excepto el QR es el **my3**, seguidos de este existen otros que aunque no son usados por todos si lo son por la mayoría, los cuales son **mx2**, **lzz3**, **my6** y **mx6**, siendo solo cinco parámetros a considerar sin embargo deja claro que no hay conclusión entre los métodos, de cuáles son los parámetros más importantes para el modelo. Esto también se debe a que no hay una solución exacta, es la combinación de parámetros la que podrá dar un menor o mayor error. En teoría debe de existir una combinación de parámetros que sea la mejor y por tanto el parámetro más importante debería al menos repetirse, de forma similar pasa con el su antítesis el parámetro menos importante sin embargo, este tampoco es capaz de reproducirse en ninguno de los métodos.

Por otra parte tenemos el Hexaglride, como un ejemplo de un sistema dinámico de baja movilidad al cual, los diferentes métodos de reducción de parámetros han sido aplicados. Este caso, es un ejemplo curioso, dado que estamos en vista de un sistema dinámico con baja movilidad el cual posee variables dependientes e independientes. Los resultados mostrados obtenidos para cada método han sido interesantes, puesto que la mayoría de los métodos, se han acercado cuanto menos a lo que se establecería como una solución óptima. De hecho se podría establecer, el FS como el que establece una reducción de parámetros más eficiente de entre todos los métodos. En este caso la norma L1 iterativa logra dar con una solución que en ciertos puntos logra



mejorar a todos los métodos. Por lo que, dependiendo del número de tolerancia al error requerido, la combinación dada por la L1 podría ser hasta más interesante que la FS. Su homónima la L1 en este caso queda por detrás. Siendo bastante buena para este tipo de aplicaciones, es de notar que para hallar la solución con método Primal-Dual, ha sido una de las partes con mayor reto. La solución final es bastante buena aunque, llevó considerablemente más tiempo hallarla que en el caso del PUMA. Como resumen en el Hexaglidge, el algoritmo de FS iterativo es el que segundo más óptimo en cuanto a la eficiencia en la que se reducen los parámetros. El tercero pasa hacer el L1 iterativo y el cuarto el L1, el BE queda por debajo de estos algoritmos, en penúltimo lugar los parámetros esenciales y por último el método QR.

Para el Hexaglidge, el Ridge, se establece en 64 según los métodos de PE y QR, 60 para BE y 58 en los métodos de FS, FS iterativo, L1, L1 iterativo. Lo que quiere decir que es posible reproducir el Hexaglidge con tan solo 58 parámetros de los 70 que se compone este. Es bastante notable la diferencia con el PUMA el cual solo necesita 35 de los 60 parámetros.

Un aspecto interesante al resaltar con el método de FS iterativo, en el caso del Hexaglidge, si nos fijamos en la gráfica comparativa. Hay puntos donde lo hace peor que su homóloga FS, la explicación a esto, proviene del mismo método. La solución para un número de parámetros N, no tiene por qué estar contenida en N+1, por tanto en N+2 estamos en vista de otra combinación de parámetros que tendrá otro comportamiento. Este podrá ser más o menos eficiente, sin embargo y lo que sí es de notar, es que este método primero tiene que mejorar al método de FS. Que es lo que pasa en este caso.

Una manera fácil de explicar este fenómeno es de la siguiente manera:

Supongamos un vector de 70 parámetros:

$P=[1 \ 2 \ 3 \ 4 \ 5 \ 6 \ 7 \ 8 \ 9 \ 10 \ 11 \ 12 \ 13 \ 14 \ 15 \ 16 \ 17 \ 18 \ 19 \ 20 \ 21 \ 22 \ 23 \ 24 \ 25 \ 26 \ 27 \ 28 \ 29 \ 30 \ 31 \ 32 \ 33 \ 34 \ 35 \ 36 \ 37 \ 38 \ 39 \ 40 \ 41 \ 42 \ 43 \ 44 \ 45 \ 46 \ 47 \ 48 \ 49 \ 50 \ 51 \ 52 \ 53 \ 54 \ 55 \ 56 \ 57 \ 58 \ 59 \ 60 \ 61 \ 62 \ 63 \ 64 \ 65 \ 66 \ 67 \ 68 \ 69 \ 70]$ .

Probamos parámetro a parámetro en el modelo, y selecciono el que menor error introduce en el modelo. En este caso supongamos que es 1 por tanto nuestro vector queda como:

$$\varphi_R = [1].$$

En este caso nuestro vector de parámetros queda:

$P=[2 \ 3 \ 4 \ 5 \ 6 \ 7 \ 8 \ 9 \ 10 \ 11 \ 12 \ 13 \ 14 \ 15 \ 16 \ 17 \ 18 \ 19 \ 20 \ 21 \ 22 \ 23 \ 24 \ 25 \ 26 \ 27 \ 28 \ 29 \ 30 \ 31 \ 32 \ 33 \ 34 \ 35 \ 36 \ 37 \ 38 \ 39 \ 40 \ 41 \ 42 \ 43 \ 44 \ 45 \ 46 \ 47 \ 48 \ 49 \ 50 \ 51 \ 52 \ 53 \ 54 \ 55 \ 56 \ 57 \ 58 \ 59 \ 60 \ 61 \ 62 \ 63 \ 64 \ 65 \ 66 \ 67 \ 68 \ 69 \ 70]$ .

Con  $\varphi_R = [1, x]$  Se prueba o parámetro a parámetro, e igualmente que en el caso anterior selecciono el que menor error me introduzca al modelo en este caso supongamos que sea el 10, por tanto:

$$\varphi_R = [1, 10]$$

P=[ 2 3 4 5 6 7 8 9 11 12 13 14 15 16 17 18 19 20 21 22 23 24 25 26 27  
 28 29 30 31 32 33 34 35 36 37 38 39 40 41 42 43 44 45 46 47 48 49 50 51 52 53  
 54 55 56 57 58 59 60 61 62 63 64 65 66 67 68 69 70]

A  $\varphi_R$  le quitamos el vector introducido anteriormente en este caso 1 por tanto  $\varphi_R$  y P quedan:

$$\varphi_R = [10]$$

P=[1 2 3 4 5 6 7 8 9 11 12 13 14 15 16 17 18 19 20 21 22 23 24 25 26 27 28 29  
 30 31 32 33 34 35 36 37 38 39 40 41 42 43 44 45 46 47 48 49 50 51 52 53 54 55  
 56 57 58 59 60 61 62 63 64 65 66 67 68 69 70]

Probando diferentes parámetros y estos al ser 2 queda nuevamente 1 (puede ser que no) supongamos que sí. Por tanto:

$$\varphi_R = [1, 10].$$

P=[ 2 3 4 5 6 7 8 9 11 12 13 14 15 16 17 18 19 20 21 22 23 24 25 26 27 28 29  
 30 31 32 33 34 35 36 37 38 39 40 41 42 43 44 45 46 47 48 49 50 51 52 53 54 55  
 56 57 58 59 60 61 62 63 64 65 66 67 68 69 70].

En la tercera iteración pasa lo siguiente, Con  $\varphi_R = [1, 10, x]$  probamos parámetro a parámetro, supongamos que este caso tengamos que sea 24. Por tanto:

$$\varphi_R = [1, 10, 24]$$

P=[ 2 3 4 5 6 7 8 9 11 12 13 14 15 16 17 18 19 20 21 22 23 25 26 27 28 29 30  
 31 32 33 34 35 36 37 38 39 40 41 42 43 44 45 46 47 48 49 50 51 52 53 54 55 56  
 57 58 59 60 61 62 63 64 65 66 67 68 69 70].

A  $\varphi_R$  le quitamos el vector introducido anteriormente en este caso 10 por tanto  $\varphi_R$  y P quedan:

$$\varphi_R = [1, 24]$$

P=[ 2 3 4 5 6 7 8 9 10 11 12 13 14 15 16 17 18 19 20 21 22 23 25 26 27 28 29  
 30 31 32 33 34 35 36 37 38 39 40 41 42 43 44 45 46 47 48 49 50 51 52 53 54 55  
 56 57 58 59 60 61 62 63 64 65 66 67 68 69 70].

Probando diferentes parámetros tenemos el caso que la combinación de parámetros que menor error introduce al modelo en este caso tenemos:

$$\varphi_R = [1, 24, 61]$$

P=[ 2 3 4 5 6 7 8 9 10 11 12 13 14 15 16 17 18 19 20 21 22 23 25 26 27 28 29  
 30 31 32 33 34 35 36 37 38 39 40 41 42 43 44 45 46 47 48 49 50 51 52 53 54 55  
 56 57 58 59 60 62 63 64 65 66 67 68 69 70].

En este punto, para  $N=3$  parámetros, tenemos que el error de  $\varphi_R = [1, 24,61]$  es menor, que el error de  $\varphi_R = [1, 10,24]$ , por tanto, se escoge para este caso la solución  $\varphi_R = [1, 24,61]$ . Sin embargo, para  $n=2$  parámetros, el error no es el mismo e incluso se prueba que es peor ya que la combinación más eficiente para  $n=2$  es  $\varphi_R = [1, 10]$ . Por tanto el modelo obtenido de FS deja de reproducirse, lo que hace el comportamiento de este sea cuanto menos distinto ya que de ahora en adelante se parte de  $\varphi_R = [1, 24,61]$ . Y no de  $\varphi_R = [1, 10,24]$ .

De la misma manera que en el Puma se hizo un análisis de los primeros diez parámetros más importantes para el modelo considerado por cada método, y se obtuvieron los siguientes resultados:

**Tabla 10 Hexaglidle: Conteo de repetición de parámetros por cada método.**

Orden de import.	Norma L1 iterativa	Norma L1	FS	BE	QR	Nº de repeticiones				
1	mP	mP	mP	m5	lxzP	3	3	3	4	1
2	m4	m4	lzzP	mz5	lxyP	4	4	2	1	1
3	mz1	m1	mz2	myP	lxxP	4	3	2	2	1
4	m5	m2	m5	m6	lyzP	4	2	4	4	1
5	m6	m5	m4	lyy5	mxP	4	4	4	1	1
6	m2	m6	mz1	mz1	mzP	2	4	4	4	3
7	mz4	m3	mzP	m4	myP	2	2	3	4	2
8	mz3	mz4	m6	lxx1	lzzP	2	2	4	1	2
9	m3	mz1	mz3	mzP	lyyP	2	4	2	3	1
10	m1	mz2	m1	lxx5	my3	3	2	3	1	1

Igualmente que en el caso anterior, no es posible establecer, una referencia clara de cuáles son, los 10 parámetros más importantes para el modelo. Sin embargo en este caso a diferencia del caso anterior existen 4 parámetros que se repiten en 4 de los métodos. Los parámetros m5 y m6, mz1, m4 son repetidos por todos los métodos. Los parámetros mP, m1, son repetidos por la mayoría (3 de los 5 métodos). En este caso quizás existe una relación más clara, por lo que muchos de los métodos pueden presentarse como óptimos.

Otro aspecto interesante, es que para reproducir el PUMA con un error menor a un 1% (un error que puede ser aceptable en la industria) solo se necesitan 18 de 60 parámetros. Mientras que en el caso de Hexaglidle es posible hacerlo con 17 de 70 parámetros. Como se muestra en las gráficas 11 y 22 es casi imperceptible el error de las fuerzas obtenidas por el modelo reducido y las fuerzas reales(o del modelo entero).

### **Trabajos futuros:**

En líneas generales, este trabajo representa una aportación al trabajo sobre reducción de parámetros presentado en [2]. Dentro de este campo se han logrado proponer tres métodos tales como: la reducción de parámetros bajo la norma L1, norma L1 iterativo y LASSO, que son capaces de ofrecer buenos resultados en la manera que se reducen los parámetros. Sin embargo es muy notable que el método más eficiente para la reducción de parámetros en cualquiera de los casos termina siendo el FS. Donde, en el caso del PUMA hace posible trabajar el modelo con solo 35 parámetros de 60 y en el Hexaglride con 58 de 70. En trabajos futuros es posible indagar en los métodos de LASSO, para la reducción de parámetros. Otra línea abierta para esta investigación, es el implementar un método FS iterativo con un mayor número de iteraciones, y determinar la diferencia entre la solución obtenida con un mayor número de iteraciones y la solución directa de FS. Con esto sería posible saber si vale la pena la carga computacional con respecto a la solución obtenida. También es posible que exista un número de iteraciones en donde se asegura que la solución sea lo suficientemente buena. Otra línea de investigación, es dar con un nuevo método que provenga de la combinación de los presentados en este trabajo. Por ejemplo del tipo FS aplicando la norma L1 con algún otro criterio de eliminación de los parámetros. Y por último y no menos importante, determinar el número de operaciones que se establece del resultado de cada uno de los métodos.

## **Bibliografía:**

- [1] Emmanuel Candès and Justin Romberg, *L1-magic : Recovery of Sparse Signals via Convex Programming*, Caltech, 2005.
- [2] J. Ros, X. Iriarte, A. Paza y V. Mata, *Simplification of multibody models by parameter reduction*, 2017.
- [3] J. Calzadilla, M. Vallés, V. Mata, M. Diaz-Rodriguez y A. Valera, «Adaptative control of a 3-dof parallel manipulator considering payload handling and relevant parameter models,» *Robotics and Computer-Integrated Manufacturing* 30, pp. 468-477, 2014.
- [4] M. Powell, E. Cousineau y A. Ames, «Model predictive control of underactuated bipedal robotic walking,» *IEEE International conference on robotics and automation*, pp. 5121-5126, 2015.
- [5] R. Reinhart, Z. Shareef y J. Steil, «Hybrid analytical and data driven modeling for feed-forward robot control,» *Sensors*, p. 311, 2017.
- [6] E.Sanjurjo, M.A.Naya, J.-M. J.L. Blanco-Claraco y A.Gimenez-Fernandez, «Accuracy and efficiency comparison of various nonlinear kalman filters applied to multibody models,» *Nonlinear Dynamics*, pp. 1-17, 2017.
- [7] G.Charles, R.Goodall y R.Dixon, «Model-based condition monitoring at the wheel-rail interface,» *Vehicle System Dynamics* 46, 2008.
- [8] R.Featherstone, *Rigid Body Dynamics Algorithms*, Springer, 2008.
- [9] C. Pham y M. Gautier, «Essential Parameters of Robots,» *ENSM laboratoire d'Automatique, Ura CNRS*, nº 823, 1991.
- [10] Dombre, W. Khalil y E., *Modeling, identification and control of robots*, Kogan Page Science, 2002.
- [11] J. Ángeles, «Fundamentals of Robotic Mechanical Systems. Theory, Methods and Algorithms», Springer US,, 2007.
- [12] W. Khalil y J. Kleinfinger, «Minimum operations and minimum parameters of the dynamic models of tree structure robots, *Journal of Robotics*,» RA-3 (6), 1987, p. 517–526.
- [13] Y. Sun y J. M. Hollerbach, «Observability index selection for robot calibration, in: *Proceedings of the IEEE International Conference on*,» 2008, pp. 831-836.

- [14] G.Calafiore y M.Indri, «Experiment desing for robot dynamic calibration,» *Robotics and Automation;Proceedings; IEEE International Conference*, vol. 4, pp. 3303-3309, 1998.
- [15] J.Swevers, C.Ganseman, J. Schutter y H. brussel, «Experimental robot identification using optimised periodic trajectories,» *Mechanical Systems and Signal Processing* 9, pp. 165-184, 1996.
- [16] K. Park, «Fourier-Based optimal excitation trajectories for the dynamic identification of robots,» *Robotica* 24, pp. 625-633, 2006.
- [17] B.Amstrong, «On finding exciting trajectories for identification experiments involving systems with nonlinear dynamics,» *International Journal of Robotics Research*, vol. 8, pp. 362-375, 1992.
- [18] M.Gautier y W.Khalil, «Exciting trajectories for identification experiments involving systems with nonlinear dynamics,» *International Journal of Robotic Research*, pp. 362-375, 1992.
- [19] G. J. Wiens, Shamblin, S. A. y Y. H. Oh, «Characterization of pkm dynamics in terms of system identification, Proceedings of the Institution of,» *Part K:Journal of Multi-body Dynamics*, vol. 1, nº 216, pp. 59-72, 2002.
- [20] M.Gautier, «Numerical calculation of the base inertial parameters of robots,» *Journal of Robotic System* , nº 8, pp. 485-506, 1991.
- [21] O. Nelles, *Nonlinear system identification, from classical approaches to neuronal networks and fuzzy models*, Berlin : Springer, 2001.
- [22] A. Miller, *Subset selection in regresion*, Chapman and Hall, 1990.
- [23] Wikipedia, «Wikipedia,» 22 06 2018. [En línea]. Available: [https://en.wikipedia.org/wiki/Singular-value\\_decomposition](https://en.wikipedia.org/wiki/Singular-value_decomposition). [Último acceso: 14 08 2018].
- [24] R. Tibshirani, «“Regression Shrinkage and Selection via the lasso”.,» *Journal of the Royal Statistical Society. Series B*, nº 267–88., 1996.
- [25] L. Breiman, “Better Subset Regression Using the Nonnegative Garrote”, Taylor & Francis, 1995.
- [26] Stephanie, «Statistics How To,» 29 07 2017. [En línea]. Available: <http://www.statisticshowto.com/ridge-regression/>. [Último acceso: 14 08 2018].

- [27] «Wikipedia,» 09 08 2018. [En línea]. Available: [https://en.wikipedia.org/wiki/Tikhonov\\_regularization](https://en.wikipedia.org/wiki/Tikhonov_regularization). [Último acceso: 16 08 18].
- [28] «Wikipedia,» [En línea]. Available: [https://en.wikipedia.org/wiki/Regularization\\_\(mathematics\)](https://en.wikipedia.org/wiki/Regularization_(mathematics)). [Último acceso: 16 08 2018].
- [29] mathworks, «mathworks,» [En línea]. Available: <https://es.mathworks.com/help/stats/lasso.html>. [Último acceso: 18 07 2018].
- [30] «Wikipedia,» [En línea]. Available: [https://es.wikipedia.org/wiki/Norma\\_vectorial](https://es.wikipedia.org/wiki/Norma_vectorial). [Último acceso: 25 07 2018].
- [31] H. Nyquist, «Certain Topics in Telegraph Transmission Theory,» *Transactions of the A.I.E.E.*, pp. 617-644, 1928.
- [32] C. Shannon, «Communication in the Presence of Noise,» *Proceedingd of the IRE* , nº 37, pp. 10-21, 1949.
- [33] E. Candès, J. Romberg y T. T., «Robust uncertainty principles: Exact signal reconstruction from highly incomplete frequency information,» Submitted to *IEEE Trans. Inform.*, 2004.
- [34] E. Candès, J. Romberg y T. Tao, «Near-optimal signal recovery from random projections and universal,» submitted to *IEEE Trans. Inform. Theory*,, 2004.
- [35] Nemirovski, N. Y. E y A. S., «Interior Point Polynomial Methods in Convex Programming.,» *SIAM Publications*, 1994.
- [36] Vandenberghe, S. Boyd y L., *Convex Optimization.*, Cambridge University Press, 2004.
- [37] C. Departamento de Matematicas, 21 abril 2010. [En línea]. Available: <http://www.mty.itesm.mx/etie/deptos/m/ma00-130/lecturas/m130-16.pdf>. [Último acceso: 14 08 2018].
- [38] J. R. Shewchuk., An introduction to the conjugate gradient method without the agonizing, Manuscript, 1994.
- [39] G. Meurant, *The lanczos and conjugate gradient algorithms: from theory to finite precision computations*, Philadelphia: SIAM,2006, 2006.

- [40] V. Mata, J. Ros y X. Iriarte, «3D inertia transfer concept and symbolic determination of the base inertial parameters,» *Mechanism and machine theory* 49, pp. 284-297, 2012.
- [41] E. W.Khalil, «Modeling , identification and control of robots,» *Kogan page science*, 2002.
- [42] F. Benimeli, V. Mata y F. Valero, «A comparison between direct and indirect dynamic parameter identification methods in industrial robots.,» *Robotica* 24, pp. 579-590, 2006.
- [43] J. Ros, L. Arrondo, J. Gil y X. Iriarte, «Lib3D\_MEC\_GiNaC, a library for symbolic multibody dynamics, in : Multibody Dynamics,» de *ECCOMAS Thematic Conference*,, 2007.
- [44] <https://es.mathworks.com/help/symbolic/cond.html>, «mathworks,» [En línea]. Available: <https://es.mathworks.com/help/symbolic/cond.html>. [Último acceso: 14 08 2018].
- [45] J. Swevers, C. Ganseman y J. Hollerbach, «Experimental robot identification using optimised periodic trajectories,» *Mechanical Systems and Signal Processing* 9, pp. 165-184, 1996.
- [46] F. Valero, X. Iriarte, V. Mata y J. Ros, «Identification of dynamic parameters, in low mobility mechanical systems: application to short long arm vehicle suspension,» *Vehicle System Dynamics* 0, pp. 1-23, 2013.
- [47] J. Samin y P. Fisette, *Symbolic Modeling of multibody System*, Netherlands: 2003, 2003.



## Apéndices

### Reducción de Parámetros del PUMA 560 basada en [2]

```

    This algorithm calculates the reduced model of a  $W\phi=\tau$  model, with the
    minimum number
    % of parameters in phib, so that:  $\text{norm}(W\text{red}\phi-\tau)/\text{norm}(\tau) < \text{tol}$ 
    % The algorithm removes one-by-one a column of Wred
    % The column selected each time is the one that minimises:
     $\text{norm}(W_i\text{pinv}(W_i)\tau - \tau)/\text{norm}(\tau)$ 
    % being  $W_i$  the matrix Wred without the i-th column and being  $\text{pinv}(W_i)$  the
    pseudoinverse of  $W_i$ 
    % function
    [esterror_elim,esterror_add,esterror_qr,valor_elim,valor_add,valor_qr
    ]=reduction_full_reduction;

    % function reduction_full_reduction;
    clear all
    addpath('./../lin_alg/');
    addpath('./../../../../GENERATED_files_matlab/');
    clear all;
    warning('OFF','all');
    USER_defines;
    % Init_variables_parameters;
    COORD='COORD_DEP';
    SIZE='DDL';
    INTEG='EULER';
    LIN='INV';
    param_init;

    %error_norm='norma_infinito';

    error_norm='norma_2';

    % load matrix W and vector phi
    % load W_estimation.mat;
    % load pnum.mat;
    load pnum.mat;

    load q_all.mat
    load dq_all.mat
    load ddq_all.mat
    W_estimation=zeros(6*size(q_all,1),size(pnum,1));

    for i=1:1:size(q_all,1)
        W_estimation((i-
    1)*6+1:i*6,:)=W_modif(q_all(i,:),dq_all(i,:),ddq_all(i,:));
    end
    %%%%%%%%%%%%%%%%%%%%%%%%%%%%%%%%%%%%%%%%%%%%%%%%%%%%%%%%%%%%%%%%%%%%%%%%%
    load q_all_validation.mat
    load dq_all_validation.mat
    load ddq_all_validation.mat
  
```

```

W_validation=zeros(6*size(q_all_validation,1),size(pnum,1));

for i=1:1:size(q_all_validation,1)
    W_validation((i-
1)*6+1:i*6,:)=W_modif(q_all_validation(i,:),dq_all_validation(i,:),ddq_all_val
idation(i,:));
end

%%%%%%%%%%%%%%%%%%%%%%%%%%%%%%%%%%%%%%%%%%%%%%%%%%%%%%%%%%%%%%%%%%%%%%%%
% P=randperm(60);
% P=[1:60];

%P=[10,12,13,15:60];

W=W_estimation(:,P);
% clear W_estimation;
phi=pnum(P);
% clear pnum;
% calculate tau in terms of W and phi
tau=W*phi;
% TAUMAT=vec2mat(tau,6);
% taumax=max(abs(TAUMAT));
% taumax=taumax(:);
taumax=[350;300;125;8;3;1];
sigma=kron(eye(length(W(:,1))/6),inv(diag(taumax)));
% Calculation of the weighted W and tau
tau_orig=tau;
W=sigma*W;
tau=sigma*tau;
% Relative tolerance for the error
% tol=0.001;
% tol=inf
% Total number of parameters of the full model
nparam=length(phi);
% The first reduced W is the full W
Wred=W;
% The first reduced phi is the full phi
phired=phi;
% The vector of the parameters of the reduced model
indexvector=1:nparam;

% -----
% -----
% -----
% -----the algorithm will eliminate one parameter at a
time -----
% -----
% -----

sort_index_vector=zeros(1,length(phi));
for j=1:nparam-1
    error=Inf;

```

```

% the algorithm will check the error eliminating each parameter of the
% current reduced model
for i=1:size(Wred,2)

% v is the vector of the column indices without the i
v=complementary(i,size(Wred,2));

% W_i is matrix Wred without column i
W_i=Wred(:,v);
% tau_i is the part of tau that can be written in terms of W_i
phi_i=pinv(W_i)*tau;
tau_i=W_i*phi_i;
% error_i is the normalized difference between tau and tau_i
if error_norm=='norma_2'
    error_i=norm(tau-tau_i)/norm(tau);
elseif error_norm=='norma_infinito'
    error_i=max(abs(tau-tau_i))/max(abs(tau));
else
    disp('The norm has not been selected
properly')
    return
end
% if the current error is smaller that all the previous ones
% the index of the column is marked as the smallest-error-
column-index
if error_i<error
    error=error_i;
    index=i;
end
end
% if the error between full-model and smallest-error-reduced-model is
smaller than tol
% then reduce the model eliminating column with index "index"
% if error<tol
% v is the vector of the columns without the index
v=complementary(index,size(Wred,2));
% sort_index_vector_elim
sort_index_vector_elim(1,length(phi)+1-j)=indexvector(index);
% Waux is the new reduced model matrix
% phiaux is the new reduced model parameter vector
% auxvector is the index vector of the new reduced model
Waux=Wred(:,v);
phiaux=phired(v);
auxvector=indexvector(v);
clear Wred;
clear phired;
clear indexvector;
Wred=Waux;
phired=phiaux;
indexvector=auxvector;
verror(nparam-j+1)=error;
% vvariance(nparam-j+1)=max(diag(inv(Wred'*Wred)));
end

```

```

sort_index_vector_elim(1,1)=indexvector;
% sort_index_vector_elim;
verror(1)=1;
verror(nparam+1)=verror(nparam);
% vvariance(1)=0;
esterror_elim=verror;
% estvar_elim=vvariance;
clear indexvector;
% figure,semilogy(esterror_elim,'r')
figure(1),semilogy(0:nparam,esterror_elim,'r')
hold on
clear verror
% clear vvariance;
%%%%%%%%%%%%%%%%%%%%%%%%%%%%%%%%%%%%%%%%%%%%%%%%%%%%%%%%%%%%%%%%%%%%%%%%
%%%%%%%%%%%%%%%%%%%%%%%%%%%%%%%%%%%%%%%%%%%%%%%%%%%%%%%%%%%%%%%%%%%%%%%%
%%%%%%%%%%%%%%%%%%%%%%%%%%%%%%%%%%%%%%%%%%%%%%%%%%%%%%%%%%%%%%%%%%%%%%%%
ddq_nom=max(abs(ddq_all), [], 1)';
num_epsilon=zeros(6*size(q_all,1),1);
den_epsilon=zeros(6*size(q_all,1),1);
for i=size(W,2):-1:1
    W_i=W(:,sort_index_vector_elim(1:i));
    phi_i=pinv(W_i)*tau;
    param_i=zeros(size(W,2),1);
    param_i(sort_index_vector_elim(1:i),1)=phi_i;
    param_i;
%     P=[10,12,13,15:60];
    P=[1:60];
    param_i_cristiano=zeros(60,1);
    param_i_cristiano(P)=param_i;
    %Check
    %max(abs(W_estimation*param_i_cristiano-inv(sigma)*W_i*phi_i)) es
    %casi 0
    for j=1:size(q_all,1)
        M=M_modif(q_all(j,:),dq_all(j,:),ddq_all(j,:),param_i_cristiano);
        tau_j=tau_orig(6*(j-1)+1:6*j,1);
%         tau_j
        Q=Q_modif(q_all(j,:),dq_all(j,:),ddq_all(j,:),param_i_cristiano,-
tau_j);

        ddq_all_est_i(j,:)=(inv(M)*Q)';

M_modif(q_all(j,:),dq_all(j,:),ddq_all(j,:),param_i_cristiano)*ddq_all(j,:)'-
Q_modif(q_all(j,:),dq_all(j,:),ddq_all(j,:),param_i_cristiano,-tau_j);
%         ddq_all_est_i(j,:)
%         ddq_all(j,:)
        num_epsilon(6*(j-1)+1:6*j,1)= inv(diag(ddq_nom))*(ddq_all_est_i(j,:)-
ddq_all(j,:))';
        den_epsilon(6*(j-1)+1:6*j,1)= inv(diag(ddq_nom))*ddq_all(j,:);
        end
        BE_epsilon_ddq(i)=norm(num_epsilon)/norm(den_epsilon);
end
figure(2),semilogy(BE_epsilon_ddq,'r')
hold on

```

```

% -----
% -----% -----
% -----
% -----the algorithm will add one parameter at a time
% -----
% -----
% -----

Wred=[];
indexvector=[];
for j=1:nparam
    error=Inf;
%     the algorithm will check the error adding one parameter to the
%     current reduced model
%     v is the vector of the column indices that have not been selected yet
v=complementary(indexvector,nparam);
    for i=1:length(v)
%         W_i is matrix Wred with the additional column i
        W_i=[Wred,W(:,v(i))];
%         tau_i is the part of tau that can be written in terms of W_i
        phi_i=pinv(W_i)*tau;
        tau_i=W_i*phi_i;
%         error_i is the normalized difference between tau and tau_i
        if error_norm=='norma_2'
            error_i=norm(tau-tau_i)/norm(tau);
        elseif error_norm=='norma_infinito'
            error_i=max(abs(tau-tau_i))/max(abs(tau));
        else
            disp('The norm has not been selected
properly')
            return
        end
%         if the current error is smaller than all the previous ones
%         the index of the column is marked as the smallest-error-
column-index
        if error_i<error
            error=error_i;
            index=i;
        end
    end
%     if the error between full-model and smallest-error-reduced-model is
still bigger than tol
%     then extend the model adding the column with index "index"
%     sort_index_vector_add
    sort_index_vector_add(1,j)=v(index);
%     parameter index
    indexvector=[indexvector,v(index)];
%     Wred is the new reduced model matrix
    Wred=W(:,indexvector);
    verror(j+1)=error;
%     vvariance(j+1)=max(diag(inv(Wred'*Wred)));
end
verror(1)=1.0;
% vvariance(1)=0;

```

```

esterror_add=verror;
% estvar_add=vvariance;
indexvector_add=indexvector;
clear indexvector;
clear verror
% clear vvariance;
figure(1), semilogy(0:length(phi), esterror_add, 'g')
addpath('./../');

%%%%%%%%%%%%%%%%%%%%%%%%%%%%%%%%%%%%%%%%%%%%%%%%%%%%%%%%%%%%%%%%%%%%%%%%
%%%%%%%%%%%%%%%%%%%%%%%%%%%%%%%%%%%%%%%%%%%%%%%%%%%%%%%%%%%%%%%%%%%%%%%% errores en aceleraciones ADD %%%%%%%%%
%%%%%%%%%%%%%%%%%%%%%%%%%%%%%%%%%%%%%%%%%%%%%%%%%%%%%%%%%%%%%%%%%%%%%%%%

ddq_nom=max(abs(ddq_all), [], 1)';
num_epsilon=zeros(6*size(q_all,1),1);
den_epsilon=zeros(6*size(q_all,1),1);
for i=size(W,2):-1:1
    W_i=W(:, indexvector_add(1:i));
    phi_i=pinv(W_i)*tau;
    param_i=zeros(size(W,2),1);
    param_i(indexvector_add(1:i),1)=phi_i;
    param_i;
%     P=[10,12,13,15:60];
P=[1:60];
    param_i_cristiano=zeros(60,1);
    param_i_cristiano(P)=param_i;
    %Check
    %max(abs(W_estimation*param_i_cristiano-inv(sigma)*W_i*phi_i)) es
    %casi 0
    for j=1:size(q_all,1)

        M=M_modif(q_all(j,:), dq_all(j,:), ddq_all(j,:), param_i_cristiano);
        tau_j=tau_orig(6*(j-1)+1:6*j,1);
        Q=Q_modif(q_all(j,:), dq_all(j,:), ddq_all(j,:), param_i_cristiano,-
tau_j);

        ddq_all_est_i(j,:)=(inv(M)*Q)';
M_modif(q_all(j,:), dq_all(j,:), ddq_all(j,:), param_i_cristiano)*ddq_all(j,:)'-
Q_modif(q_all(j,:), dq_all(j,:), ddq_all(j,:), param_i_cristiano,-tau_j);

        num_epsilon(6*(j-1)+1:6*j,1)= inv(diag(ddq_nom))*(ddq_all_est_i(j,:)-
ddq_all(j,:))';
        den_epsilon(6*(j-1)+1:6*j,1)= inv(diag(ddq_nom))*ddq_all(j,:);
        end
        FS_epsilon_ddq(i)=norm(num_epsilon)/norm(den_epsilon);
end

figure(2), semilogy(FS_epsilon_ddq, 'g')

% -----
% -----

```

```

% -----
% ----- QR DECOMPOSITION METHOD -----
% -----
% -----

% qr method
% [Q,R,E] = QR(A) produces unitary Q, upper triangular R and a
% permutation matrix E so that A*E = Q*R. The column permutation E is
% chosen so that ABS(DIAG(R)) is decreasing.
[Q,R,E]=qr(W);
indexvector=E'*[1:size(E,1)]';
RAUX=R;
for j=1:nparam
    RAUX(:,nparam-j+1)=zeros(size(R,1),1);
    WAUX=Q*RAUX*E';
    tauredqr=WAUX*(pinv(WAUX)*tau);
    if error_norm=='norma_2'
        auxerror=norm(tau-tauredqr)/norm(tau);
    elseif error_norm=='norma_infinito'
        auxerror=max(abs(tau-tauredqr))/max(abs(tau));
    else
        disp('The norm has not been selected properly')
        return
    end
    verror(nparam-j+1)=auxerror;
    clear Rred;clear Ered;clear QRE;
    Rred=RAUX(:,1:nparam-j);
    Ered=E(:,1:nparam-j);
    QRE=Q*Rred*(Ered)';
    % vvariance(nparam-j+1)=max(diag(inv(QRE'*QRE)));
end

verror(nparam+1)=verror(nparam);
% vvariance(nparam+1)=vvariance(nparam);
esterror_qr=verror;
% estvar_qr=vvariance;
sort_index_vector_qr=indexvector';
clear indexvector;
clear auxerror;
% clear vvariance;
figure(1),semilogy(0:length(phi),esterror_qr,'b')
clear verror
%%%%%%%%%%%%%%%%%%%%%%%%%%%%%%%%%%%%%%%%%%%%%%%%%%%%%%%%%%%%%%%%%%%%%%%%
%%%%%%%%%%%%%%%%%%%%%%%%%%%%%%%%%%%%%%%%%%%%%%%%%%%%%%%%%%%%%%%%%%%%%%%% errores en aceleraciones QR %%%%%%%%%
%%%%%%%%%%%%%%%%%%%%%%%%%%%%%%%%%%%%%%%%%%%%%%%%%%%%%%%%%%%%%%%%%%%%%%%%
ddq_nom=max(abs(ddq_all),[],1)';
num_epsilon=zeros(6*size(q_all,1),1);
den_epsilon=zeros(6*size(q_all,1),1);

for i=size(W,2):-1:1
    W_i=W(:,sort_index_vector_qr(1:i));

```

```

    phi_i=pinv(W_i)*tau;
    param_i=zeros(size(W,2),1);
    param_i(sort_index_vector_qr(1:i),1)=phi_i;
    param_i;
%     P=[10,12,13,15:60];
        P=[1:60];
    param_i_cristiano=zeros(60,1);
    param_i_cristiano(P)=param_i;
    %Check
    %max(abs(W_estimation*param_i_cristiano-inv(sigma)*W_i*phi_i)) es
    %casi 0
    for j=1:size(q_all,1)

        M=M_modif(q_all(j,:),dq_all(j,:),ddq_all(j,:),param_i_cristiano);
            tau_j=tau_orig(6*(j-1)+1:6*j,1);
        Q=Q_modif(q_all(j,:),dq_all(j,:),ddq_all(j,:),param_i_cristiano,-
tau_j);
            ddq_all_est_i(j,:)=(inv(M)*Q)';
M_modif(q_all(j,:),dq_all(j,:),ddq_all(j,:),param_i_cristiano)*ddq_all(j,:)'-
Q_modif(q_all(j,:),dq_all(j,:),ddq_all(j,:),param_i_cristiano,-tau_j);

        num_epsilon(6*(j-1)+1:6*j,1)= inv(diag(ddq_nom))*(ddq_all_est_i(j,:)-
ddq_all(j,:))';
        den_epsilon(6*(j-1)+1:6*j,1)= inv(diag(ddq_nom))*ddq_all(j,:);
        end
        QR_epsilon_ddq(i)=norm(num_epsilon)/norm(den_epsilon);
end
figure(2),semilogy(QR_epsilon_ddq,'b')
% -----
% -----
% -----
% ----- VALIDATION OF THE REDUCTION METHODS -----
% -----
% -----
% -----
% -----
% load Wvalidation.mat;
% load W_validation.mat
W_val=W_validation(:,P);
clear W_validation;
W_validation=W_val;
tauval=W_validation*phi;
tau_orig_validation=tauval;
sigma_val=kron(eye(length(tauval)/6),inv(diag(taumax)));
W_validation=sigma_val*W_validation;
tauval=sigma_val*tauval;
for i=2:length(phi)+1
    % independent and dependent parameters for each reduced model
    % Indices of the independent parameters
    pind_elim=sort_index_vector_elim(1:i-1);
    pind_add =sort_index_vector_add(1:i-1);

```



```

pind_qr =sort_index_vector_qr(1:i-1);
% Indices of the dependent parameters
pdep_elim=complementary(pind_elim,length(phi));
pdep_add =complementary(pind_add ,length(phi));
pdep_qr =complementary(pind_qr ,length(phi));
% tau estimation of the reduced models with the parameters estimated
from the estimation trajectory
taured_elim=W_validation(:,pind_elim)*pinv(W(:,pind_elim))*tau;
taured_add =W_validation(:,pind_add )*pinv(W(:,pind_add ))*tau;
taured_qr =W_validation(:,pind_qr )*pinv(W(:,pind_qr ))*tau;
if error_norm=='norma_2'
    valerror_elim(i)=norm(tauval -
taured_elim)/norm(tauval);
    valerror_add(i) =norm(tauval - taured_add
)/norm(tauval);
    valerror_qr(i) =norm(tauval - taured_qr
)/norm(tauval);
elseif error_norm=='norma_infinito'
    valerror_elim(i)=max(abs(tauval -
taured_elim))/max(abs(tauval));
    valerror_add(i) =max(abs(tauval - taured_add
))/max(abs(tauval));
    valerror_qr(i) =max(abs(tauval - taured_qr
))/max(abs(tauval));
else
    disp('The norm has not been selected properly')
    return
end

if true
    tau_1=tauval(1:6:end);
    tau_2=tauval(2:6:end);
    tau_3=tauval(3:6:end);
    tau_4=tauval(4:6:end);
    tau_5=tauval(5:6:end);
    tau_6=tauval(6:6:end);

    taured_add_1=taured_add(1:6:end);
    taured_add_2=taured_add(2:6:end);
    taured_add_3=taured_add(3:6:end);
    taured_add_4=taured_add(4:6:end);
    taured_add_5=taured_add(5:6:end);
    taured_add_6=taured_add(6:6:end);
    figure(3),plot(0:pi/50:2*pi,tau_1,'r',0:pi/50:2*pi,taured_add_1,'r--')
    figure(3),hold on
    figure(3),plot(0:pi/50:2*pi,tau_2,'g',0:pi/50:2*pi,taured_add_2,'g--')
    figure(3),plot(0:pi/50:2*pi,tau_3,'b',0:pi/50:2*pi,taured_add_3,'b--')
    figure(3),plot(0:pi/50:2*pi,tau_4,'m',0:pi/50:2*pi,taured_add_4,'m--')
    figure(3),plot(0:pi/50:2*pi,tau_5,'k',0:pi/50:2*pi,taured_add_5,'k--')
    figure(3),plot(0:pi/50:2*pi,tau_6,'c',0:pi/50:2*pi,taured_add_6,'c--')
    ss2=num2str(i-1);
    ss1=['Numero de parametros del modelo: '];
    ss=[ss1,ss2];
    figure(3),title(ss);

```

```

        pause
        figure(3),hold off

    end

end

valerror_elim(1)=1.0;
valerror_add(1) =1.0;
valerror_qr(1)  =1.0;
vparam=0:length(phi);
figure(1),semilogy(vparam,valerror_elim,'r--','LineWidth',2.0)
figure(1),semilogy(vparam,valerror_add ,'g--','LineWidth',2.0)
figure(1),semilogy(vparam,valerror_qr , 'b--','LineWidth',2.0)
figure(1),legend('eliminating','adding','qr','eliminating','adding','qr')
figure(1),semilogy([0,length(phi)], [1e-5,1e-5], 'k', 'LineWidth',0.5)
figure(1),semilogy([0,length(phi)], [1e-4,1e-4], 'k', 'LineWidth',0.5)
figure(1),semilogy([0,length(phi)], [1e-3,1e-3], 'k', 'LineWidth',0.5)
figure(1),semilogy([0,length(phi)], [1e-2,1e-2], 'k', 'LineWidth',0.5)
figure(1),semilogy([0,length(phi)], [1e-1,1e-1], 'k', 'LineWidth',0.5)
%title('REDUCCION Y VALIDACION PUMA. Lineas solidas: trayectorias estimacion
(25). Lineas a trazos: trayectoria validacion (1).')
figure(1),xlabel('Numero de parametros del modelo')
if error_norm=='norma_infinito'
    figure(1),ylabel('Error (Norma Infinito Normalizada)');
end
if error_norm=='norma_2'
    figure(1),ylabel('Error (Norma 2 Normalizada)');
end
% Order of the parameters for different reduction methods
% load psym.mat;
load psym;
psym_aux=psym(P);
clear psym;
psym=psym_aux;
clear psym_aux;
pind_elim_sym =psym(sort_index_vector_elim);
pind_add_sym  =psym(sort_index_vector_add);
pind_qr_sym   =psym(sort_index_vector_qr);
valerror_elim=valerror_elim(:);
valerror_add=valerror_add(:);
valerror_qr=valerror_qr(:);
save valerror_elim valerror_elim;
save valerror_add  valerror_add;
save valerror_qr   valerror_qr;

%%%%%%%%%%%%%%%%%%%%%%%%%%%%%%%%%%%%%%%%%%%%%%%%%%%%%%%%%%%%%%%%%%%%%%%%
%%%%%%%%%%%%%%%%%%%%%%%%%%%%%%%%%%%%%%%%%%%%%%%%%%%%%%%%%%%%%%%%%%%%%%%% errores en aceleraciones ELIM %%%%%%%%%
%%%%%%%%%%%%%%%%%%%%%%%%%%%%%%%%%%%%%%%%%%%%%%%%%%%%%%%%%%%%%%%%%%%%%%%%
ddq_nom_validation=max(abs(ddq_all_validation), [],1)';

num_epsilon_validation=zeros(6*size(q_all_validation,1),1);
den_epsilon_validation=zeros(6*size(q_all_validation,1),1);
for i=size(W,2):-1:1
    W_i=W_validation(:,sort_index_vector_elim(1:i));
    phi_i=pinv(W_i)*tauval;

```

```

    param_i=zeros(size(W_validation,2),1);
    param_i(sort_index_vector_elim(1:i),1)=phi_i;
    param_i;
%     P=[10,12,13,15:60];
    P=[1:60];
    param_i_cristiano=zeros(60,1);
    param_i_cristiano(P)=param_i;
    %Check
    %max(abs(W_estimation*param_i_cristiano-inv(sigma)*W_i*phi_i)) es
    %casi 0
    for j=1:size(q_all_validation,1)
        M=M_modif(q_all_validation(j,:),dq_all_validation(j,:),ddq_all_validation(j,:),param_i_cristiano);
        tau_j=tau_orig_validation(6*(j-1)+1:6*j,1);
        Q=Q_modif(q_all_validation(j,:),dq_all_validation(j,:),ddq_all_validation(j,:),param_i_cristiano,-tau_j);
        ddq_all_validation_est_i(j,:)=(inv(M)*Q)';

        num_epsilon_validation(6*(j-1)+1:6*j,1)=
        inv(diag(ddq_nom_validation))* (ddq_all_validation_est_i(j,:)-
        ddq_all_validation(j,:))';
        den_epsilon_validation(6*(j-1)+1:6*j,1)=
        inv(diag(ddq_nom_validation))*ddq_all_validation(j,:);
    end
    BE_epsilon_ddq_validation(i)=norm(num_epsilon_validation)/norm(den_epsilon_validation);
end

figure(2),semilogy(BE_epsilon_ddq_validation,'r--')
%%%%%%%%%%%%%%%%%%%%%%%%%%%%%%%%%%%%%%%%%%%%%%%%%%%%%%%%%%%%%%%%%%%%%%%%
%%%%%%%%%%%%%%%%%%%%%%%%%%%%%%%%%%%%%%%%%%%%%%%%%%%%%%%%%%%%%%%%%%%%%%%% errores en aceleraciones ADD %%%%%%%%%
%%%%%%%%%%%%%%%%%%%%%%%%%%%%%%%%%%%%%%%%%%%%%%%%%%%%%%%%%%%%%%%%%%%%%%%%
ddq_nom_validation=max(abs(ddq_all_validation),[],1)';
num_epsilon_validation=zeros(6*size(q_all_validation,1),1);
den_epsilon_validation=zeros(6*size(q_all_validation,1),1);
for i=size(W,2):-1:1
    W_i=W_validation(:,indexvector_add(1:i));
    phi_i=pinv(W_i)*tauval;
    param_i=zeros(size(W_validation,2),1);
    param_i(indexvector_add(1:i),1)=phi_i;
    param_i;
%     P=[10,12,13,15:60];
    P=[1:60];
    param_i_cristiano=zeros(60,1);
    param_i_cristiano(P)=param_i;
    %Check
    %max(abs(W_estimation*param_i_cristiano-inv(sigma)*W_i*phi_i)) es
    %casi 0
    for j=1:size(q_all_validation,1)
        M=M_modif(q_all_validation(j,:),dq_all_validation(j,:),ddq_all_validation(j,:),param_i_cristiano);

        tau_j=tau_orig_validation(6*(j-1)+1:6*j,1);

```

```

    Q=Q_modif(q_all_validation(j,:),dq_all_validation(j,:),ddq_all_validation(j,:),param_i_cristiano,-tau_j);
    ddq_all_validation_est_i(j,:)=(inv(M)*Q)';

    num_epsilon_validation(6*(j-1)+1:6*j,1)=
    inv(diag(ddq_nom_validation))*(ddq_all_validation_est_i(j,:)-
    ddq_all_validation(j,:))';
    den_epsilon_validation(6*(j-1)+1:6*j,1)=
    inv(diag(ddq_nom_validation))*ddq_all_validation(j,:);
    end
    FS_epsilon_ddq_validation(i)=norm(num_epsilon_validation)/norm(den_epsilon_validation);
end
figure(2),semilogy(FS_epsilon_ddq_validation,'g--')

%%%%%%%%%%%%%%%%%%%%%%%%%%%%%%%%%%%%%%%%%%%%%%%%%%%%%%%%%%%%%%%%%%%%%%%%
%errores en aceleraciones QR %%%%%%%%%
%%%%%%%%%%%%%%%%%%%%%%%%%%%%%%%%%%%%%%%%%%%%%%%%%%%%%%%%%%%%%%%%%%%%%%%%
ddq_nom_validation=max(abs(ddq_all_validation),[],1)';

num_epsilon_validation=zeros(6*size(q_all_validation,1),1);
den_epsilon_validation=zeros(6*size(q_all_validation,1),1);
for i=size(W,2):-1:1
    W_i=W_validation(:,sort_index_vector_qr(1:i));
    phi_i=pinv(W_i)*tauval;
    param_i=zeros(size(W_validation,2),1);
    param_i(sort_index_vector_qr(1:i),1)=phi_i;
    param_i;
%
    P=[10,12,13,15:60];
    P=[1:60];
    param_i_cristiano=zeros(60,1);
    param_i_cristiano(P)=param_i;
    %Check
    %max(abs(W_estimation*param_i_cristiano-inv(sigma)*W_i*phi_i)) es
    %casi 0
    for j=1:size(q_all_validation,1)
        M=M_modif(q_all_validation(j,:),dq_all_validation(j,:),ddq_all_validation(j,:),param_i_cristiano);
        tau_j=tau_orig_validation(6*(j-1)+1:6*j,1);
        Q=Q_modif(q_all_validation(j,:),dq_all_validation(j,:),ddq_all_validation(j,:),param_i_cristiano,-tau_j);
        ddq_all_validation_est_i(j,:)=(inv(M)*Q)';

        num_epsilon_validation(6*(j-1)+1:6*j,1)=
        inv(diag(ddq_nom_validation))*(ddq_all_validation_est_i(j,:)-
        ddq_all_validation(j,:))';
        den_epsilon_validation(6*(j-1)+1:6*j,1)=
        inv(diag(ddq_nom_validation))*ddq_all_validation(j,:);
        end
        QR_epsilon_ddq_validation(i)=norm(num_epsilon_validation)/norm(den_epsilon_validation);
    end
    figure(2),semilogy(QR_epsilon_ddq_validation,'b--')
    figure(2),legend('eliminating','adding','qr','eliminating','adding','qr')
%%%%%%%%%%%%%%%%%%%%%%%%%%%%%%%%%%%%%%%%%%%%%%%%%%%%%%%%%%%%%%%%%%%%%%%%

```

```

%%%%%%%%%%%%%%%%%%%%%%%%%%%%%%%%%%%%%%%%%%%%%%%%%%%%%%%%%%%%%%%%%%%%%%%%%% FIN errores en aceleraciones %%%%%%%%%%%%%%%%%%%%%%%%%%%%%%%%%%%%%%%%%%%%%%%%%%%%%%%%%%%%%%%%%%%%%%%%%%%
%%%%%%%%%%%%%%%%%%%%%%%%%%%%%%%%%%%%%%%%%%%%%%%%%%%%%%%%%%%%%%%%%%%%%%%%%%
fprintf('-----\n');
fprintf('----- Parameter order for ELIMINATION algorithm. -----\n');
fprintf('-----\n');
disp('Code for pind_elim_sym')
for i=length(pind_elim_sym):-1:1
    fprintf('v1.push_back( %s );\n',char(pind_elim_sym(i)));
end
fprintf('\n\n')

for i=length(pind_elim_sym):-1:1
    fprintf('%d,',sort_index_vector_elim(i));
end
fprintf('\n\n')
fprintf('-----\n');
fprintf('----- Parameter order for ADDITION algorithm. -----\n');
fprintf('-----\n');
disp('Code for pind_add_sym')
for i=length(pind_add_sym):-1:1
    fprintf('v1.push_back( %s );\n',char(pind_add_sym(i)));
end
fprintf('\n\n')
for i=length(pind_add_sym):-1:1
    fprintf('%d,',sort_index_vector_add(i));
end
fprintf('\n\n')
fprintf('-----\n');
fprintf('----- Parameter order for QR algorithm. -----\n');
fprintf('-----\n');
disp('Code for pind_qr_sym')
for i=length(pind_qr_sym):-1:1
    fprintf('v1.push_back( %s );\n',char(pind_qr_sym(i)));
end
fprintf('\n\n')
for i=length(pind_qr_sym):-1:1
    fprintf('%d,',sort_index_vector_qr(i));
end
fprintf('\n\n')
save pind_elim_sym pind_elim_sym
save pind_add_sym pind_add_sym
save pind_qr_sym pind_qr_sym
save sort_index_vector_elim sort_index_vector_elim
save sort_index_vector_add sort_index_vector_add
save sort_index_vector_qr sort_index_vector_qr
  
```

## Reducción de Parámetros del PUMA 560 basada en L1

```

% function reduction by L1 norm ;
clear all
% close all
%%%%%%%%%%%%%%%%%%%%%%%%%%%%%%%%%%%%%%%%%%%%%%%%%%%%%%%%%%%%%%%%%%%%%%%%
%%%%%%%%%%%%%%%%%%%%%%%%%%%%%%%%%%%%%%%%%%%%%%%%%%%%%%%%%%%%%%%%%%%%%%%%
addpath('./../lin_alg/');
addpath('./../../../../GENERATED_files_matlab/');
path(path, './Optimization');
%%%%%%%%%%%%%%%%%%%%%%%%%%%%%%%%%%%%%%%%%%%%%%%%%%%%%%%%%%%%%%%%%%%%%%%%
%%%%%%%%%%%%%%%%%%%%%%%%%%%%%%%%%%%%%%%%%%%%%%%%%%%%%%%%%%%%%%%%%%%%%%%%
clear all;
warning('OFF','all');
USER_defines;
% Init_variables_parameters;
COORD='COORD_DEP';
SIZE='DDL';
INTEG='EULER';
LIN='INV';
%%%%%%%%%%%%%%%%%%%%%%%%%%%%%%%%%%%%%%%%%%%%%%%%%%%%%%%%%%%%%%%%%%%%%%%%
%%%%%%%%%%%%%%%%%%%%%%%%%%%%%%%%%%%%%%%%%%%%%%%%%%%%%%%%%%%%%%%%%%%%%%%%
param_init;
%error_norm='norma_infinito';
error_norm='norma_2';
% load matrix W and vector phi
% load W_estimation.mat;
% load pnum.mat;
load pnum.mat;
load q_all.mat
load dq_all.mat
load ddq_all.mat
W_estimation=zeros(6*size(q_all,1),size(pnum,1));
for i=1:1:size(q_all,1)
    W_estimation((i-
1)*6+1:i*6,:)=W_modif(q_all(i,:),dq_all(i,:),ddq_all(i,:));
end
%%%%%%%%%%%%%%%%%%%%%%%%%%%%%%%%%%%%%%%%%%%%%%%%%%%%%%%%%%%%%%%%%%%%%%%%
load q_all_validation.mat
load dq_all_validation.mat
load ddq_all_validation.mat
W_validation=zeros(6*size(q_all_validation,1),size(pnum,1));
for i=1:1:size(q_all_validation,1)
    W_validation((i-
1)*6+1:i*6,:)=W_modif(q_all_validation(i,:),dq_all_validation(i,:),ddq_all_val
idation(i,:));
end
%%%%%%%%%%%%%%%%%%%%%%%%%%%%%%%%%%%%%%%%%%%%%%%%%%%%%%%%%%%%%%%%%%%%%%%%
P=1:60;
% P=[10,12,13,15:60];
% miperm=randperm(length(P));
% P=P(:,miperm);
dynamic_parameters
W=W_estimation(:,P);

```

```

% clear W_estimation;
phi=pnum(P);
% clear pnum;
dynamic_parameters
% W=W*PondPr;
% calculate tau in terms of W and phi
tau=W*phi;
TAUMAT=vec2mat(tau,6);
taumax=max(abs(TAUMAT));
taumax=taumax(:);
taumax=[350;300;125;8;3;1];
sigma=kron(eye(length(W(:,1))/6),inv(diag(taumax)));
% Calculation of the weighted W and tau
tau_orig=tau;
W=sigma*W;
tau=sigma*tau;
Phi0=phi;
% large scale
Afun = @(z) W*z;
Atfun = @(z) W'*z;
tic
    xp = l1eq_pd(Phi0, Afun, Atfun, tau, 1e-4, 30000, 1e-10, 200000);
% xp = l1eq_pd(Phi0, W, W', tau, 1e-6, 300, 1e-12, 200);
toc
phi=xp;
%Checks
max(abs(W*Phi0-tau))
max(abs(W*phi-tau))
% Total number of parameters of the full model
nparam=length(phi);
% The first reduced W is the full W
Wred=W;
% The first reduced phi is the full phi
phired=phi;
% The vector of the parameters of the reduced model
indexvector=1:nparam;
sort_index_vector=zeros(1,length(phi));
phi_f=phi;
index=0;
for j=1:nparam-1
    error=Inf;
%find the minimum value:
%     v is the vector of the column indices without the j
    if index==0
        v=indexvector;
    else
        v(:,index)=[];
    end
    if index==0
        phi_f=phi_f;
    else
        phi_f(index,:)=[];
    end
end
%     W_i is matrix Wred without column i

```

```

        W_i=Wred(:,v);
%       tau_i is the part of tau that can be written in terms of W_i
        phi_i=pinv(W_i)*tau;
        tau_i=W_i*phi_i;
        error_i=norm(tau-tau_i)/norm(tau);
%       if the current error is smaller that all the previous
ones
        if error_i<error
            error=error_i;
            end
        [x i]=min(abs(phi_f));
        index=i;
        index=i;
        Vi= v(index);
        verror(nparam-j+1)=error;
        vindex(nparam-j+1)=Vi;
    end
% sort_index_vector_elim(1,1)=indexvector;
% sort_index_vector_elim;
vindex(1,1)=v(1,2);
verror(1)=1;
verror(nparam+1)=verror(nparam);
esterror_elim=verror;
clear indexvector;
save verror verror;
paraml1=(0:nparam);
save paraml1 paraml1;
figure(1),semilogy(0:nparam,esterror_elim,'m')
hold on
% clear verror
% open GPPHI.fig
load psym;
psym_aux=psym(P);
clear psym;
psym=psym_aux;
clear psym_aux;
pind_elim_sym =psym(vindex');
disp('Code for pind_elim_sym')
for i=length(pind_elim_sym):-1:1
    fprintf('v1.push_back( &%s );\n',char(pind_elim_sym(i)));
end
fprintf('\n\n')

for i=length(pind_elim_sym):-1:1
    fprintf('%d,',vindex(1,i));
end
fprintf('\n\n')

```



## Reducción de Parámetros del PUMA 560 basada en L1 iterativo

```

% function Reduction by the iterative L1 norm;
clear all
% close all
%%%%%%%%%%%%%%%%%%%%%%%%%%%%%%%%%%%%%%%%%%%%%%%%%%%%%%%%%%%%%%%%%%%%%%%%
addpath('./../lin_alg/');
addpath('./../.../GENERATED_files_matlab/');
path(path, './Optimization');
%%%%%%%%%%%%%%%%%%%%%%%%%%%%%%%%%%%%%%%%%%%%%%%%%%%%%%%%%%%%%%%%%%%%%%%%
clear all;
warning('OFF','all');
USER_defines;
% Init_variables_parameters;
COORD='COORD_DEP';
SIZE='DDL';
INTEG='EULER';
LIN='INV';
param_init;
%%%%%%%%%%%%%%%%%%%%%%%%%%%%%%%%%%%%%%%%%%%%%%%%%%%%%%%%%%%%%%%%%%%%%%%%
% %error_norm='norma_infinito';
% error_norm='norma_2';
% load matrix W and vector phi
% load W_estimation.mat;
% load pnum.mat;
load pnum.mat;
load q_all.mat
load dq_all.mat
load ddq_all.mat
W_estimation=zeros(6*size(q_all,1),size(pnum,1));
for i=1:1:size(q_all,1)
    W_estimation((i-
1)*6+1:i*6,:)=W_modif(q_all(i,:),dq_all(i,:),ddq_all(i,:));
end
%%%%%%%%%%%%%%%%%%%%%%%%%%%%%%%%%%%%%%%%%%%%%%%%%%%%%%%%%%%%%%%%%%%%%%%%
load q_all_validation.mat
load dq_all_validation.mat
load ddq_all_validation.mat
W_validation=zeros(6*size(q_all_validation,1),size(pnum,1));
for i=1:1:size(q_all_validation,1)
    W_validation((i-
1)*6+1:i*6,:)=W_modif(q_all_validation(i,:),dq_all_validation(i,:),ddq_all_val
idation(i,:));
end
%%%%%%%%%%%%%%%%%%%%%%%%%%%%%%%%%%%%%%%%%%%%%%%%%%%%%%%%%%%%%%%%%%%%%%%%
P=1:60;
%
% P=[10,12,13,15:60];
% miperm=randperm(length(P));
% P=P(:,miperm);
W=W_estimation(:,P);
% clear W_estimation;
phi=pnum(P);
% clear pnum;

```

```

% calculate tau in terms of W and phi
tau=W*phi;
taumax=[350;300;125;8;3;1];
sigma=kron(eye(length(W(:,1))/6),inv(diag(taumax)));
Wp_sigma=sigma*W;
tau=sigma*tau;

Wp=sigma*W;
load xp
% Phi0=phi;
Phi0=xp;
% large scale
Afun = @(z) Wp*z;
Atfun = @(z) Wp'*z;
tic
xp = lleq_pd(Phi0, Afun, Atfun, tau, 1e-4, 30000, 1e-14, 200000);
% xp = lleq_pd(Phi0, W, W', tau, 1e-6, 300, 1e-12, 200);
toc
phi=xp;
%Checks
max(abs(Wp*Phi0-tau))
max(abs(Wp*phi-tau))
k=(pinv(Wp)*tau);
max(abs(Wp*k-tau))
% Total number of parameters of the full model
nparam=length(phi);
% The first reduced W is the full W
Wred=Wp;
% The vector of the parameters of the reduced model
indexvector=1:nparam;
sort_index_vector=zeros(1,nparam);
% The first reduced phi is the full phi
phi_f=Phi0;
index=0;
for j=1:nparam-1
% v is the vector of the column indices without the j
if index==0
v=indexvector;
else
v(:,index)=[];
end

if index==0
phi_f=phi_f;
else
phi_f(index,:)=[];
end

Wp_i=Wp(:,v);
phi_norm_i=pinv(Wp_i)*tau;
tau_i=Wp_i*phi_norm_i;
Phi0_i=phi_f;
Afun = @(z) Wp_i*z;
Atfun = @(z) Wp_i'*z;
tic

```

```

xp = lleq_pd(Phi0_i, Afun, Atfun, tau_i, 1e-4, 30000, 1e-14, 200000);
toc
phi_N=xp;
            error_i=norm(tau-tau_i)/norm(tau);
            [x i]=min(abs(phi_N));
            index=i;
            Vi= v(index);
            verror(nparam-j+1)=error_i;
            vindex(nparam-j+1)=Vi;
end
vindex(1,1)=v(1,1);
verror(1)=1;
verror(nparam+1)=verror(nparam);
esterror_elim=verror;
clear indexvector;
save verror verror;
paraml1=(0:nparam);
save paraml1 paraml1;
figure(3),semilogy(0:nparam,esterror_elim,'B')

% hold on
% clear verror
% open GPPHI.fig

fprintf('-----\n');
fprintf('----- Parameter order for ELIMINATION algorithm. -----\n');
fprintf('-----\n');
load psym;
psym_aux=psym(P);
clear psym;
psym=psym_aux;
clear psym_aux;

pind_elim_sym =psym(vindex');

disp('Code for pind_elim_sym')
for i=length(pind_elim_sym):-1:1
    fprintf('v1.push_back( &%s );\n',char(pind_elim_sym(i)));
end
fprintf('\n\n')

for i=length(pind_elim_sym):-1:1
    fprintf('%d,',vindex(1,i));
end
fprintf('\n\n')
error_norm='norma_2      ';

```

## Reducción de Parámetros del PUMA 560 basada en FS iterativo

```

function FS Two iterations ;
clear all
%%%%%%%%%%%%%%%%%%%%%%%%%%%%%%%%%%%%%%%%%%%%%%%%%%%%%%%%%%%%%%%%%%%%%%%%
%%%%%%%%%%%%%%%%%%%%%%%%%%%%%%%%%%%%%%%%%%%%%%%%%%%%%%%%%%%%%%%%%%%%%%%%
addpath('./../lin_alg/');
addpath('./../.../GENERATED_files_matlab/');
%%%%%%%%%%%%%%%%%%%%%%%%%%%%%%%%%%%%%%%%%%%%%%%%%%%%%%%%%%%%%%%%%%%%%%%%
%%%%%%%%%%%%%%%%%%%%%%%%%%%%%%%%%%%%%%%%%%%%%%%%%%%%%%%%%%%%%%%%%%%%%%%%
clear all;
warning('OFF','all');
USER_defines;
% Init_variables_parameters;
COORD='COORD_DEP';
SIZE='DDL';
INTEG='EULER';
LIN='INV';
%%%%%%%%%%%%%%%%%%%%%%%%%%%%%%%%%%%%%%%%%%%%%%%%%%%%%%%%%%%%%%%%%%%%%%%%
%%%%%%%%%%%%%%%%%%%%%%%%%%%%%%%%%%%%%%%%%%%%%%%%%%%%%%%%%%%%%%%%%%%%%%%%
param_init;
error_norm='norma_2      ';
load pnum.mat;
load q_all.mat
load dq_all.mat
load ddq_all.mat
W_estimation=zeros(6*size(q_all,1),size(pnum,1));
for i=1:1:size(q_all,1)
    W_estimation((i-
1)*6+1:i*6,:)=W_modif(q_all(i,:),dq_all(i,:),ddq_all(i,:));
end
%%%%%%%%%%%%%%%%%%%%%%%%%%%%%%%%%%%%%%%%%%%%%%%%%%%%%%%%%%%%%%%%%%%%%%%%
load q_all_validation.mat
load dq_all_validation.mat
load ddq_all_validation.mat
W_validation=zeros(6*size(q_all_validation,1),size(pnum,1));
for i=1:1:size(q_all_validation,1)
    W_validation((i-
1)*6+1:i*6,:)=W_modif(q_all_validation(i,:),dq_all_validation(i,:),ddq_all_val
idation(i,:));
End
%%%%%%%%%%%%%%%%%%%%%%%%%%%%%%%%%%%%%%%%%%%%%%%%%%%%%%%%%%%%%%%%%%%%%%%%
% P=randperm(60);
P=1:60;
% P=[10,12,13,15:60];
W=W_estimation(:,P);
% clear W_estimation;
phi=pnum(P);
% clear pnum;
% calculate tau in terms of W and phi
tau=W*phi;
taumax=[350;300;125;8;3;1];
sigma=kron(eye(length(W(:,1))/6),inv(diag(taumax)));
% Calculation of the weighted W and tau

```

```

tau_orig=tau;
W=sigma*W;
tau=sigma*tau;
phi_R=[];
phi_L=[];
indexparam=1:length(phi);
vparam=zeros(length(phi));
nparam=1:length(phi);
indexparam_1=1:length(phi);
v_i=[];
v_3=[];
for j=1:length(vparam)
    for i=1:length(indexparam);
        if phi_R==0
            v=i;
        else
            v=[v_i;indexparam(i)];
        end
        Wp_i=W(:,v);
        phi_i=pinv(Wp_i)*tau;
        tau_i=Wp_i*phi_i;
        error_i=norm(tau-tau_i)/norm(tau);
        verror_i(i)=error_i;
    end
    [x p]=min(abs(verror_i));
    index=indexparam(1,p);
    v_i(j,1)=index;
    phi_L1=v_i(end);
    clear verror_i
    phi_R=phi(v_i);
    v_1=v_i;
    verror_1=x;
    for k=1:length(indexparam);

        if length(phi_R)<=1;
            v=k;
        else
            if k==1;
                posphi_L=find(v_i(:,1)==(phi_L));
                v_i(posphi_L,:)=[];
                indexparam(end+1)=phi_L;
                indexparam=sort(indexparam);
                pos = ismember(indexparam(1,:),(v_i));
                pos=find(pos);
                indexparam(:,pos)=[];
            v=[v_i;indexparam(k)];
            else
                v=[v_i;indexparam(k)];
            end
        end
        Wp_k=W(:,v);
        phi_k=pinv(Wp_k)*tau;
        tau_k=Wp_k*phi_k;
        error_k=norm(tau-tau_k)/norm(tau);
    end
end

```

```

        verror_k(k)=error_k;
    end
    [x1 p1]=min(abs(verror_k));
    index2=indexparam(1,p1);
    verror(j)=x1;
    v_i(j,1)=index2;
    phi_R=phi(v_i);
    v_2=v_i;
    verror_2=x1;
    if abs((abs(verror_2)-abs(verror_1)))< 1e-15;
    if length(v_i)<=1;
        v_i=v_1;
        verror(j)=verror_1;
        index2=v_i(end);
        indexparam=setdiff(indexparam_1(1,:),(v_i));
    else
        v_i=v_1;
        verror(j)=verror_1;
        index2=v_i(end-1);
        indexparam=setdiff(indexparam_1(1,:),(v_i));
    end
    if length(v_i)<=1;
        phi_L=v_i(end);
    else
        phi_L=v_i(end);
    end
    clear verror_k
    else
    if abs(verror_2)<abs(verror_1);
    if length(v_i)<=1;
        verror(j)=x1;
        v_i(j,1)=index2;
        indexparam=setdiff(indexparam_1(1,:),(v_i));
    else
        v_i=v_2;
        verror(j)=verror_2;
        % index2=v_i(end-1);
        indexparam=setdiff(indexparam_1(1,:),(v_i));
    end
    if length(v_i)<=1;
        phi_L=v_i(end);
    else
        phi_L=v_i(end-1);
    end
    clear verror_k
    else
    if length(v_i)<=1;
        v_i=v_1;
        verror(j)=verror_1;
        index2=v_i(end);
        indexparam=setdiff(indexparam_1(1,:),(v_i));
    else
        v_i=v_1;
        verror(j)=verror_1;

```

```

index2=v_i(end-1);
indexparam=setdiff(indexparam_1(1,:),(v_i));
end
if length(v_i)<=1;
    phi_L=v_i(end);
else
    phi_L=v_i(end);
end
clear verror_k
end
end
v_3{j}=v_i;
end
v_i(1,1)=v(1,1);
verror(nparam+1)=verror(nparam);
verror(1)=1;
esterror_elim=verror;
clear indexvector;
save verror verror;
paraml1=(0:length(phi));
save paraml1 paraml1;
figure(1),semilogy(0:length(phi),esterror_elim,'m')
% hold on
fprintf('-----\n');
fprintf('----- Parameter order for ELIMINATION algorithm. -----\n');
fprintf('-----\n');
load psym;
pind_elim_sym =psym(v_i);
disp('Code for pind_elim_sym')
for i=length(pind_elim_sym):-1:1
    fprintf('v1.push_back( &%s );\n',char(pind_elim_sym(i)));
end
fprintf('\n\n')

for i=length(pind_elim_sym):-1:1
    fprintf('%d,',v_i(i));
end
fprintf('\n\n')
error_norm='norma_2      ';

```

## Reducción de Parámetros del PUMA 560 basada en PE

```

function SDV Decomposition (Esestial Parameters);
clear all
% close all
%%%%%%%%%%%%%%%%%%%%%%%%%%%%%%%%%%%%%%%%%%%%%%%%%%%%%%%%%%%%%%%%%%%%%%%%
%%%%%%%%%%%%%%%%%%%%%%%%%%%%%%%%%%%%%%%%%%%%%%%%%%%%%%%%%%%%%%%%%%%%%%%%
addpath('./../lin_alg/');
addpath('./../../../../GENERATED_files_matlab/');
path(path, './Optimization');
%%%%%%%%%%%%%%%%%%%%%%%%%%%%%%%%%%%%%%%%%%%%%%%%%%%%%%%%%%%%%%%%%%%%%%%%
%%%%%%%%%%%%%%%%%%%%%%%%%%%%%%%%%%%%%%%%%%%%%%%%%%%%%%%%%%%%%%%%%%%%%%%%
clear all;
warning('OFF','all');
USER_defines;
% Init_variables_parameters;
COORD='COORD_DEP';
SIZE='DDL';
INTEG='EULER';
LIN='INV';
%%%%%%%%%%%%%%%%%%%%%%%%%%%%%%%%%%%%%%%%%%%%%%%%%%%%%%%%%%%%%%%%%%%%%%%%
%%%%%%%%%%%%%%%%%%%%%%%%%%%%%%%%%%%%%%%%%%%%%%%%%%%%%%%%%%%%%%%%%%%%%%%%
param_init;
% %error_norm='norma_infinito';
% error_norm='norma_2      ';
% load matrix W and vector phi
% load W_estimation.mat;
% load pnum.mat;
load pnum.mat;
load q_all.mat
load dq_all.mat
load ddq_all.mat
W_estimation=zeros(6*size(q_all,1),size(pnum,1));
for i=1:1:size(q_all,1)
    W_estimation((i-
1)*6+1:i*6,:)=W_modif(q_all(i,:),dq_all(i,:),ddq_all(i,:));
end
%%%%%%%%%%%%%%%%%%%%%%%%%%%%%%%%%%%%%%%%%%%%%%%%%%%%%%%%%%%%%%%%%%%%%%%%
load q_all_validation.mat
load dq_all_validation.mat
load ddq_all_validation.mat
W_validation=zeros(6*size(q_all_validation,1),size(pnum,1));
for i=1:1:size(q_all_validation,1)
    W_validation((i-
1)*6+1:i*6,:)=W_modif(q_all_validation(i,:),dq_all_validation(i,:),ddq_all_val
idation(i,:));
end
%%%%%%%%%%%%%%%%%%%%%%%%%%%%%%%%%%%%%%%%%%%%%%%%%%%%%%%%%%%%%%%%%%%%%%%%
P=1:60;
W=W_estimation(:,P);
% clear W_estimation;
phi=pnum(P);
% clear pnum;

```



```

% calculate tau in terms of W and phi
tau=W*phi;
taumax=[350;300;125;8;3;1];
sigma=kron(eye(length(W(:,1))/6),inv(diag(taumax)));
Wp_sigma=sigma*W;
tau=sigma*tau;
[U,S,V] = svd(Wp_sigma);
RS=rank(S);
%Descomposicion de U
S1=S(1:length(S(1,:)),1:length(S(1,:)));
U1=U(1:length(U(1,:)),1:length(S(1,:)));
% U1=U(:,1:rank(S));
% S1=S(1:rank(S),1:rank(S));
%Modelo Ortogonal equivalente.
G=U1'*tau;
Z=V'*phi;
%Vector permutacion para ordenar de mayor a menor.
indexvtau=1:length(G);
index=0;
for j=1:length(G)
    if index==0
        v=indexvtau';
    else
        v(index,:)=[];
    end
    %       Wr_i=Wr(v,:);
        G_i=G(v,:);
    [x i]=max(abs(G_i));
    index=i;

    Ptaux= v(index);
    Go(j,:)=x;
    Pt(j,1)= Ptaux;
end
% Vector de permutacion para regresar.
indexvtau=1:length(G);
index=0;
Pd=(zeros(length(G),1));

for j=1:length(G);
    V=indexvtau;
    k=Pt(j);
    Pd(k,1)=V(j);
end
%Modelo ortogonal reordenado
Go=G(Pt);
So=S(Pt,Pt);
Zo=Z(Pt);
n_param=length(Zo);
indexvector=1:n_param;
% reduccion del modelo.
for i=0:n_param-1;
    n_param_red=n_param-i;

```

```

Go1=Go(1:n_param_red);
Go2=Go(n_param_red+1:length(Zo));
Supo1=So(1:n_param_red,1:n_param_red);
Supo2=So(n_param_red+1:length(Zo),n_param_red+1:length(Zo));
Zo1=Zo(1:n_param_red);
Zo2=Zo(n_param_red+1:n_param);
Supo_r=diag([diag(Supo1);diag(zeros(n_param-n_param_red))]);
Zo_r=pinv(Supo_r)*Go;
Z_r=Zo_r(Pd);
G_r=S1*Z_r;
error_i=norm(tau-(U1*G_r))/norm(tau);
    verror(n_param-i+1)=error_i;
%     vindex(n_param-j+1)=Vi;
end
verror(1)=1;
verror(n_param+1)=verror(n_param);
esterror_elim=verror;
clear indexvector;
save verror verror;
paraml1=(0:n_param);
save paraml1 paraml1;
figure(1),semilogy(0:n_param,esterror_elim,'m')
hold on

```

## Validación de metodos para el PUMA560

```

% function Validation methods;
clear all
% close all
%%%%%%%%%%%%%%%%%%%%%%%%%%%%%%%%%%%%%%%%%%%%%%%%%%%%%%%%%%%%%%%%%%%%%%%%
%%%%%%%%%%%%%%%%%%%%%%%%%%%%%%%%%%%%%%%%%%%%%%%%%%%%%%%%%%%%%%%%%%%%%%%%
addpath('./../lin_alg/');
addpath('./../../../../GENERATED_files_matlab/');
path(path, './Optimization');
%%%%%%%%%%%%%%%%%%%%%%%%%%%%%%%%%%%%%%%%%%%%%%%%%%%%%%%%%%%%%%%%%%%%%%%%
%%%%%%%%%%%%%%%%%%%%%%%%%%%%%%%%%%%%%%%%%%%%%%%%%%%%%%%%%%%%%%%%%%%%%%%%
clear all;
warning('OFF','all');
USER_defines;
% Init_variables_parameters;
COORD='COORD_DEP';
SIZE='DDL';
INTEG='EULER';
LIN='INV';
%%%%%%%%%%%%%%%%%%%%%%%%%%%%%%%%%%%%%%%%%%%%%%%%%%%%%%%%%%%%%%%%%%%%%%%%
%%%%%%%%%%%%%%%%%%%%%%%%%%%%%%%%%%%%%%%%%%%%%%%%%%%%%%%%%%%%%%%%%%%%%%%%
param_init;
% %error_norm='norma_infinito';
% error_norm='norma_2      ';
% load matrix W and vector phi
% load W_estimation.mat;
% load pnum.mat;
load pnum.mat;
load q_all.mat
load dq_all.mat
load ddq_all.mat
W_estimation=zeros(6*size(q_all,1),size(pnum,1));
for i=1:1:size(q_all,1)
    W_estimation((i-
1)*6+1:i*6,:)=W_modif(q_all(i,:),dq_all(i,:),ddq_all(i,:));
end
%%%%%%%%%%%%%%%%%%%%%%%%%%%%%%%%%%%%%%%%%%%%%%%%%%%%%%%%%%%%%%%%%%%%%%%%
load q_all_validation.mat
load dq_all_validation.mat
load ddq_all_validation.mat
W_validation=zeros(6*size(q_all_validation,1),size(pnum,1));
for i=1:1:size(q_all_validation,1)
    W_validation((i-
1)*6+1:i*6,:)=W_modif(q_all_validation(i,:),dq_all_validation(i,:),ddq_all_val
idation(i,:));
end
%%%%%%%%%%%%%%%%%%%%%%%%%%%%%%%%%%%%%%%%%%%%%%%%%%%%%%%%%%%%%%%%%%%%%%%%
P=1:60;

W=W_estimation(:,P);
phi=pnum(P);
% clear pnum;
% calculate tau in terms of W and phi

```

```

tau=W*phi;
taumax=[350;300;125;8;3;1];
sigma=kron(eye(length(W(:,1))/6),inv(diag(taumax)));
Wp_sigma=sigma*W;
tau=sigma*tau;
Wp=sigma*W;

%%%%%%%%%%%%%%%%%%%%%%%%%%%%%%%%%%%%%%%%%%%%%%%%%%%%%%%%%%%%%%%%%%%%%%%%L1 iterativo%%%%%%%%%%%%%%%%%%%%%%%%%%%%%%%%%%%%%%%%%%%%%%%%%%%%%%%%%%%%%%%%%%%%%%%%
% load vindex;
% V_N=fliplr(vindex);
%%%%%%%%%%%%%%%%%%%%%%%%%%%%%%%%%%%%%%%%%%%%%%%%%%%%%%%%%%%%%%%%%%%%%%%%FS iterativo%%%%%%%%%%%%%%%%%%%%%%%%%%%%%%%%%%%%%%%%%%%%%%%%%%%%%%%%%%%%%%%%%%%%%%%%
% load v_i;
% v_i=v_i';
% V_N =fliplr(v_i);
% %%%%%%%%%%%%%%%%%%%%%%%%%%%%%%%%%%%%%%%%%%%%%%%%%%%%%%%%%%%%%%%%%%%%%%%%%Parametros Esenciales%%%%%%%%%%%%%%%%%%%%%%%%%%%%%%%%%%%%%%%%%%%%%%%%%%%%%%%%%%%%%%%%%%%%%%%%
% load Pt
% v_i=Pt';
% V_N =fliplr(v_i);
%%%%%%%%%%%%%%%%%%%%%%%%%%%%%%%%%%%%%%%%%%%%%%%%%%%%%%%%%%%%%%%%%%%%%%%% FS %%%%%%%%%%%%%%%%%%%%%%%%%%%%%%%%%%%%%%%%%%%%%%%%%%%%%%%%%%%%%%%%%%%%%%%%%
load sort_index_vector_add.mat
V_N =fliplr(sort_index_vector_add);
%%%%%%%%%%%%%%%%%%%%%%%%%%%%%%%%%%%%%%%%%%%%%%%%%%%%%%%%%%%%%%%%%%%%%%%% BE %%%%%%%%%%%%%%%%%%%%%%%%%%%%%%%%%%%%%%%%%%%%%%%%%%%%%%%%%%%%%%%%%%%%%%%%%
% load sort_index_vector_elim.mat
% V_N =fliplr(sort_index_vector_elim);
%%%%%%%%%%%%%%%%%%%%%%%%%%%%%%%%%%%%%%%%%%%%%%%%%%%%%%%%%%%%%%%%%%%%%%%% QR %%%%%%%%%%%%%%%%%%%%%%%%%%%%%%%%%%%%%%%%%%%%%%%%%%%%%%%%%%%%%%%%%%%%%%%%%
% load sort_index_vector_qr.mat
% V_N =fliplr(sort_index_vector_qr);
% %%%%%%%%%%%%%%%%%%%%%%%%%%%%%%%%%%%%%%%%%%%%%%%%%%%%%%%%%%%%%%%%%%%%%%%%% L1 %%%%%%%%%%%%%%%%%%%%%%%%%%%%%%%%%%%%%%%%%%%%%%%%%%%%%%%%%%%%%%%%%%%%%%%%%
% load vindexL1;
% V_N=fliplr(vindexL1);
if length(V_N(1,:))>1
    V_N=V_N;
else
    V_N=V_N';
end
% Total number of parameters of the full model
nparam=length(phi);
% The first reduced W is the full W
Wred=Wp;
% The vector of the parameters of the reduced model
indexvector=1:nparam;
sort_index_vector=zeros(1,nparam);
% The first reduced phi is the full phi
phi_f=phi;
index=0;

for j=1:nparam-1
% v is the vector of the column indices without the j
    if index==0
        v=indexvector;
    else
%
        posv=find(v(1,:)==(index));
%
        posv=find(v(:,1)==(index));
    end
end

```

```

    v(:,posv)=[];
%       v(posv,:)=[]
%       v(:,index)=[];
end
    Wp_i=Wp(:,v);
    phi_norm_i=pinv(Wp_i)*tau;
    tau_i=Wp_i*phi_norm_i;
    error_i=norm(tau-tau_i)/norm(tau);
    index=V_N(:,j);
%       index=V_N(j,:);
    verror(nparam-j+1)=error_i;
end
verror(1)=1;
verror(nparam+1)=verror(nparam);
esterror_elim=verror;
clear indexvector;
save verror verror;
paraml1=(0:nparam);
save paraml1 paraml1;
figure(4),semilogy(0:nparam,esterror_elim,'B')
hold on
% clear verror
% open GPPHI.fig

fprintf('-----\n');
fprintf('----- Parameter order for ELIMINATION algorithm. -----\n');
fprintf('-----\n');
load psym;
psym_aux=psym(P);
clear psym;
psym=psym_aux;
clear psym_aux;
pind_elim_sym =psym(V_N);
disp('Code for pind_elim_sym')
fileID = fopen('Parametros.txt','w');%%L1 iter
for i=length(pind_elim_sym):-1:1
    fprintf(fileID,'%s\n',char(pind_elim_sym(i)));
end
fclose(fileID);
fprintf('\n\n')
for i=length(pind_elim_sym):-1:1
    fprintf('%d,',V_N(i));
end
fprintf('\n\n')

```

## Reducción de Parámetros del Hexaglide basada en [2]

```

This algorithm calculates the reduced model of a  $W \cdot \phi = \tau$  model, with the
minimum number
% of parameters in phib, so that:  $\text{norm}(W_{\text{red}} \cdot \text{phib} - \tau) / \text{norm}(\tau) < \text{tol}$ 
% The algorithm removes one-by-one a column of Wred
% The column selected each time is the one that minimises:
 $\text{norm}(W_i \cdot \text{pinv}(W_i) \cdot \tau - \tau) / \text{norm}(\tau)$ 
% being  $W_i$  the matrix Wred without the i-th column and being  $\text{pinv}(W_i)$  the
pseudoinverse of  $W_i$ 
% function
[esterror_elim,esterror_add,esterror_qr,valor_elim,valor_add,valor_qr
]=reduction_full_reduction;
% function reduction_full_reduction;
clear all
%%%%%%%%%%%%%%%%%%%%%%%%%%%%%%%%%%%%%%%%%%%%%%%%%%%%%%%%%%%%%%%%%%%%%%%%
%%%%%%%%%%%%%%%%%%%%%%%%%%%%%%%%%%%%%%%%%%%%%%%%%%%%%%%%%%%%%%%%%%%%%%%%
addpath('./../lin_alg/');
addpath('./.././GENERATED_files_matlab/');
%%%%%%%%%%%%%%%%%%%%%%%%%%%%%%%%%%%%%%%%%%%%%%%%%%%%%%%%%%%%%%%%%%%%%%%%
%%%%%%%%%%%%%%%%%%%%%%%%%%%%%%%%%%%%%%%%%%%%%%%%%%%%%%%%%%%%%%%%%%%%%%%%
clear all;
warning('OFF','all');
USER_defines;
% Init_variables_parameters;
COORD='COORD_DEP';
SIZE='DDL';
INTEG='EULER';
LIN='INV';
%%%%%%%%%%%%%%%%%%%%%%%%%%%%%%%%%%%%%%%%%%%%%%%%%%%%%%%%%%%%%%%%%%%%%%%%
%%%%%%%%%%%%%%%%%%%%%%%%%%%%%%%%%%%%%%%%%%%%%%%%%%%%%%%%%%%%%%%%%%%%%%%%
param_init;
% error_norm='norma_infinito';
error_norm='norma_2';
% load matrix W and vector phi
% load W_estimation.mat;
load pnum.mat;
load q_all.mat
load dq_all.mat
load ddq_all.mat
vind=19:24;
vdep= 1:18;
nparam=size(pnum,1)
W_estimation=zeros(6*size(q_all,1),size(pnum,1));
for i=1:1:size(q_all,1)
    W=W_modif(q_all(i,:),dq_all(i,:),ddq_all(i,:));
    W_i=W(vind,:);
    W_d=W(vdep,:);
    A=dPhi_dq(q_all(i,:),dq_all(i,:),ddq_all(i,:));
    dPhi_dq_i=A(:,vind);
    dPhi_dq_d=A(:,vdep);
    W_estimation((i-1)*6+1:i*6,:)=W_i+(-dPhi_dq_i'*inv(dPhi_dq_d))*W_d;
end
W=W_estimation;

```

```

phi=pnum;
% clear pnum;
% calculate tau in terms of W and phi
tau=W*phi;
tau_orig=tau;
% Total number of parameters of the full model
nparam=length(phi);
% The first reduced W is the full W
Wred=W;
% The first reduced phi is the full phi
phired=phi;
% The vector of the parameters of the reduced model
indexvector=1:nparam;
% -----
% -----
% -----the algorithm will eliminate one parameter at a
time -----
% -----
% -----
% -----
sort_index_vector=zeros(1,length(phi));
for j=1:nparam-1
    error=Inf;
%     the algorithm will check the error eliminating each parameter of the
%     current reduced model
    for i=1:size(Wred,2)
%         v is the vector of the column indices without the i
v=complementary(i,size(Wred,2));
%         W_i is matrix Wred without column i
W_i=Wred(:,v);
%         tau_i is the part of tau that can be written in terms of W_i
phi_i=pinv(W_i)*tau;
tau_i=W_i*phi_i;
%         error_i is the normalized difference between tau and tau_i
if error_norm=='norma_2'
            error_i=norm(tau-tau_i)/norm(tau);
elseif error_norm=='norma_infinito'
            error_i=max(abs(tau-tau_i))/max(abs(tau));
else
            disp('The norm has not been selected properly')
            return
        end
%         if the current error is smaller that all the previous ones
%         the index of the column is marked as the smallest-error-
column-index
        if error_i<error
            error=error_i;
            index=i;
        end
    end
end
end

```

```

%     if the error between full-model and smallest-error-reduced-model is
smaller than tol
%     then reduce the model eliminating column with index "index"
%     if error<tol
%         v is the vector of the columns without the index
v=complementary(index,size(Wred,2));
%     sort_index_vector_elim
sort_index_vector_elim(1,length(phi)+1-j)=indexvector(index);
%     Waux is the new reduced model matrix
%     phiaux is the new reduced model parameter vector
%     auxvector is the index vector of the new reduced model
Waux=Wred(:,v);
phiaux=phired(v);
auxvector=indexvector(v);
clear Wred;
clear phired;
clear indexvector;
Wred=Waux;
phired=phiaux;
indexvector=auxvector;

%     else
%         break;
%     end
verror(nparam-j+1)=error;
end
sort_index_vector_elim(1,1)=indexvector;
sort_index_vector_elim;
verror(1)=1;
verror(71)=verror(70);
esterror_elim=verror;
clear indexvector;
figure,semilogy(0:70,esterror_elim,'r','LineWidth',2.0)
hold on
clear verror
ddq_nom=max(abs(ddq_all(:,vind)),[],1)
num_epsilon=zeros(6*size(q_all,1),1);
den_epsilon=zeros(6*size(q_all,1),1);
for i=size(W,2):-1:1
    W_i=W(:,sort_index_vector_elim(1:i));
    phi_i=pinv(W_i)*tau;
    param_i=zeros(size(W,2),1);
    param_i(sort_index_vector_elim(1:i),1)=phi_i;
    param_i;
    param_i_cristiano=zeros(70,1);
    param_i_cristiano=param_i;
    %Check
    %max(abs(W_estimation*param_i_cristiano-inv(sigma)*W_i*phi_i)) es
    %casi 0
    for j=1:size(q_all,1)
        M=M_modif(q_all(j,:),dq_all(j,:),ddq_all(j,:),param_i_cristiano);
        tau_j=tau_orig(6*(j-1)+1:6*j,1);
        Q=Q_modif(q_all(j,:),dq_all(j,:),ddq_all(j,:),param_i_cristiano,-
tau_j);
        jacob=dPhi_dq(q_all(j,:),dq_all(j,:),ddq_all(j,:));

```



```

    ganna=Gamma(q_all(j,:),dq_all(j,:),ddq_all(j,:));
    ddq_all_est_i(j,:)=inv(M)*jacob'*inv(jacob*inv(M)*jacob')*(ganna-
jacob*inv(M)*Q)+inv(M)*Q;
%M_modif(q_all(j,:),dq_all(j,:),ddq_all(j,:),param_i_cristiano)*ddq_all(j,:)'-
Q_modif(q_all(j,:),dq_all(j,:),ddq_all(j,:),param_i_cristiano,-tau_j)
%     ddq_all_est_i(j,vind)
%     ddq_all(j,vind)
    num_epsilon(6*(j-1)+1:6*j,1)=
inv(diag(ddq_nom))*(ddq_all_est_i(j,vind)-ddq_all(j,vind))';
    den_epsilon(6*(j-1)+1:6*j,1)= inv(diag(ddq_nom))*ddq_all(j,vind)';
    end
    BE_epsilon_ddq(i)=norm(num_epsilon)/norm(den_epsilon);
end
plot(BE_epsilon_ddq,'r.')
% -----
% -----
% -----the algorithm will add one parameter at a time
% -----
% -----
% -----
% -----
Wred=[];
indexvector=[];
verror(1)=1.0;
for j=1:nparam
    error=Inf;
%     the algorithm will check the error adding one parameter to the
%     current reduced model
%     v is the vector of the column indices that have not been selected yet
v=complementary(indexvector,nparam);
    for i=1:length(v)
%         W_i is matrix Wred with the additional column i
        W_i=[Wred,W(:,v(i))];
%         tau_i is the part of tau that can be written in terms of W_i
        phi_i=pinv(W_i)*tau;
        tau_i=W_i*phi_i;
%         error_i is the normalized difference between tau and tau_i
        if error_norm=='norma_2'
            error_i=norm(tau-tau_i)/norm(tau);
        elseif error_norm=='norma_infinito'
            error_i=max(abs(tau-tau_i))/max(abs(tau));
        else
            disp('The norm has not been selected
properly')
            return
        end
%         if the current error is smaller that all the previous ones
%         the index of the column is marked as the smallest-error-
column-index
        if error_i<error
            error=error_i;

```

```

        index=i;
    end
end
% if the error between full-model and smallest-error-reduced-model is
% still bigger than tol
% then extend the model adding the column with index "index"
% % sort_index_vector_add
sort_index_vector_add(1,j)=v(index);
% parameter index
indexvector=[indexvector,v(index)];
% Wred is the new reduced model matrix
Wred=W(:,indexvector);
verror(j+1)=error;
end
verror(71)=verror(70);
esterror_add=verror;
indexvector_add=indexvector;
clear indexvector;
% semilogy(verror,'g')
clear verror
semilogy(0:70,esterror_add,'g','LineWidth',2.0)
addpath('./../');
ddq_nom=max(abs(ddq_all(:,vind)), [], 1) '
num_epsilon=zeros(6*size(q_all,1),1);
den_epsilon=zeros(6*size(q_all,1),1);
for i=size(W,2):-1:1
    W_i=W(:,indexvector_add(1:i));
    phi_i=pinv(W_i)*tau;
    param_i=zeros(size(W,2),1);
    param_i(indexvector_add(1:i),1)=phi_i;
    param_i;
    param_i_cristiano=zeros(70,1);
    param_i_cristiano=param_i;
    %Check
    %max(abs(W_estimation*param_i_cristiano-inv(sigma)*W_i*phi_i)) es
    %casi 0
    for j=1:size(q_all,1)
        M=M_modif(q_all(j,:),dq_all(j,:),ddq_all(j,:),param_i_cristiano);
        tau_j=tau_orig(6*(j-1)+1:6*j,1);
        Q=Q_modif(q_all(j,:),dq_all(j,:),ddq_all(j,:),param_i_cristiano,-
tau_j);
        jacob=dPhi_dq(q_all(j,:),dq_all(j,:),ddq_all(j,:));
        ganna=Gamma(q_all(j,:),dq_all(j,:),ddq_all(j,:));
        ddq_all_est_i(j,:)=inv(M)*jacob'*inv(jacob*inv(M)*jacob')*(ganna-
jacob*inv(M)*Q)+inv(M)*Q;
        %M_modif(q_all(j,:),dq_all(j,:),ddq_all(j,:),param_i_cristiano)*ddq_all(j,:)'-
        Q_modif(q_all(j,:),dq_all(j,:),ddq_all(j,:),param_i_cristiano,-tau_j)
        % ddq_all_est_i(j,vind)
        % ddq_all(j,vind)
        num_epsilon(6*(j-1)+1:6*j,1)=
inv(diag(ddq_nom))*(ddq_all_est_i(j,vind)-ddq_all(j,vind))';
        den_epsilon(6*(j-1)+1:6*j,1)= inv(diag(ddq_nom))*ddq_all(j,vind)';
    end
    FS_epsilon_ddq(i)=norm(num_epsilon)/norm(den_epsilon);
end

```

```

end
plot(FS_epsilon_ddq,'g.')
% -----
% ----- QR DECOMPOSITION METHOD -----
% -----
% -----
% -----

% qr method
% [Q,R,E] = QR(A) produces unitary Q, upper triangular R and a
% permutation matrix E so that A*E = Q*R. The column permutation E is
% chosen so that ABS(DIAG(R)) is decreasing.
[Q,R,E]=qr(W);
indexvector=E'*[1:size(E,1)]';
RAUX=R;
for j=1:nparam
    RAUX(:,nparam-j+1)=zeros(size(R,1),1);
    WAUX=Q*RAUX*E';
    tauredqr=WAUX*(pinv(WAUX)*tau);
    if error_norm=='norma_2'
        auxerror=norm(tau-tauredqr)/norm(tau);
    elseif error_norm=='norma_infinito'
        auxerror=max(abs(tau-tauredqr))/max(abs(tau));
    else
        disp('The norm has not been selected properly')
        return
    end
    verror(nparam-j+1)=auxerror;
end
verror(71)=verror(70);
esterror_qr=verror;
sort_index_vector_qr=indexvector';
clear indexvector;
clear auxerror;
semilogy(0:length(phi),esterror_qr,'b','LineWidth',2.0)
ddq_nom=max(abs(ddq_all(:,vind)), [], 1)
num_epsilon=zeros(6*size(q_all,1),1);
den_epsilon=zeros(6*size(q_all,1),1);
for i=size(W,2):-1:1
    W_i=W(:,sort_index_vector_qr(1:i));
    phi_i=pinv(W_i)*tau;
    param_i=zeros(size(W,2),1);
    param_i(sort_index_vector_qr(1:i),1)=phi_i;
    param_i;
    param_i_cristiano=zeros(70,1);
    param_i_cristiano=param_i;
    for j=1:size(q_all,1)
        M=M_modif(q_all(j,:),dq_all(j,:),ddq_all(j,:),param_i_cristiano);
        tau_j=tau_orig(6*(j-1)+1:6*j,1);
        Q=Q_modif(q_all(j,:),dq_all(j,:),ddq_all(j,:),param_i_cristiano,-
tau_j);
        jacob=dPhi_dq(q_all(j,:),dq_all(j,:),ddq_all(j,:));
    end
end

```

```

    ganna=Gamma(q_all(j,:),dq_all(j,:),ddq_all(j,:));
    ddq_all_est_i(j,:)=inv(M)*jacob'*inv(jacob*inv(M)*jacob')*(ganna-
jacob*inv(M)*Q)+inv(M)*Q;
    num_epsilon(6*(j-1)+1:6*j,1)=
inv(diag(ddq_nom))*(ddq_all_est_i(j,vind)-ddq_all(j,vind))';
    den_epsilon(6*(j-1)+1:6*j,1)= inv(diag(ddq_nom))*ddq_all(j,vind)';
    end
    QR_epsilon_ddq(i)=norm(num_epsilon)/norm(den_epsilon);
end
plot(QR_epsilon_ddq,'b.')
return
% -----
% -----
% -----VALIDATION OF THE REDUCTION METHODS -----
% -----
% -----
% -----
% -----
% load Wvalidation.mat;
load W_validation.mat
tauval=W_validation*phi;
for i=2:length(phi)+1
    % independent and dependent parameters for each reduced model
    % Indices of the independent parameters
    pind_elim=sort_index_vector_elim(1:i-1);
    pind_add =sort_index_vector_add(1:i-1);
    pind_qr  =sort_index_vector_qr(1:i-1);
    % Indices of the dependent parameters
    pdep_elim=complementary(pind_elim,length(phi));
    pdep_add =complementary(pind_add ,length(phi));
    pdep_qr  =complementary(pind_qr  ,length(phi));
    % tau estimation of the reduced models with the parameters estimated
from the estimation trajectory
    taured_elim=W_validation(:,pind_elim)*pinv(W(:,pind_elim))*tau;
    taured_add =W_validation(:,pind_add )*pinv(W(:,pind_add ))*tau;
    taured_qr  =W_validation(:,pind_qr  )*pinv(W(:,pind_qr  ))*tau;
    if error_norm=='norma_2'
        valerror_elim(i)=norm(tauval - taured_elim)/norm(tauval);
        valerror_add(i) =norm(tauval - taured_add )/norm(tauval);
        valerror_qr(i)  =norm(tauval - taured_qr  )/norm(tauval);
    elseif error_norm=='norma_infinito'
        valerror_elim(i)=max(abs(tauval -
taured_elim))/max(abs(tauval));
        valerror_add(i) =max(abs(tauval - taured_add
))/max(abs(tauval));
        valerror_qr(i)  =max(abs(tauval - taured_qr
))/max(abs(tauval));
    else
        disp('The norm has not been selected properly')
        return
    end
end
valerror_elim(1)=1.0;

```

```

valerror_add(1) =1.0;
valerror_qr(1) =1.0;
valerror_elim=valerror_elim(:);
valerror_add=valerror_add(:);
valerror_qr=valerror_qr(:);
save valerror_add valerror_add;
save valerror_elim valerror_elim;
save valerror_qr valerror_qr;
vparam=0:length(phi);
semilogy(vparam,valerror_elim,'r--','LineWidth',2.0)
semilogy(vparam,valerror_add,'g--','LineWidth',2.0)
semilogy(vparam,valerror_qr,'b--','LineWidth',2.0)
legend('eliminating','adding','qr','svd','eliminating','adding','qr')
semilogy([0,70],[1e-5,1e-5],'k','LineWidth',0.5)
semilogy([0,70],[1e-4,1e-4],'k','LineWidth',0.5)
semilogy([0,70],[1e-3,1e-3],'k','LineWidth',0.5)
semilogy([0,70],[1e-2,1e-2],'k','LineWidth',0.5)
semilogy([0,70],[1e-1,1e-1],'k','LineWidth',0.5)
axis([0,70,1e-15,1e1])
title('REDUCCION Y VALIDACION HEXAGLIDE. Lineas solidas: trayectorias
estimacion (11). Lineas a trazos: trayectoria validacion (1).')
xlabel('Numero de parametros del modelo')
if error_norm=='norma_infinito'
    ylabel('Error (Norma Infinito Normalizada)');
end
if error_norm=='norma_2'
    ylabel('Error (Norma 2 Normalizada)');
end
% Order of the parameters for different reduction methods
load psym.mat;
pind_elim_sym =psym(sort_index_vector_elim);
pind_add_sym =psym(sort_index_vector_add);
pind_qr_sym =psym(sort_index_vector_qr);
save sort_index_vector_elim sort_index_vector_elim;
save sort_index_vector_add sort_index_vector_add;
save sort_index_vector_qr sort_index_vector_qr;
disp('Code for pind_elim_sym')
for i=length(pind_elim_sym):-1:1
    fprintf('v1.push_back( &%s );\n',char(pind_elim_sym(i)));
end
fprintf('\n\n')
disp('Code for pind_add_sym')
for i=length(pind_add_sym):-1:1
    fprintf('v1.push_back( &%s );\n',char(pind_add_sym(i)));
end
fprintf('\n\n')
disp('Code for pind_qr_sym')
for i=length(pind_qr_sym):-1:1
    fprintf('v1.push_back( &%s );\n',char(pind_qr_sym(i)));
end
fprintf('\n\n')

```

## Reducción de Parámetros del Hexaglide basada en L1

```

% function reduction by L1 norm;
clear all
%%%%%%%%%%%%%%%%%%%%%%%%%%%%%%%%%%%%%%%%%%%%%%%%%%%%%%%%%%%%%%%%%%%%%%%%
%%%%%%%%%%%%%%%%%%%%%%%%%%%%%%%%%%%%%%%%%%%%%%%%%%%%%%%%%%%%%%%%%%%%%%%%
addpath('./../lin_alg/');
addpath('./../.../GENERATED_files_matlab/');
path(path, './Optimization');
%%%%%%%%%%%%%%%%%%%%%%%%%%%%%%%%%%%%%%%%%%%%%%%%%%%%%%%%%%%%%%%%%%%%%%%%
%%%%%%%%%%%%%%%%%%%%%%%%%%%%%%%%%%%%%%%%%%%%%%%%%%%%%%%%%%%%%%%%%%%%%%%%
clear all;
warning('OFF','all');
USER_defines;
% Init_variables_parameters;
COORD='COORD_DEP';
SIZE='DDL';
INTEG='EULER';
LIN='INV';
%%%%%%%%%%%%%%%%%%%%%%%%%%%%%%%%%%%%%%%%%%%%%%%%%%%%%%%%%%%%%%%%%%%%%%%%
%%%%%%%%%%%%%%%%%%%%%%%%%%%%%%%%%%%%%%%%%%%%%%%%%%%%%%%%%%%%%%%%%%%%%%%%
param_init;
% error_norm='norma_infinito';
error_norm='norma_2';
load pnum.mat;
load q_all.mat
load dq_all.mat
load ddq_all.mat
vind=19:24;
miperml=randperm(length(vind));
vind=vind(:,miperml);
vdep=1:18;
miperm2=randperm(length(vdep));
vdep=vdep(:,miperm2);
% vdep= randperm(18);
nparam=size(pnum,1)
W_estimation=zeros(6*size(q_all,1),size(pnum,1));
for i=1:size(q_all,1)
    W=W_modif(q_all(i,:),dq_all(i,:),ddq_all(i,:));
    W_i=W(vind,:);
    W_d=W(vdep,:);
    A=dPhi_dq(q_all(i,:),dq_all(i,:),ddq_all(i,:));
    dPhi_dq_i=A(:,vind);
    dPhi_dq_d=A(:,vdep);
    W_estimation((i-1)*6+1:i*6,:)=W_i+(-dPhi_dq_i'*inv(dPhi_dq_d))*W_d;
end
W=W_estimation;
phi=pnum;
% clear pnum;
% calculate tau in terms of W and phi
tau=W*phi;
% Relative tolerance for the error
% tol=0.001;
% tol=inf

```

```

tau_orig=tau;
Phi0=phi;
% large scale
Afun = @(z) W*z;
Atfun = @(z) W'*z;
tic
xp = lleq_pd(Phi0, Afun, Atfun, tau, 7e-4, 1000000, 1e-14, 200000);
toc
phi=xp;
%Checks
max(abs(W*Phi0-tau))
max(abs(W*phi-tau))
% Total number of parameters of the full model
nparam=length(phi);
% The first reduced W is the full W
Wred=W;
% The vector of the parameters of the reduced model
indexvector=1:nparam;
phi_f=phi;
index=0;
for j=1:nparam-1
    error=Inf;
%find the minimum value:
%     v is the vector of the column indices without the j
    if index==0
        v=indexvector;
    else
        v(:,index)=[];
    end

    if index==0
        phi_f=phi_f;
    else
        phi_f(index,:)=[];
    end

%     W_i is matrix Wred without column i
    W_i=Wred(:,v);
%     tau_i is the part of tau that can be written in terms of W_i
    phi_i=pinv(W_i)*tau;
    tau_i=W_i*phi_i;
    error_i=norm(tau-tau_i)/norm(tau);
%         if the current error is smaller that all the previous
ones
    if error_i<error
        error=error_i;
        end

    [x i]=min(abs(phi_f));
    index=i;
    Vi= v(index);
    verror(nparam-j+1)=error;
    vindex(nparam-j+1)=Vi;
end
% sort_index_vector_elim(1,1)=indexvector;
% sort_index_vector_elim;

```

```
verror(1)=1;  
verror(nparam+1)=verror(nparam);  
esterror_elim=verror;  
clear indexvector;  
save verror verror;  
paraml1=(0:nparam);  
save paraml1 paraml1;  
figure(1),semilogy(0:nparam,esterror_elim,'m')  
hold on
```



## Reducción de Parámetros del Hexaglide basada en L1 iterativo

```

function reduction by Iterative L1 norm;
clear all
%%%%%%%%%%%%%%%%%%%%%%%%%%%%%%%%%%%%%%%%%%%%%%%%%%%%%%%%%%%%%%%%%%%%%%%%
%%%%%%%%%%%%%%%%%%%%%%%%%%%%%%%%%%%%%%%%%%%%%%%%%%%%%%%%%%%%%%%%%%%%%%%%
addpath('./../lin_alg/');
addpath('./../../../../GENERATED_files_matlab/');
path(path, './Optimization');
%%%%%%%%%%%%%%%%%%%%%%%%%%%%%%%%%%%%%%%%%%%%%%%%%%%%%%%%%%%%%%%%%%%%%%%%
%%%%%%%%%%%%%%%%%%%%%%%%%%%%%%%%%%%%%%%%%%%%%%%%%%%%%%%%%%%%%%%%%%%%%%%%
clear all;
warning('OFF','all');
USER_defines;
% Init_variables_parameters;
COORD='COORD_DEP';
SIZE='DDL';
INTEG='EULER';
LIN='INV';
%%%%%%%%%%%%%%%%%%%%%%%%%%%%%%%%%%%%%%%%%%%%%%%%%%%%%%%%%%%%%%%%%%%%%%%%
%%%%%%%%%%%%%%%%%%%%%%%%%%%%%%%%%%%%%%%%%%%%%%%%%%%%%%%%%%%%%%%%%%%%%%%%
param_init;
% error_norm='norma_infinito';
error_norm='norma_2';
% load matrix W and vector phi
% load W_estimation.mat;
load pnum.mat;
load q_all.mat
load dq_all.mat
load ddq_all.mat
vind=19:24;
% miperm1=randperm(length(vind));
% vind=vind(:,miperm1);
vdep=1:18;
% miperm2=randperm(length(vdep));
% vdep=vdep(:,miperm2);
% vdep= randperm(18);
nparam=size(pnum,1)
W_estimation=zeros(6*size(q_all,1),size(pnum,1));
for i=1:1:size(q_all,1)
    W=W_modif(q_all(i,:),dq_all(i,:),ddq_all(i,:));
    W_i=W(vind,:);
    W_d=W(vdep,:);
    A=dPhi_dq(q_all(i,:),dq_all(i,:),ddq_all(i,:));
    dPhi_dq_i=A(:,vind);
    dPhi_dq_d=A(:,vdep);
    W_estimation((i-1)*6+1:i*6,:)=W_i+(-dPhi_dq_i'*inv(dPhi_dq_d))*W_d;
end
W=W_estimation;
phi=pnum;
% clear pnum;
% calculate tau in terms of W and phi
tau=W*phi;

```

```

% Phi0=phi;
load xp
Phi0=xp;
% large scale
Afun = @(z) W*z;
Atfun = @(z) W'*z;
tic
xp = lleq_pd(Phi0, Afun, Atfun, tau, 1e-6, 1000000, 1e-20, 40000);
toc
phi=xp;
%Checks
max(abs(W*Phi0-tau))
max(abs(W*phi-tau))
k=(pinv(W)*tau);
max(abs(W*k-tau))
% Total number of parameters of the full model
nparam=length(phi);
% The first reduced W is the full W
Wred=W;
% The vector of the parameters of the reduced model
indexvector=1:nparam;
phi_f=phi;
index=0;
for j=1:nparam-1
%     v is the vector of the column indices without the j
    if index==0
        v=indexvector;
    else
        v(:,index)=[];
    end
    if index==0
        phi_f=phi_f;
    else
        phi_f(index,:)=[];
    end
%     W_i is matrix Wred without column i
    W_i=Wred(:,v);
%     tau_i is the part of tau that can be written in terms of W_i
    phi_i=pinv(W_i)*tau;
    tau_i=W_i*phi_i;
Phi0_i=phi_f;
Afun = @(z) W_i*z;
Atfun = @(z) W_i'*z;
tic
xp = lleq_pd(Phi0_i, Afun, Atfun, tau_i, 7e-4, 30000, 1e-14, 20000);
toc
phi_N=xp;
error_i=norm(tau-tau_i)/norm(tau);
[x i]=min(abs(phi_N));
index=i;
Vi= v(index);
verror(nparam-j+1)=error_i;
vindex(nparam-j+1)=Vi;
end

```

```
verror(1)=1;  
verror(nparam+1)=verror(nparam);  
esterror_elim=verror;  
clear indexvector;  
save verror verror;  
paraml1=(0:nparam);  
save paraml1 paraml1;  
figure(1), semilogy(0:nparam,esterror_elim,'m')
```

## Reducción de Parámetros del Hexaglide basada en FS iterativo

```

function reduction by Iterative FS;
clear all
%%%%%%%%%%%%%%%%%%%%%%%%%%%%%%%%%%%%%%%%%%%%%%%%%%%%%%%%%%%%%%%%%%%%%%%%
%%%%%%%%%%%%%%%%%%%%%%%%%%%%%%%%%%%%%%%%%%%%%%%%%%%%%%%%%%%%%%%%%%%%%%%%
addpath('./../lin_alg/');
addpath('./../.../GENERATED_files_matlab/');
path(path, './Optimization');
%%%%%%%%%%%%%%%%%%%%%%%%%%%%%%%%%%%%%%%%%%%%%%%%%%%%%%%%%%%%%%%%%%%%%%%%
%%%%%%%%%%%%%%%%%%%%%%%%%%%%%%%%%%%%%%%%%%%%%%%%%%%%%%%%%%%%%%%%%%%%%%%%
clear all;
warning('OFF','all');
USER_defines;
% Init_variables_parameters;
COORD='COORD_DEP';
SIZE='DDL';
INTEG='EULER';
LIN='INV';
%%%%%%%%%%%%%%%%%%%%%%%%%%%%%%%%%%%%%%%%%%%%%%%%%%%%%%%%%%%%%%%%%%%%%%%%
%%%%%%%%%%%%%%%%%%%%%%%%%%%%%%%%%%%%%%%%%%%%%%%%%%%%%%%%%%%%%%%%%%%%%%%%
param_init;
% error_norm='norma_infinito';
error_norm='norma_2';
% load matrix W and vector phi
% load W_estimation.mat;
load pnum.mat;
load q_all.mat
load dq_all.mat
load ddq_all.mat
vind=19:24;
miperml=randperm(length(vind));
vind=vind(:,miperml);
vdep=1:18;
miperm2=randperm(length(vdep));
vdep=vdep(:,miperm2);
% vdep= randperm(18);
nparam=size(pnum,1)
W_estimation=zeros(6*size(q_all,1),size(pnum,1));
for i=1:1:size(q_all,1)
    W=W_modif(q_all(i,:),dq_all(i,:),ddq_all(i,:));
    W_i=W(vind,:);
    W_d=W(vdep,:);
    A=dPhi_dq(q_all(i,:),dq_all(i,:),ddq_all(i,:));
    dPhi_dq_i=A(:,vind);
    dPhi_dq_d=A(:,vdep);
    W_estimation((i-1)*6+1:i*6,:)=W_i+(-dPhi_dq_i'*inv(dPhi_dq_d))*W_d;
end
W=W_estimation;
phi=pnum;
% clear pnum;
% calculate tau in terms of W and phi
tau=W*phi;
phi_R=[];

```

```

phi_L=[];
indexparam=1:length(phi);
vparam=zeros(length(phi));
nparam=1:length(phi);
indexparam_1=1:length(phi);
v_i=[];
% v_i=zeros(1,length(phi));
% verror=zeros(1,length(phi));
% verror_i=zeros(1,length(phi));
% verror_k=zeros(1,length(phi));
v_3=[];
for j=1:length(vparam)
  for i=1:length(indexparam);
    if phi_R==0
      v=i;
    else
      v=[v_i;indexparam(i)];
    end
    Wp_i=W(:,v);
    phi_i=pinv(Wp_i)*tau;
    tau_i=Wp_i*phi_i;
    error_i=norm(tau-tau_i)/norm(tau);
    verror_i(i)=error_i;
  end
  [x p]=min(abs(verror_i));
  index=indexparam(1,p);
  v_i(j,1)=index;
  phi_L1=v_i(end);
  clear verror_i
  phi_R=phi(v_i);
  v_1=v_i;
  verror_1=x;
  for k=1:length(indexparam);
    if length(phi_R)<=1;
      v=k;
    else
      if k==1;
        posphi_L=find(v_i(:,1)==(phi_L));
        v_i(posphi_L,:)=[];
        indexparam(end+1)=phi_L;
        indexparam=sort(indexparam);
        pos = ismember(indexparam(1,:),(v_i));
        pos=find(pos);
        indexparam(:,pos)=[];
        v=[v_i;indexparam(k)];
      else
        v=[v_i;indexparam(k)];
      end
    end
    Wp_k=W(:,v);
    phi_k=pinv(Wp_k)*tau;
    tau_k=Wp_k*phi_k;
    error_k=norm(tau-tau_k)/norm(tau);
  end
end

```

```

    verror_k(k)=error_k;
    end
    [x1 p1]=min(abs(verror_k));
    index2=indexparam(1,p1);
    verror(j)=x1;
    v_i(j,1)=index2;
    phi_R=phi(v_i);
    v_2=v_i;
    verror_2=x1;
    if abs((abs(verror_2)-abs(verror_1)))< 1e-15;
    if length(v_i)<=1;
        v_i=v_1;
        verror(j)=verror_1;
        index2=v_i(end);
        indexparam=setdiff(indexparam_1(1,:), (v_i));
    else
        v_i=v_1;
        verror(j)=verror_1;
        index2=v_i(end-1);
        indexparam=setdiff(indexparam_1(1,:), (v_i));
    end
    if length(v_i)<=1;
        phi_L=v_i(end);
    else
        phi_L=v_i(end);
    end
    clear verror_k
    else
    if abs(verror_2)<abs(verror_1);
    if length(v_i)<=1;
        verror(j)=x1;
        v_i(j,1)=index2;
        indexparam=setdiff(indexparam_1(1,:), (v_i));
    else
        v_i=v_2;
        verror(j)=verror_2;
        % index2=v_i(end-1);
        indexparam=setdiff(indexparam_1(1,:), (v_i));
    end
    if length(v_i)<=1;
        phi_L=v_i(end);
    else
        phi_L=v_i(end-1);
    end
    clear verror_k
    else
    if length(v_i)<=1;
        v_i=v_1;
        verror(j)=verror_1;
        index2=v_i(end);
        indexparam=setdiff(indexparam_1(1,:), (v_i));
    else
        v_i=v_1;
        verror(j)=verror_1;

```

```

index2=v_i(end-1);
indexparam=setdiff(indexparam_1(1,:),(v_i));
end
if length(v_i)<=1;
    phi_L=v_i(end);
else
    phi_L=v_i(end);
end
clear verror_k
end

end
v_3{j}=v_i;
end
v_i(1,1)=v(1,1);
verror(nparam+1)=verror(nparam);
verror(1)=1;
esterror_elim=verror;
clear indexvector;
save verror verror;
paraml1=(0:length(phi));
save paraml1 paraml1;
figure(1),semilogy(0:length(phi),esterror_elim,'m')
fprintf('-----\n');
fprintf('----- Parameter order for ELIMINATION algorithm. -----\n');
fprintf('-----\n');
load psym;
pind_elim_sym =psym(v_i);
disp('Code for pind_elim_sym')
for i=length(pind_elim_sym):-1:1
    fprintf('v1.push_back( &s );\n',char(pind_elim_sym(i)));
end
fprintf('\n\n')
for i=length(pind_elim_sym):-1:1
    fprintf('%d,',v_i(i));
end
fprintf('\n\n')
error_norm='norma_2      ';

```

## Reducción de Parámetros del Hexaglide basada en PE

```

% function reduction by Essential Parameters;
clear all
%%%%%%%%%%%%%%%%%%%%%%%%%%%%%%%%%%%%%%%%%%%%%%%%%%%%%%%%%%%%%%%%%%%%%%%%
%%%%%%%%%%%%%%%%%%%%%%%%%%%%%%%%%%%%%%%%%%%%%%%%%%%%%%%%%%%%%%%%%%%%%%%%
addpath('./../lin_alg/');
addpath('./../../../../GENERATED_files_matlab/');
path(path, './Optimization');
%%%%%%%%%%%%%%%%%%%%%%%%%%%%%%%%%%%%%%%%%%%%%%%%%%%%%%%%%%%%%%%%%%%%%%%%
%%%%%%%%%%%%%%%%%%%%%%%%%%%%%%%%%%%%%%%%%%%%%%%%%%%%%%%%%%%%%%%%%%%%%%%%
clear all;
warning('OFF','all');
USER_defines;
% Init_variables_parameters;
COORD='COORD_DEP';
SIZE='DDL';
INTEG='EULER';
LIN='INV';
%%%%%%%%%%%%%%%%%%%%%%%%%%%%%%%%%%%%%%%%%%%%%%%%%%%%%%%%%%%%%%%%%%%%%%%%
%%%%%%%%%%%%%%%%%%%%%%%%%%%%%%%%%%%%%%%%%%%%%%%%%%%%%%%%%%%%%%%%%%%%%%%%
param_init;
% error_norm='norma_infinito';
error_norm='norma_2';
% load matrix W and vector phi
% load W_estimation.mat;
load pnum.mat;
load q_all.mat
load dq_all.mat
load ddq_all.mat
vind=19:24;
% miperm1=randperm(length(vind));
% vind=vind(:,miperm1);
vdep=1:18;
% miperm2=randperm(length(vdep));
% vdep=vdep(:,miperm2);
% vdep= randperm(18);
nparam=size(pnum,1)
W_estimation=zeros(6*size(q_all,1),size(pnum,1));
for i=1:1:size(q_all,1)
    W=W_modif(q_all(i,:),dq_all(i,:),ddq_all(i,:));
    W_i=W(vind,:);
    W_d=W(vdep,:);
    A=dPhi_dq(q_all(i,:),dq_all(i,:),ddq_all(i,:));
    dPhi_dq_i=A(:,vind);
    dPhi_dq_d=A(:,vdep);
    W_estimation((i-1)*6+1:i*6,:)=W_i+(-dPhi_dq_i'*inv(dPhi_dq_d'))*W_d;
end
W=W_estimation;
phi=pnum;
% clear pnum;
% calculate tau in terms of W and phi
tau=W*phi;

```



```

[U,S,V] = svd(W);
% RS=rank(S);
S1=S(1:length(S(1,:)),1:length(S(1,:)));
U1=U(1:length(U(1,:)),1:length(S(1,:)));
G=U1'*tau;
Z=V'*phi;
indexvtau=1:length(G);
index=0;
for j=1:length(G)
    if index==0
        v=indexvtau';
    else
        v(index,:)=[];
    end
    %     Wr_i=Wr(v,:);
        G_i=G(v,:);
    [x i]=max(abs(G_i));
    index=i;

    Ptaux= v(index);
    Go(j,:)=x;
    Pt(j,1)= Ptaux;
end
indexvtau=1:length(G);
index=0;
Pd=(zeros(length(G),1));
for j=1:length(G);
    V=indexvtau;
    k=Pt(j);
    Pd(k,1)=V(j);
end
Go=G(Pt);
So=S(Pt,Pt);
Zo=Z(Pt);
n_param=length(Zo);
indexvector=1:n_param;
for i=0:n_param-1;
    n_param_red=n_param-i;
    Go1=Go(1:n_param_red);
    Go2=Go(n_param_red+1:length(Zo));
    Supo1=So(1:n_param_red,1:n_param_red);
    Supo2=So(n_param_red+1:length(Zo),n_param_red+1:length(Zo));
    Zo1=Zo(1:n_param_red);
    Zo2=Zo(n_param_red+1:n_param);
    Supo_r=diag([diag(Supo1);diag(zeros(n_param-n_param_red))]);
    Zo_r=pinv(Supo_r)*Go;
    Z_r=Zo_r(Pd);
    G_r=S1*Z_r;
    error_i=norm(tau-U1*G_r)/norm(tau);
        verror(n_param-i+1)=error_i;
end
verror(1)=1;
verror(nparam+1)=verror(nparam);
esterror_elim=verror;

```

```
clear indexvector;  
save verror verror;  
paraml1=(0:nparam);  
save paraml1 paraml1;  
figure(1), semilogy(0:nparam,esterror_elim,'m')
```

## Validación de metodos para el Hexaglide

```

% function Validation Methods Hexaglide;
clear all
% close all
%%%%%%%%%%%%%%%%%%%%%%%%%%%%%%%%%%%%%%%%%%%%%%%%%%%%%%%%%%%%%%%%%%%%%%%%
%%%%%%%%%%%%%%%%%%%%%%%%%%%%%%%%%%%%%%%%%%%%%%%%%%%%%%%%%%%%%%%%%%%%%%%%
addpath('./../lin_alg/');
addpath('./../../../../GENERATED_files_matlab/');
path(path, './Optimization');
%%%%%%%%%%%%%%%%%%%%%%%%%%%%%%%%%%%%%%%%%%%%%%%%%%%%%%%%%%%%%%%%%%%%%%%%
%%%%%%%%%%%%%%%%%%%%%%%%%%%%%%%%%%%%%%%%%%%%%%%%%%%%%%%%%%%%%%%%%%%%%%%%
clear all;
warning('OFF','all');
USER_defines;
% Init_variables_parameters;
COORD='COORD_DEP';
SIZE='DDL';
INTEG='EULER';
LIN='INV';
%%%%%%%%%%%%%%%%%%%%%%%%%%%%%%%%%%%%%%%%%%%%%%%%%%%%%%%%%%%%%%%%%%%%%%%%
%%%%%%%%%%%%%%%%%%%%%%%%%%%%%%%%%%%%%%%%%%%%%%%%%%%%%%%%%%%%%%%%%%%%%%%%
param_init;
% error_norm='norma_infinito';
error_norm='norma_2';
% load matrix W and vector phi
% load W_estimation.mat;
load pnum.mat;
load q_all.mat
load dq_all.mat
load ddq_all.mat
vind=19:24;
% miperm1=randperm(length(vind));
% vind=vind(:,miperm1);
vdep=1:18;
% miperm2=randperm(length(vdep));
% vdep=vdep(:,miperm2);
% vdep= randperm(18);
nparam=size(pnum,1)
W_estimation=zeros(6*size(q_all,1),size(pnum,1));
for i=1:1:size(q_all,1)
    W=W_modif(q_all(i,:),dq_all(i,:),ddq_all(i,:));
    W_i=W(vind,:);
    W_d=W(vdep,:);
    A=dPhi_dq(q_all(i,:),dq_all(i,:),ddq_all(i,:));
    dPhi_dq_i=A(:,vind);
    dPhi_dq_d=A(:,vdep);
    W_estimation((i-1)*6+1:i*6,:)=W_i+(-dPhi_dq_i'*inv(dPhi_dq_d))*W_d;
end
W=W_estimation;
phi=pnum;
% clear pnum;
% calculate tau in terms of W and phi
tau=W*phi;

```

```

%%%%%%%%%%%%%%%%%%%%%%%%%%%%%%%%%%%%%%%%%%%%%%%%%%%%%%%%%%%%%%%%%%%%%%%%L1 iterativo%%%%%%%%%%%%%%%%%%%%%%%%%%%%%%%%%%%%%%%%%%%%%%%%%%%%%%%%%%%%%%%%%%%%%%%%
%   load vindex;
%   V_N=fliplr(vindex);
%%%%%%%%%%%%%%%%%%%%%%%%%%%%%%%%%%%%%%%%%%%%%%%%%%%%%%%%%%%%%%%%%%%%%%%%FS iterativo%%%%%%%%%%%%%%%%%%%%%%%%%%%%%%%%%%%%%%%%%%%%%%%%%%%%%%%%%%%%%%%%%%%%%%%%
load v_i;
v_i=v_i';
V_N =fliplr(v_i);
%%%%%%%%%%%%%%%%%%%%%%%%%%%%%%%%%%%%%%%%%%%%%%%%%%%%%%%%%%%%%%%%%%%%%%%%      FS      %%%%%%%%%%%%%%%%%%%%%%%%%%%%%%%%%%%%%%%%%%%%%%%%%%%%%%%%%%%%%%%%%%%%%%%%%
% load sort_index_vector_add.mat
%   V_N =fliplr(sort_index_vector_add);
%
%%%%%%%%%%%%%%%%%%%%%%%%%%%%%%%%%%%%%%%%%%%%%%%%%%%%%%%%%%%%%%%%%%%%%%%%      BE      %%%%%%%%%%%%%%%%%%%%%%%%%%%%%%%%%%%%%%%%%%%%%%%%%%%%%%%%%%%%%%%%%%%%%%%%%
% load sort_index_vector_elim.mat
%   V_N =fliplr(sort_index_vector_elim);
%%%%%%%%%%%%%%%%%%%%%%%%%%%%%%%%%%%%%%%%%%%%%%%%%%%%%%%%%%%%%%%%%%%%%%%%      QR      %%%%%%%%%%%%%%%%%%%%%%%%%%%%%%%%%%%%%%%%%%%%%%%%%%%%%%%%%%%%%%%%%%%%%%%%%
% load sort_index_vector_qr.mat
%   V_N =fliplr(sort_index_vector_qr);
% % %%%%%%%%%%%%%%%%%%%%%%%%%%%%%%%%%%%%%%%%%%%%%%%%%%%%%%%%%%%%%%%%%%%%%%%%%      L1      %%%%%%%%%%%%%%%%%%%%%%%%%%%%%%%%%%%%%%%%%%%%%%%%%%%%%%%%%%%%%%%%%%%%%%%%%
% load vindexL1;
% V_N=fliplr(vindexL1);
% % % % %
if length(V_N(1,:))>1
    V_N=V_N;
else
    V_N=V_N';
end
% Total number of parameters of the full model
nparam=length(phi);
% The first reduced W is the full W
Wred=W;
% The vector of the parameters of the reduced model
indexvector=1:nparam;
sort_index_vector=zeros(1,nparam);
% The first reduced phi is the full phi
phi_f=phi;
index=0;
for j=1:nparam-1
%   v is the vector of the column indices without the j
    if index==0
        v=indexvector;
    else
%       posv=find(v(1,:)==(index));
%       posv=find(v(:,1)==(index));
        v(:,posv)=[];
%       v(posv,:)=[]
%       v(:,index)=[];
    end
    Wp_i=Wred(:,v);
    phi_norm_i=pinv(Wp_i)*tau;
    tau_i=Wp_i*phi_norm_i;
        error_i=norm(tau-tau_i)/norm(tau);
    index=V_N(:,j);
%       index=V_N(j,:);
    verror(nparam-j+1)=error_i;

```

```

end
verror(1)=1;
verror(nparam+1)=verror(nparam);
esterror_elim=verror;
clear indexvector;
save verror verror;
paraml1=(0:nparam);
save paraml1 paraml1;
figure(4), semilogy(0:nparam,esterror_elim,'B')
hold on
% clear verror
% open GPPHI.fig
fprintf('-----\n');
fprintf('----- Parameter order for ELIMINATION algorithm. -----\n');
fprintf('-----\n');
load psym;
pind_elim_sym =psym(V_N);
disp('Code for pind_elim_sym')
fileID = fopen('Parametros.txt','w');%%L1 iter
for i=length(pind_elim_sym):-1:1
    fprintf(fileID,'%s\n',char(pind_elim_sym(i)));
end
fclose(fileID);

fprintf('\n\n')

for i=length(pind_elim_sym):-1:1
    fprintf('%d,',V_N(i));
end

fprintf('\n\n')

```